

สำนักหอสมุดกลาง พระจอมเกล้าลาดกระบัง

วงจรเลื่อนเฟสโดยใช้กระแสชนิดความถี่ผ่านตลอดและวงจรกำเนิดสัญญาณรูปซายน์
CURRENT MODE ALL-PASS VARIABLE PHASE SHIFTER AND OSCILLATOR



วิทยานิพนธ์นี้เป็นส่วนหนึ่งของการศึกษาตามหลักสูตรปริญญาวิศวกรรมศาสตรมหาบัณฑิต
สาขาวิชาวิศวกรรมไฟฟ้า
บัณฑิตวิทยาลัย

สถาบันเทคโนโลยีพระจอมเกล้าเจ้าคุณทหารลาดกระบัง

พ.ศ. 2540

ISBN 974-621-890-5

เลขหมู่.....
เลขทะเบียน..... 28915
วัน, เดือน, ปี..... 11 พ.ย. 2540

เอกสารนี้เป็นลิขสิทธิ์ของบัณฑิตวิทยาลัย สถาบันเทคโนโลยีพระจอมเกล้าเจ้าคุณทหารลาดกระบัง

ไม่ว่ากรณีใดๆทั้งสิ้น อีกทั้งห้ามมิให้ตัดแปลงเนื้อหา และต้องอ้างอิงถึงเจ้าของเอกสารทุกครั้งที่มีการนำไปใช้

CURRENT MODE ALL-PASS VARIABLE PHASE SHIFTER AND OSCILLATOR



**A THESIS SUBMITTED IN PARTIAL FULFILLMENT
OF THE REQUIREMENTS FOR THE DEGREE
MASTER OF ENGINEERING (ELECTRICAL ENGINEERING)
SCHOOL OF GRADUATE STUDIES
KING MONGKUT'S INSTITUTE OF TECHNOLOGY LADKRABANG**

1997

หัวข้อวิทยานิพนธ์	วงจรเล็อนเฟสโดยใช้กระแสชนิดความถี่ผ่านตลอดและวงจร กำเนิดสัญญาณรูปซายน์
นักศึกษา	นายศิริวัฒน์ ลิ้มไพบูลย์
อาจารย์ผู้ควบคุมวิทยานิพนธ์	รศ.ดร.กอบชัย เดชหาญ
ระดับการศึกษา	วิศวกรรมศาสตรมหาบัณฑิต สาขาวิชาวิศวกรรมไฟฟ้า สถาบันเทคโนโลยีพระจอมเกล้าเจ้าคุณทหารลาดกระบัง
ภาควิชา	วิศวกรรมโทรคมนาคม คณะวิศวกรรมศาสตร์ สถาบันเทคโนโลยีพระจอมเกล้าเจ้าคุณทหารลาดกระบัง
พ.ศ.	2540

บทคัดย่อ

วิทยานิพนธ์ฉบับนี้ เสนอวิธีการออกแบบวงจรเล็อนเฟสของสัญญาณโดยใช้ลักษณะของกระแส ซึ่งจะอาศัยโอทีเอเป็นส่วนประกอบหลักของวงจร ตัวต้านทาน (R) ตัวเก็บประจุ (C) จะเป็นตัวกำหนดมุมของการเล็อนเฟส และวงจรมีสามารถเล็อนเฟสได้จาก 0° ถึง -180° และ 180° ถึง 0° อินพุทและเอาต์พุทอิมพีแดนซ์ของวงจรมีค่าสูง รวมทั้งอัตราขยายของวงจรมีค่าเป็นหนึ่งตลอดย่านความถี่อีกด้วย และอีกส่วนหนึ่งของวิทยานิพนธ์จะเป็นการเสนองจรกำเนิดสัญญาณรูปซายน์ในลักษณะของกระแส โดยวงจรจะอาศัยวงจระสะท้อนกระแสแบบทรานซิสเตอร์ 3 ตัว และวงจระสะท้อนกระแสความแตกต่างสองสัญญาณเข้าเป็นอุปกรณ์หลักของวงจรในส่วนวงเน็ทเวิร์ค ซึ่งประกอบด้วยตัวต้านทาน (R) และตัวเก็บประจุ (C) เป็นตัวกำหนดความถี่ในการกำเนิดสัญญาณรูปซายน์ ซึ่งสามารถให้กำเนิดสัญญาณได้สูงกว่าแบบเก่า

Thesis Title A Current Mode All-Pass Variable Phase Shifter and Oscillator
Student Mr. Siriwat Limpaiboon
Thesis Advisor Assoc.Prof.Dr. Kobchai Dejhan
Level of Study Master of Engineering (Electrical Engineering)
Department Telecommunications Faculty Of Engineering'
King Mongkut's Institute of Technology Ladkrabang
Year 1997

ABSTRACT

This thesis proposes a design of current mode variable phase-shifter that using OTA for main components in the circuit, resistor (R) capacitor (C) are the parameters for definition of phase-shifter angle. The circuit can be shifted the phase form 0° to -180° and 180° to 0° . The input impedance and output impedance of the circuit are high values and the amplifier of circuit is unity through out the frequency range. The other part of thesis is the current mode oscillator circuit the Wilson current mirror circuit, differential current mirror circuit for main component in the circuit and in the part of network are resistors (R) and capacitors (C). They are the parameters to carry out the oscillating frequency. The proposed circuit produces the frequency higher than the old type circuit.

กิตติกรรมประกาศ

ในการทำวิทยานิพนธ์ฉบับนี้ได้มีอุปสรรคต่างๆเกิดขึ้นมากบ้างน้อยบ้าง ซึ่งอุปสรรคเหล่านั้นก็สามารถถูกแก้ไขให้สำเร็จลุล่วงไปได้ด้วยดีด้วยกำลังใจ และคำแนะนำที่ดี ซึ่งวิทยานิพนธ์ฉบับนี้จะไม่สามารสำเร็จลุล่วงไปได้เลยถ้าไม่มีบุคคลต่อไปนี้

ขอขอบคุณ คุณพ่อและคุณแม่ที่ให้โอกาสและสนับสนุนทุกอย่างในการเรียน

ขอขอบคุณท่านอาจารย์ รศ. ดร. กอบชัย เดชหาญ ที่ช่วยให้คำแนะนำให้ข้อมูลและช่วยเหลือทุกอย่างในการทำวิทยานิพนธ์

ขอขอบคุณท่านอาจารย์ทุกๆท่าน ที่ได้ประสิทธิ์ประสาทวิชาทั้งหมดให้แก่ผู้เขียน

ขอขอบคุณ คุณบุษณีย์ ลิ้มไพบูลย์ ที่ได้ให้กำลังใจในยามเกิดอุปสรรคต่างๆ และช่วยเหลือในการจัดพิมพ์วิทยานิพนธ์ ตลอดจนเพื่อนๆร่วมรุ่นที่ได้ช่วยเหลือผู้เขียนอย่างใกล้ชิดตลอดมา คุณค่าและประโยชน์อันพึงมีจากวิทยานิพนธ์ฉบับนี้ ผู้เขียนขอบแต่ผู้มีพระคุณทุกท่าน

ศิริวัฒน์ ลิ้มไพบูลย์

สารบัญ

	หน้า
บทคัดย่อภาษาไทย.....	I
บทคัดย่อภาษาอังกฤษ.....	II
กิตติกรรมประกาศ.....	III
สารบัญ.....	IV
สารบัญภาพ.....	VII
บทที่	
1. บทนำ.....	1
ความมุ่งหมายและวัตถุประสงค์ในการทำวิทยานิพนธ์.....	1
แนวความคิดใหม่ในการทำวิทยานิพนธ์.....	2
รายละเอียดในวิทยานิพนธ์.....	2
2. คุณสมบัติและบทวิเคราะห์วงจรแบบเก่า	
บทนำ.....	4
บทวิเคราะห์วงจรความถี่ผ่านตลอด.....	4
การวิเคราะห์วงจรความถี่ผ่านตลอดที่เลื่อนเฟสจาก 0° ถึง -180°	6
ผลการเปรียบเทียบคุณสมบัติจากวิธีวิเคราะห์ โหนดถึงวิธีสร้างเลียนแบบ (Simulation) ด้วย PSpice	7
การวิเคราะห์วงจรความถี่ผ่านตลอดที่เลื่อนเฟสจาก 180° ถึง 0°	9
ผลการเปรียบเทียบคุณสมบัติจากวิธีวิเคราะห์ โหนดกับวิธีสร้างเลียนแบบ (Simulation) ด้วย Pspice.....	10
บทวิเคราะห์วงจรกำเนิดสัญญาณรูปซายน์ด้วยวิธีการเลื่อนเฟส.....	11
บทวิเคราะห์เน็ตเวิร์ค $[B(S)]$	13
ผลการเปรียบเทียบคุณสมบัติจากวิธีวิเคราะห์ โหนดกับวิธีสร้างเลียนแบบ (Simulation) ด้วย Pspice.....	14
บทสรุป.....	15

เอกสารนี้เป็นเอกสารที่สงวนไว้สำหรับการใช้งานเพื่อการศึกษาเท่านั้น ไม่อนุญาตให้นำไปใช้ประโยชน์ด้านการค้า
ไม่ว่ากรณีใดๆทั้งสิ้น อีกทั้งห้ามมิให้ดัดแปลงเนื้อหา และต้องอ้างอิงถึงเจ้าของเอกสารทุกครั้งที่มีการนำไปใช้

สารบัญ (ต่อ)

บทที่	หน้า
3. คุณสมบัติของวงจรสะท้อนกระแส	
บทนำ.....	16
วงจรสะท้อนกระแสแบบทรานซิสเตอร์ 3 ตัว หรือแบบ Wilson.....	16
คุณสมบัติทางกระแสไฟตรง.....	17
คุณสมบัติทางกระแสไฟสลับ.....	17
วงจรสะท้อนกระแสแบบทรานซิสเตอร์ 4 ตัว.....	18
คุณสมบัติทางกระแสไฟตรง.....	19
คุณสมบัติทางกระแสไฟสลับ.....	19
วงจรสะท้อนกระแสความแตกต่างสองสัญญาณเข้าแบบทรานซิสเตอร์ 4 ตัว (Differential Current Mirror).....	21
คุณสมบัติทางกระแสไฟตรง.....	21
คุณสมบัติทางกระแสไฟสลับ.....	22
บทสรุป.....	24
4. วงจรเลื่อนเฟสโดยใช้กระแสชนิดความถี่ผ่านตลอด	
บทนำ.....	25
บทวิเคราะห์วงจรเลื่อนเฟสโดยใช้กระแสชนิดความถี่ผ่านตลอด.....	25
การทดลองและผลการทดลอง.....	31
บทสรุป.....	33
5. วงจรกำเนิดสัญญาณรูปซายน์แบบใหม่	
บทนำ.....	34
บทวิเคราะห์วงจรเน็ทเวิร์ค.....	34
บทวิเคราะห์วงจรกำเนิดสัญญาณรูปซายน์.....	41
การทำงานของวงจรและผลการทดลอง.....	43
บทสรุป.....	46

สารบัญ (ต่อ)

บทที่	หน้า
6. สรุปผลการวิจัยและข้อเสนอแนะ	
บทสรุปผลการวิจัย.....	46
ปัญหาที่เกิดขึ้นและข้อเสนอแนะ.....	47
บรรณานุกรม.....	48
ภาคผนวก.....	50
ภาคผนวก ก.....	51
ภาคผนวก ข.....	55
ภาคผนวก ค.....	61
ภาคผนวก ง.....	67
ภาคผนวก จ.....	70
ภาคผนวก ฉ.....	75
ประวัติผู้เขียน.....	76

สารบัญญภาพ

หน้า

1. แสดงวงจรถ่อนเฟสจาก 0° ถึง -180°	5
2. แสดงวงจรถ่อนเฟสจาก 180° ถึง 0°	5
3. แสดงวงจรถ่อนเฟสที่แยกออกมาพิจารณา.....	6
4. แสดงขนาดของอัตราขยายแรงดัน.....	8
5. แสดงเฟสของสัญญาณด้านขาออกของวงจรถ่อนเฟส.....	8
6. แสดงวงจรถ่อนเฟสที่แยกออกมาพิจารณา.....	9
7. แสดงขนาดของอัตราขยายแรงดัน.....	10
8. แสดงเฟสของสัญญาณด้านขาออกของวงจรถ่อนเฟส.....	11
9. แสดงวงจรถ่อนเฟสกำเนิดสัญญาณรูปซายน์.....	12
10. แสดงบล็อกไดอะแกรมของรูปของวงจรถ่อนเฟสกำเนิดสัญญาณ.....	12
11. แสดงความแตกต่างของเฟสของสัญญาณด้านขาเข้าและขาออกของ [B(S)].....	14
12. แสดงผลการกำเนิดความถี่เทียบกับผลของทฤษฎี.....	15
13. แสดงวงจรถ่อนเฟสแบบทรานซิสเตอร์ 3 ตัว.....	16
14. แสดงวงจรถ่อนเฟสเหมือนของวงจรถ่อนเฟสแบบ Wilson.....	17
15. แสดงวงจรถ่อนเฟสแบบทรานซิสเตอร์ 4 ตัว.....	18
16. แสดงวงจรถ่อนเฟสเหมือนของวงจรถ่อนเฟสแบบทรานซิสเตอร์ 4 ตัว.....	19
17. แสดงวงจรถ่อนเฟสที่แตกต่างสองสัญญาณเข้าแบบทรานซิสเตอร์ 4 ตัว.....	21
18. แสดงวงจรถ่อนเฟสเหมือนของวงจรถ่อนเฟสที่แตกต่างสองสัญญาณเข้าแบบ ทรานซิสเตอร์ 4 ตัว.....	22
19. แสดงวงจรถ่อนเฟสโดยใช้กระแสชนิดความถี่ผ่านตลอดจาก 0° ถึง -180°	25
20. แสดงวงจรถ่อนเฟสโดยใช้กระแสชนิดความถี่ผ่านตลอดจาก 180° ถึง 0°	29
21. แสดงผลการทดลองของวงจรถ่อนเฟสจาก จาก 0° ถึง -180°	32
22. แสดงผลการทดลองของวงจรถ่อนเฟสจาก 180° ถึง 0°	32
23. แสดงผลการเปลี่ยนแปลงขนาดของสัญญาณทางด้านเอาต์พุตต่อด้านอินพุต.....	33
24. แสดงวงจรถ่อนเฟสที่เพอร์เฟ็ค [B(S)].....	34

สารบัญภาพ (ต่อ)

หน้า

25. แสดงอัตราส่วนของกระแส $\frac{i_y}{i_x}$	40
26. แสดงความแตกต่างของสัญญาณด้านขาเข้าและขาออก ณ $f = \frac{1}{2\pi\sqrt{6}RC}$	40
27. แสดงวงจรกำเนิดสัญญาณรูปซายน์แบบใหม่.....	41
28. แสดงผลการทดลอง.....	43
29. แสดงปรากฏการณ์ Overdamp Oscillation ของวงจรกำเนิดสัญญาณ.....	44
30. แสดงปรากฏการณ์ Underdamp Oscillation ของวงจรกำเนิดสัญญาณ.....	45
31. แสดงเน็ทเวิร์คของวงจรกำเนิดสัญญาณรูปซายน์ด้วยวิธีเลื่อนเฟสในลักษณะของแรงดัน.....	51
32. แสดงเน็ทเวิร์คของวงจรกำเนิดสัญญาณรูปซายน์ด้วยวิธีเลื่อนเฟสในลักษณะของกระแส.....	70

บทที่ 1

บทนำ

ความเป็นมา

ในปัจจุบันเทคโนโลยีทางด้านอิเล็กทรอนิกส์และโทรคมนาคม ได้วิวัฒนาการไปอย่างรวดเร็วมาก ทำให้เทคโนโลยีที่จำเป็นคือ เทคโนโลยีการออกแบบวงจรอิเล็กทรอนิกส์ พัฒนาตามไปอย่างรวดเร็วทั้งในระบบดิจิทัล (Digital) และเชิงอนาล็อก (Analog) สำหรับในวิทยานิพนธ์เล่มนี้จะกล่าวถึงส่วนที่เป็นอนาล็อกเท่านั้น โดยวงจรจะทำงานในลักษณะของกระแส ซึ่งในวงจรรอนาล็อกจะประกอบด้วยอุปกรณ์ที่เป็นแอกทิฟและพาสซีฟ และอีกส่วนหนึ่งของวิทยานิพนธ์ได้นำเอาวงจรรวม (IC : Integrated Circuit) ที่เรียกว่า Operational Transconductance Amplifier หรือเรียกสั้นๆว่า OTA มาใช้งาน

ความมุ่งหมายและวัตถุประสงค์ในการทำวิทยานิพนธ์

ในการทำวิทยานิพนธ์เรื่องวงจรเลื่อนเฟสโดยใช้กระแสชนิดความถี่ผ่านตลอดและวงจรกำเนิดสัญญาณรูปซายน์นั้นจะมีเนื้อหาหลักๆ รวมทั้งสิ้นสองเรื่องดังนี้ เรื่องแรกคือ วงจรเลื่อนเฟสโดยใช้กระแสชนิดความถี่ผ่านตลอด เรื่องที่สองคือวงจรกำเนิดสัญญาณรูปซายน์ ซึ่งออกแบบวงจรโดยใช้โอทีเอเป็นวงจรรวม และไบโพล่าทรานซิสเตอร์ ตามลำดับ

จุดประสงค์ของการทำวิทยานิพนธ์ได้กำหนดไว้ดังนี้

1. เพื่อศึกษาค้นคว้าวิจัยออกแบบวงจรเลื่อนเฟสโดยใช้กระแสชนิดความถี่ผ่านตลอด โดยใช้โอทีเอเป็นส่วนประกอบหลักของวงจร และวงจรกำเนิดสัญญาณรูปซายน์ โดยใช้ไบโพล่าทรานซิสเตอร์ต่อเป็นวงจรสะท้อนกระแสเป็นส่วนประกอบหลักของวงจร

เอกสารนี้เป็นเอกสารที่สงวนไว้สำหรับการใช้งานเพื่อการศึกษาเท่านั้น ไม่อนุญาตให้นำไปใช้ประโยชน์ด้านการค้า ไม่ว่าจะกรณีใดๆทั้งสิ้น อีกทั้งห้ามมิให้ตัดแปลงเนื้อหา และต้องอ้างอิงถึงเจ้าของเอกสารทุกครั้งที่มีการนำไปใช้

2. สามารถนำวงจรดังกล่าวมาประยุกต์ใช้งานได้
3. ใช้อุปกรณ์ให้น้อยที่สุด เพื่อที่จะทำให้วงจรมีขนาดเล็ก
4. สามารถนำไปทำเป็นวงจรรวมได้

แนวคิดใหม่ในวิทยานิพนธ์

ในแต่ละเรื่องของวิทยานิพนธ์จะมีหลักการซึ่งแตกต่างไปจากงานวิจัยก่อนๆ ที่เคยนำเสนอไว้ในอดีต โดยสามารถแยกเป็นเรื่องๆ ได้คือ

วงจรเลื่อนเฟสโดยใช้กระแสชนิดความถี่ผ่านตลอด ซึ่งวงจรจะทำงานในลักษณะของกระแสโดยอาศัยโอทีเอเป็นอุปกรณ์หลักของวงจร ตัวต้านทาน และตัวเก็บประจุ เป็นส่วนประกอบของวงจรที่ใช้กำหนดเฟสของสัญญาณที่ถูกเลื่อน

วงจรกำเนิดสัญญาณชาयน์ จะทำงานในลักษณะของกระแส โดยใช้วงจรสะท้อนกระแสเป็นส่วนประกอบหลักของวงจร ใช้ตัวต้านทานและตัวเก็บประจุเป็นตัวกำหนดความถี่ในการกำเนิดสัญญาณและใช้เป็นส่วนเลื่อนเฟสของสัญญาณด้วย

รายละเอียดในวิทยานิพนธ์

ในวิทยานิพนธ์ได้แบ่งเนื้อหาออกเป็นบทได้ทั้งหมด 6 บท ดังนี้

บทที่ 1 จะเป็นการกล่าวนำวัตถุประสงค์ หลักการใหม่ในวิทยานิพนธ์ และเนื้อหาโดยย่อของแต่ละบท

บทที่ 2 กล่าวถึงทฤษฎี คุณสมบัติและบทวิเคราะห์ห้วงจรแบบเก่า ของวงจรความถี่ผ่านตลอดและวงจรกำเนิดสัญญาณรูปชาयน์ รวมทั้งกล่าวถึงข้อดีข้อเสียของวงจร และข้อจำกัดของส่วนความถี่ขยายกำลังของออปแอมป์ซึ่งเป็นอุปกรณ์หลักที่สำคัญในวงจร

- บทที่ 3 กล่าวถึงทฤษฎีและคุณสมบัติต่างๆ ของวงจรสะท้อนกระแส ซึ่งจะมีทั้งแบบใช้ทรานซิสเตอร์ 3 ตัว ทรานซิสเตอร์ 4 ตัว และวงจรสะท้อนกระแสความแตกต่างสองสัญญาณ
- บทที่ 4 กล่าวถึงวงจรเลื่อนเฟสโดยใช้กระแสชนิดความถี่ผ่านตลอด การวิเคราะห์วงจรแสดงถึงหลักการใหม่ที่แตกต่างจากของเก่า ยืนยันผลในทางทฤษฎีด้วย การใช้โปรแกรมเลียนแบบการทำงาน PSpice ในเครื่องไมโครคอมพิวเตอร์
- บทที่ 5 กล่าวถึงวงจรออสซิลเลเตอร์แบบใหม่ การวิเคราะห์วงจรทางส่วนเน็ตเวิร์ค และส่วนของแอกทีฟซึ่งเป็นวงจรสะท้อนกระแส ยืนยันผลในทางทฤษฎีด้วย การใช้โปรแกรมเลียนแบบการทำงาน PSpice ในเครื่องไมโครคอมพิวเตอร์
- บทที่ 6 เป็นการสรุปรายละเอียดที่สำคัญต่างๆ ของวิทยานิพนธ์ทั้งหมด ปัญหาที่เกิดขึ้นและแนวทางแก้ไข
- ภาคผนวก กล่าวถึงที่มาของสมการต่างๆ บทวิเคราะห์วงจรเน็ตเวิร์ค โดยละเอียด และผลงานวิจัยที่ได้รับการตีพิมพ์ในวารสารวิชาการ

บทที่ 2

คุณสมบัติและบทวิเคราะห์วงจรแบบเก๋า

บทนำ

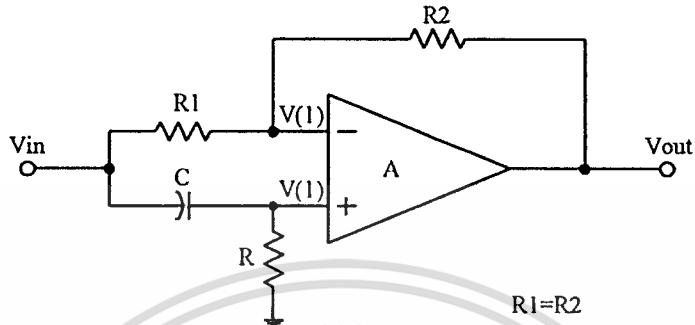
วงจรความถี่ผ่านตลอดที่มีการนำเสนอนั้น ได้มีการนำเอาโอเพอร์เรชันแนลแอมพลิไฟเออร์ (OP-AMP) ประกอบกับตัวต้านทานและตัวเก็บประจุ มาทำเป็นวงจรดังกล่าว ต่อมาได้มีการนำเอาวงจรสะท้อนกระแสมาประกอบกับตัวต้านทานและตัวเก็บประจุมาใช้เป็นวงจรเลื่อนเฟส ซึ่งที่กล่าวมาแล้วมีข้อจำกัดทางด้านความถี่ ความสามารถเลื่อนเฟสมีจำกัด จาก $(0-\pi)$ ตามลำดับ

บทวิเคราะห์วงจรความถี่ผ่านตลอด

วงจรความถี่ผ่านตลอดที่จะนำมาวิเคราะห์นั้น จะทำการวิเคราะห์จากวงจรความถี่ผ่านตลอด ที่ใช้โอเพอร์เรชันแนลแอมพลิไฟเออร์ เนื่องจากวงจรความถี่ผ่านตลอดที่จะนำเสนอในวิทยานิพนธ์เล่มนี้ จะใช้โอเพอร์เรชันแนลทรานคอนดัคแตนซ์ แอมพลิไฟเออร์ เป็นอุปกรณ์หลัก

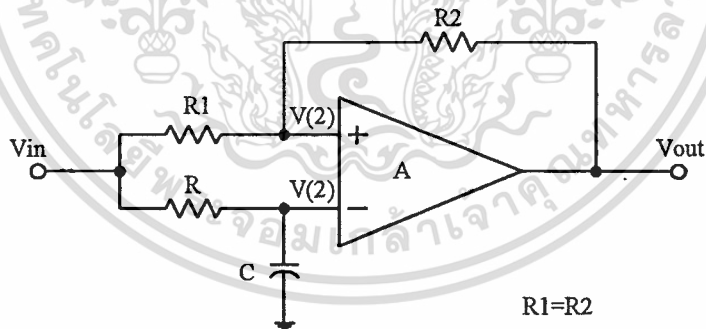
เนื่องจากวงจรความถี่ผ่านตลอดแบบเก๋านั้น จะทำงานในลักษณะแรงดัน ซึ่งมีข้อจำกัดทางด้านความถี่ขยายกำลัง

ภาพที่ 1



แสดงวงจรความถี่ผ่านตลอดที่เลื่อนเฟสจาก 0° ถึง -180°

ภาพที่ 2



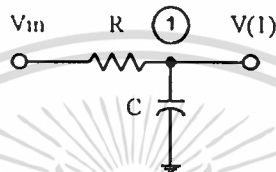
แสดงวงจรความถี่ผ่านตลอดที่เลื่อนเฟสจาก 180° ถึง 0°

จากวงจรภาพที่ 1 และ 2 ประกอบด้วยความต้านทาน R_1 , R_2 เป็นตัวกำหนดอัตราขยายของวงจรตัวต้านทาน R และตัวเก็บประจุ C จะเป็นตัวกำหนดเฟสที่ต้องการเลื่อน A คือ โอเพอเรชันแนลแอมพลิไฟเออร์ ซึ่งสามารถนำมาวิเคราะห์ได้ดังต่อไปนี้

การวิเคราะห์วงจรความถี่ผ่านตลอดที่เลื่อนเฟสจาก 0° ถึง -180°

จากภาพที่ 1 สามารถนำมาเขียนแยกเป็นส่วนเพื่อให้พิจารณาง่าย

ภาพที่ 3



แสดงวงจรที่แยกออกมาพิจารณา

ที่ node ① : ใช้ทฤษฎีของเคอร์ชอฟ

$$V_1 = \frac{I}{RCs + 1} V_{in} \quad (2.1)$$

และส่วนที่เหลือของวงจรสามารถหาสมการ ได้เป็น

$$\frac{V_{out} - V_{(1)}}{R_2} = \frac{V_{(1)} - V_{in}}{R_1} \quad (2.2)$$

กำหนดให้ $R_1 = R_2$ และนำสมการที่ (2.1) แทนค่าลงในสมการที่ (2.2) จะได้ว่า

$$\begin{aligned} \frac{(RCs + 1)V_{out} - V_{in}}{(RCs + 1)} &= \frac{V_{in} - (RCs + 1)V_{in}}{(RCs + 1)} \\ (1 + RCs)V_{out} &= (1 - RCs)V_{in} \end{aligned}$$

ทำการแก้สมการ จะสามารถหาฟังก์ชันถ่ายโอน (Transfer function) ได้เป็น

$$\frac{V_{out}}{V_{in}} = \frac{1 - RCs}{1 + RCs} \quad (2.3)$$

จากสมการที่ (2.3) กำหนดให้ $T = RC$, $S = j\omega$ จะสามารถหาสมการเฟส $|+|$ ได้เป็น

$$\theta = -2\tan^{-1}(\omega T) \quad (2.4)$$

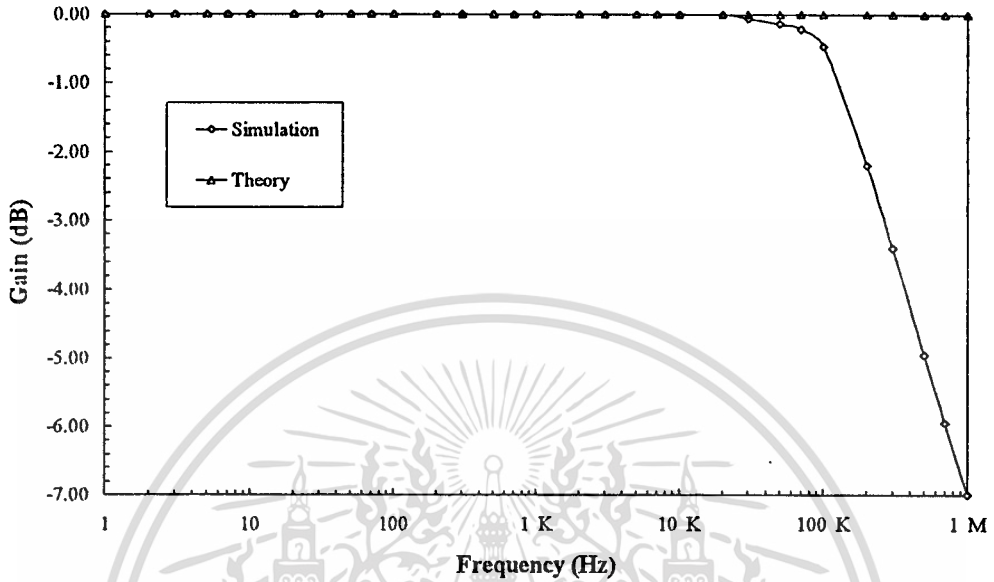
โดยที่ $\theta =$ เฟสที่เลื่อน เมื่อพิจารณาจากสมการที่ (2.4) จะพบว่าสามารถเลื่อนเฟสจาก 0° ถึง -180° และอัตราขยายของวงจรจะมีค่าเป็นหนึ่งตลอดย่านความถี่ ตามสมการที่ (2.3)

ผลการเปรียบเทียบคุณสมบัติจากวิธีวิเคราะห์โนดกับวิธีสร้างเลียนแบบ (Simulation)

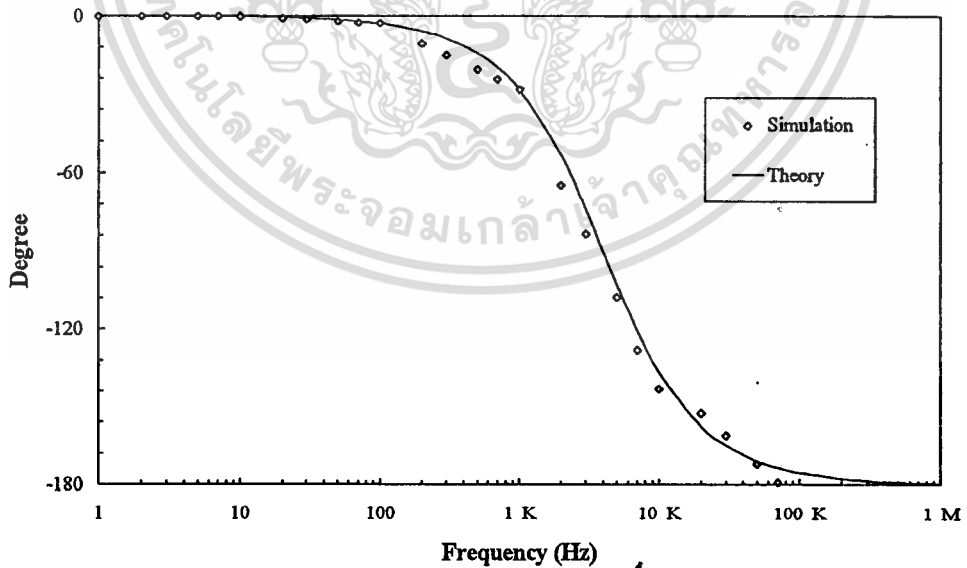
ด้วย PSpice

ใช้ PSpice [5] วิเคราะห์ผลการตอบสนองทางความถี่ของวงจรความถี่ผ่านตลอด โดยนำมาเขียนกราฟการตอบสนองทางความถี่ของอัตราขยายแรงดันจากสมการที่ (2.3) เปรียบเทียบกับผลของ PSpice ได้ดังภาพที่ 4ก ซึ่งจะพบว่ามี การลดทอนอัตราขยายของวงจรที่ความถี่สูง และเขียนกราฟแสดงการเลื่อนเฟสจากสมการที่ (2.4) เปรียบเทียบผลของ PSpice ได้ดังภาพที่ 4ข จะพบว่าการเลื่อนเฟสของวงจรที่ความถี่สูงจะมีค่าผิดพลาดค่อนข้างสูง

ภาพที่ 4ก



ภาพที่ 4ข



แสดงการเปรียบเทียบการตอบสนองทางความถี่ของอัตราขยายแรงดันของวงจรความถี่ผ่านตลอด จากผลที่ได้โดยวิธีวิเคราะห์โหนดกับผลของ PSpice

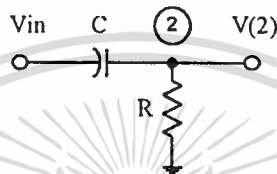
(ก) ขนาดของอัตราขยายแรงดัน

เอกสารนี้เป็นเอกสารที่สงวนไว้สำหรับ (ข) เฟสของสัญญาณค่านาออกของวงจร อนุญาตให้นำไปใช้ประโยชน์ด้านการค้า ไม่ว่ากรณีใดๆทั้งสิ้น อีกทั้งห้ามมิให้ตัดแปลงเนื้อหา และต้องอ้างอิงถึงเจ้าของเอกสารทุกครั้งที่มีการนำไปใช้

การวิเคราะห์ห้วงจรความถี่ผ่านตลอดที่เลื่อนเฟสจาก 180° ถึง 0°

จากภาพที่ 2 สามารถนำมาเขียนแยกส่วนเพื่อให้พิจารณาง่ายขึ้น

ภาพที่ 5



แสดงวงจรที่แยกออกมา

ที่ node ② : ใช้ทฤษฎีของเคอร์ชอฟ

$$V_{(2)} = \frac{RCs}{RCs + 1} V_{in} \quad (2.5)$$

และส่วนที่เหลือของสมการ สามารถหาสมการได้เป็น

$$\frac{V_{out} - V_{(2)}}{R_2} = \frac{V_{(2)} - V_{in}}{R_1} \quad (2.6)$$

กำหนดให้ $R_1 = R_2$ และนำสมการที่ (2.5) แทนค่าลงในสมการที่ (2.6) ได้เป็น

$$\begin{aligned} V_{out} - \left(\frac{RCs}{RCs + 1} \right) V_{in} &= \left(\frac{RCs}{RCs + 1} \right) V_{in} - V_{in} \\ (1 + RCs)V_{out} &= (RCs - 1)V_{in} \end{aligned}$$

ทำการแก้สมการ จะสามารถหาฟังก์ชันถ่ายโอนได้เป็น

$$\frac{V_{out}}{V_{in}} = \frac{RCs - 1}{RCs + 1} \quad (2.7)$$

เอกสารนี้เป็นเอกสารที่สงวนไว้สำหรับการใช้งานเพื่อการศึกษาเท่านั้น ไม่อนุญาตให้นำไปใช้ประโยชน์ด้านการค้า
ไม่ว่ากรณีใดๆทั้งสิ้น อีกทั้งห้ามมิให้ดัดแปลงเนื้อหา และต้องอ้างอิงถึงเจ้าของเอกสารทุกครั้งที่มีการนำไปใช้

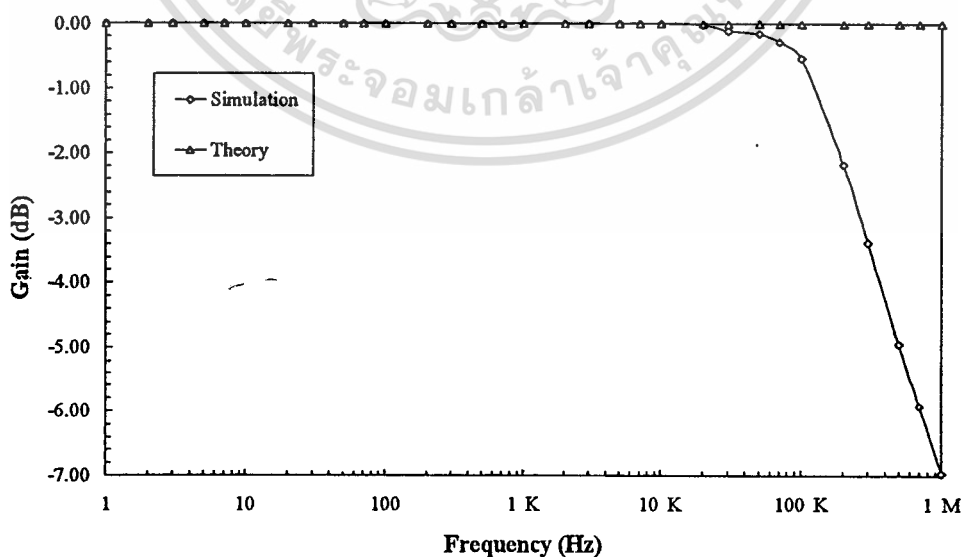
สมการที่ (2.6) กำหนดให้ $T=RC$, $S=j\omega$ จะสามารถหาสมการเลื่อนได้เป็น

$$\theta = \pi - 2 \tan^{-1}(\omega T) \quad (2.8)$$

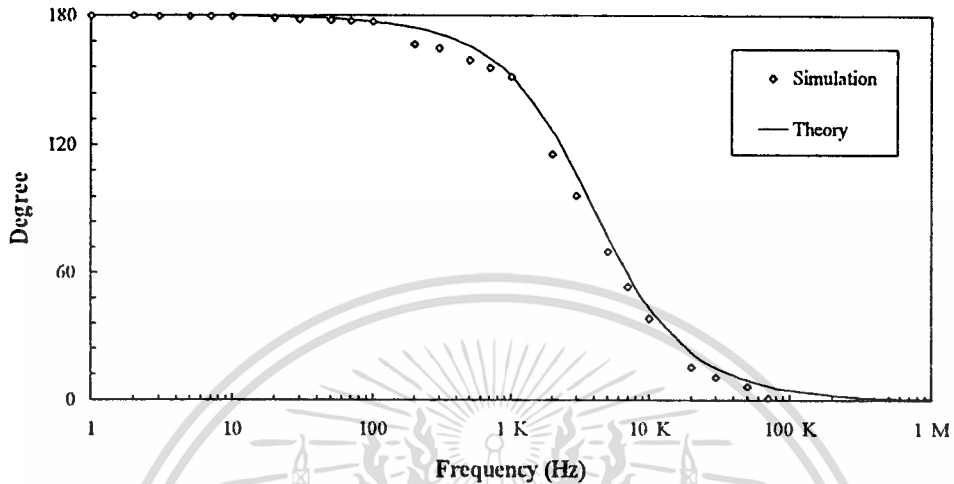
ผลการเปรียบเทียบคุณสมบัติจากวิธีวิเคราะห์โหนดกับวิธีสร้างเส้นแบบด้วย PSpice

จากภาพที่ 2 สามารถใช้โปรแกรม PSpice จำลองการทำงานของวงจรได้โดยจะวิเคราะห์ผลการตอบสนองทางความถี่ของวงจรความถี่ผ่านตลอดซึ่งสามารถนำมาเขียนกราฟการตอบสนองทางความถี่ของอัตราขยายแรงดันจากสมการที่ (2.7) เปรียบเทียบผลของ PSpice ได้ดังภาพที่ 6ก ซึ่งจะพบว่ามีการลดทอนอัตราขยายของวงจรที่ความถี่สูง และเขียนกราฟแสดงการเลื่อนเฟสจากสมการที่ (2.8) เปรียบเทียบผลของ PSpice ได้ดังภาพที่ 6ข จะพบว่า การเลื่อนเฟสของวงจรที่ความถี่สูงจะมีค่าผิดพลาดค่อนข้างสูง

ภาพที่ 6ก



ภาพที่ 6ข



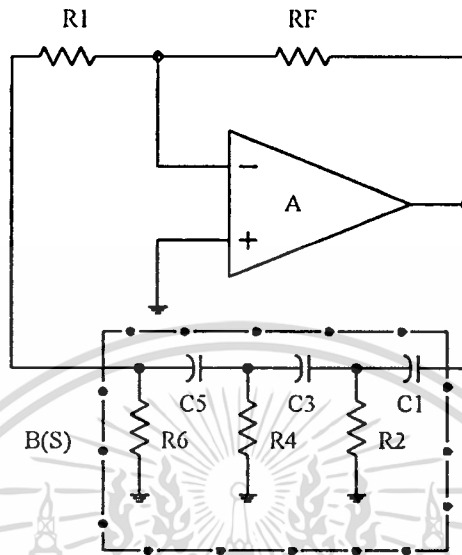
แสดงการเปรียบเทียบการตอบสนองทางความถี่ของอัตราขยายแรงดันของวงจรความถี่ผ่านตลอด จากผลที่ได้จากวิธีวิเคราะห์โหนดกับผลของ PSpice

- (ก) ขนาดของอัตราขยายแรงดัน
- (ข) เฟสของสัญญาณด้านขาออกของวงจร

บทวิเคราะห์วงจรกำเนิดสัญญาณรูปซายน์ด้วยวิธีการเลื่อนเฟส

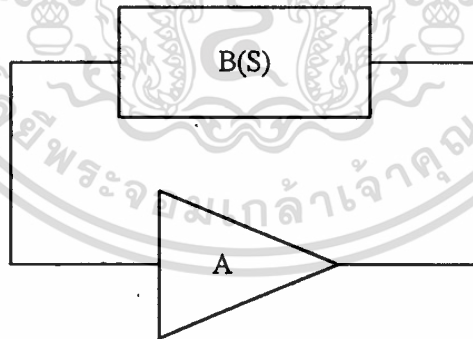
วงจรกำเนิดสัญญาณรูปซายน์ด้วยวิธีการเลื่อนเฟสจะประกอบด้วยเน็ตเวิร์คซึ่งมีตัวต้านทาน 3 ตัว ตัวเก็บประจุ 3 ตัว $[B(s)]$ อัตราขยายของวงจรจะประกอบด้วยออป-แอมป์ $[A]$ และตัวต้านทานอีก 2 ตัว ดังภาพที่ 7ก

ภาพที่ 7ก



แสดงวงจรกำเนิดสัญญาณรูปซายน์

ภาพที่ 7ข



แสดงบล็อกไดอะแกรมของลูปของวงจรกำเนิดสัญญาณ

จากภาพที่ 7ข วงจรสามารถจะกำเนิดสัญญาณรูปซายน์ออกมาได้ โดยลูปเกนการขยายรวมกันต้องมีค่าเป็นหนึ่ง ในส่วนของเน็ตเวิร์คของ $B(s)$ จะเลื่อนเฟสไป 180° และในส่วนวงจรขยายจะเลื่อนเฟสอีก 180° จะครบ 2π เรเดียน ทำให้วงจรเกิดการเค็มปิ้งของสัญญาณและเกิดเป็นสัญญาณรูปซายน์ในที่สุด

เอกสารนี้เป็นเอกสารที่สงวนไว้สำหรับการใช้งานเพื่อการศึกษาเท่านั้น ไม่อนุญาตให้นำไปใช้ประโยชน์ด้านการค้า ไม่ว่าจะกรณีใดๆทั้งสิ้น อีกทั้งห้ามมิให้ดัดแปลงเนื้อหา และต้องอ้างอิงถึงเจ้าของเอกสารทุกครั้งที่มีการนำไปใช้

บทวิเคราะห์เน็ทเวิร์ก $B(s)$

เน็ทเวิร์กที่เราจะพิจารณาคือ $B(s)$ ในภาพที่ 7ก ซึ่งประกอบด้วยตัวต้านทาน 3 ตัว และตัวเก็บประจุ 3 ตัว และจะสามารถหาฟังก์ชันถ่ายโอนได้ [ภาคผนวก ก]

$$B(s) = \frac{R^3 C^3 s^3}{(R^3 C^3 s^3 + 6 R^2 C^2 s^2 + 5 R C s + 1)} \quad (2.9)$$

จากภาพที่ 7ข จะเห็นได้ว่า [1]

$$AB(s) = 1 \quad (2.10)$$

นำเอาสมการที่ (2.9) แทนค่าไว้ในสมการที่ (2.10) เป็น

$$\frac{A R^3 C^3 s^3}{(R^3 C^3 s^3 + 6 R^2 C^2 s^2 + 5 R C s + 1)} = 1 \quad (2.11)$$

จากสมการที่ (2.11) สามารถหาค่าของความถี่ในการออสซิลเลตและเฟสในการออสซิลเลตได้เป็น [ภาคผนวก ก]

$$f = \frac{1}{2\pi\sqrt{6RC}} \quad (2.12)$$

$$A = -29 \quad (2.13)$$

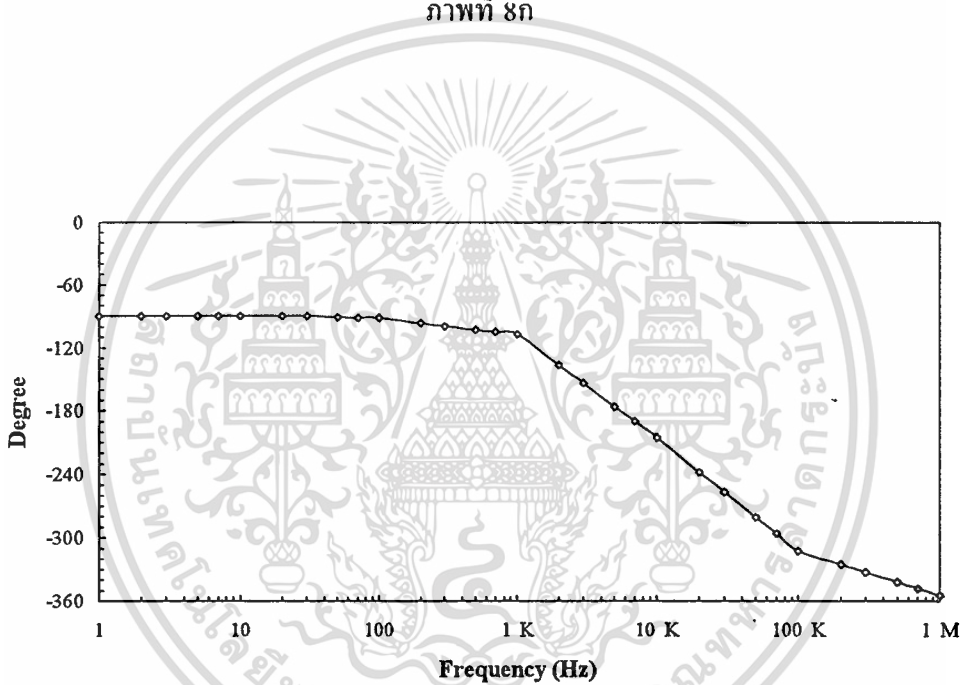
โดยที่ A คืออัตราขยายของวงจร

และ f คือค่าความถี่ในการออสซิลเลต

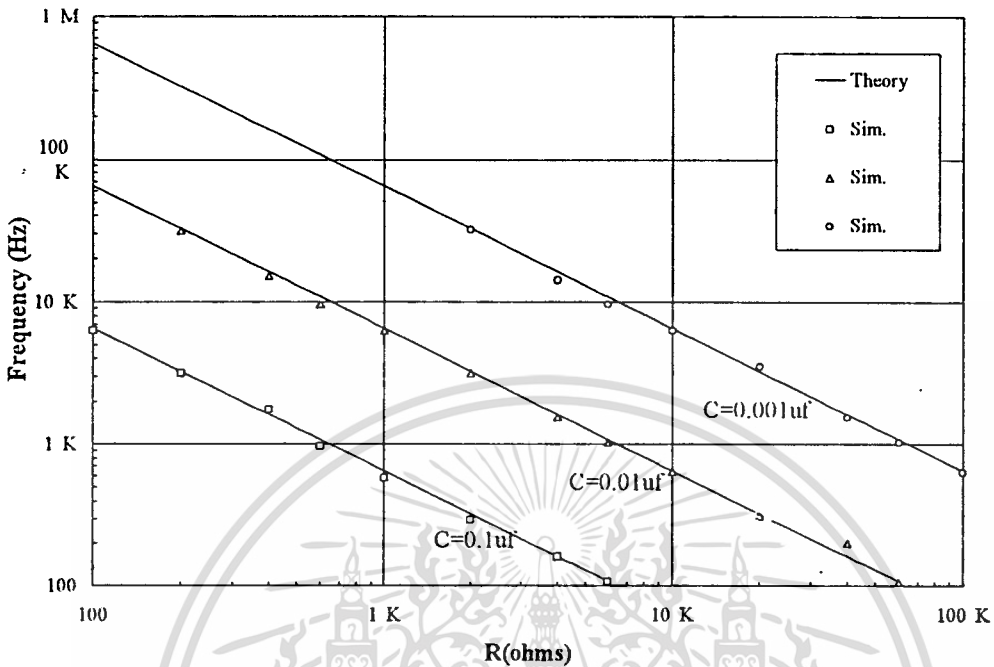
ผลการเปรียบเทียบคุณสมบัติจากวิธีการวิเคราะห์โหนดกับวิธีสร้างเส้นแบบด้วย PSpice

จากภาพที่ 7ก สามารถใช้โปรแกรม PSpice จำลองการทำงานของวงจรได้โดยจะวิเคราะห์คุณสมบัติการเลื่อนเฟสของเน็ตเวิร์กและผลการตอบสนองทางความถี่ของวงจรกำเนิดสัญญาณ ดังภาพที่ 8ก และ 8ข ซึ่งจะพบว่าวงจรจะไม่สามารถให้กำเนิดสัญญาณชาน์ได้ที่มีความถี่สูง

ภาพที่ 8ก



ภาพที่ 8ข



แสดงการเปรียบเทียบการตอบสนองทางความถี่ของวงจรกำเนิดสัญญาณ

- (ก) ความแตกต่างของเฟสของสัญญาณด้านขาเข้าและขาออกของ B(s)
- (ข) แสดงผลการกำเนิดความถี่เทียบกับผลของทฤษฎี

บทสรุป

จากสมการที่หาได้โดยวิธีวิเคราะห์ ใกล้เคียงกับผลที่ได้จากการสร้างเลียนแบบด้วยโปรแกรม PSpice สามารถสรุปคุณสมบัติของวงจรได้ว่า วงจรเลื่อนเฟส (ภาพที่ 1 และ 2) สามารถเลื่อนเฟสได้จาก 0° ถึง -180° และ 180° ถึง 0° ซึ่งจะพบว่าย่านของการทำงานทางด้านความถี่ของวงจรค่อนข้างแคบ และการทำงานที่ความถี่สูง จะพบว่า มีการลดทอนของอัตราขยายทางแรงดันเกิดการผิดพลาดมากของเฟสที่เลื่อน รวมทั้งค่าอิมพีแดนซ์ทางด้านเอาต์พุตของวงจรมีค่าค่อนข้างต่ำ เนื่องจากคุณสมบัติของออปแอมป์ ต่อมาเมื่อพิจารณาวงจรกำเนิดสัญญาณรูปซายน์ โดยที่เน็ทเวิร์ก B(s) จะทำหน้าที่เลื่อนเฟสไป π และวงจรขยาย จะทำหน้าที่เลื่อนเฟสไปอีก π ทำให้ลูปลเกนของวงจรมีค่าเป็นหนึ่งพอดีจึงเกิดการ ให้กำเนิดสัญญาณจะพบว่าวงจรกำเนิดสัญญาณได้ความถี่ไม่สูงนัก

ด้วยสาเหตุดังกล่าวข้างต้น จึงทำให้เกิดความคิดในการพัฒนางจรเลื่อนเฟส และวงจรกำเนิดสัญญาณซายน์ในบทต่อไป

บทที่ 3

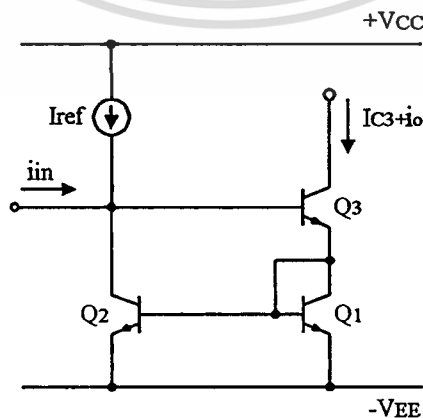
คุณสมบัติของวงจรสะท้อนกระแส

บทนำ

วงจรสะท้อนกระแสมีหลายแบบ แต่ในบทนี้จะกล่าวถึงเฉพาะวงจรสะท้อนกระแสที่ใช้ในวิทยานิพนธ์เล่มนี้เท่านั้น ประกอบด้วยวงจรสะท้อนกระแสแบบทรานซิสเตอร์ 3 ตัว หรือที่นิยมเรียกว่าแบบ Wilson (Wilson Current Mirror) วงจรสะท้อนกระแสแบบทรานซิสเตอร์ 4 ตัว วงจรสะท้อนกระแสความแตกต่างสองสัญญาณเข้า (Differential Current Mirror) คุณสมบัติของวงจรสะท้อนกระแสที่จะพิจารณาคือ อัตราขยายกระแส (Current Gain) โดยจะทำการพิจารณาเฉพาะวงจรสะท้อนกระแสที่มีอัตราขยายกระแสเป็นหนึ่งเท่านั้น

วงจรสะท้อนกระแสแบบทรานซิสเตอร์ 3 ตัว หรือแบบ Wilson

ภาพที่ 9



แสดงวงจรสะท้อนกระแสแบบทรานซิสเตอร์ 3 ตัว

เอกสารนี้เป็นเอกสารที่สงวนไว้สำหรับการใช้งานเพื่อการศึกษาเท่านั้น ไม่อนุญาตให้นำไปใช้ประโยชน์ด้านการค้า
ไม่ว่ากรณีใดๆทั้งสิ้น อีกทั้งห้ามมิให้ดัดแปลงเนื้อหา และต้องอ้างอิงถึงเจ้าของเอกสารทุกครั้งที่มีการนำไปใช้

คุณสมบัติทางกระแสไฟตรง

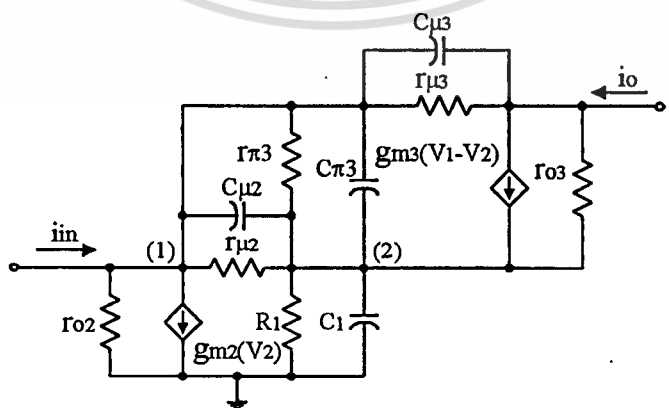
ทรานซิสเตอร์ Q_1 ถูกต่อในลักษณะของไดโอด โดยการต่อขาเบสกับขาคอลเลกเตอร์เข้าด้วยกันทำให้แรงดันตกคร่อมขาคอลเลกเตอร์กับเบส (V_{CB}) มีค่าเป็นศูนย์ ในลักษณะนี้ ทรานซิสเตอร์ Q_1 ยังอยู่ในช่วงการทำงานปกติ (Forward Active Region) ทั้งนี้เพราะแรงดันตกคร่อมขาคอลเลกเตอร์อีมีตเตอร์ (V_{CE}) มีค่าเพียง V_{BE} เดียว จากแรงดันตกคร่อมเบสอีมีตเตอร์ (V_{BE}) ก็เพียงพอที่จะทำให้ทรานซิสเตอร์ทำงานได้แล้ว เมื่อให้ทรานซิสเตอร์ Q_1, Q_2 และ Q_3 มีคุณสมบัติเหมือนกันทุกประการ ซึ่งสามารถเขียนเป็นสมการได้เป็น [ภาคผนวก ข]

$$I_{C3} = I_{ref} \left[1 - \frac{2}{\beta_F^2 + 2\beta_F + 2} \right] \tag{3.1}$$

คุณสมบัติทางกระแสไฟสลับ

เมื่อพิจารณาวงจรสะท้อนกระแสแบบทรานซิสเตอร์ 3 ตัว ในลักษณะของสัญญาณขนาดเล็ก (Small Signal) ซึ่งจากภาพที่ 9 สามารถเขียนเป็นลักษณะของสัญญาณขนาดเล็กได้ดังภาพที่ 10

ภาพที่ 10



แสดงวงจรเสมือนของวงจรสะท้อนกระแสแบบ Wilson

เอกสารนี้เป็นเอกสารที่สงวนไว้สำหรับการใช้งานเพื่อการศึกษาค้นคว้าเท่านั้น เมื่ออนุญาตให้นำไปใช้ประโยชน์ด้านการค้า ไม่ว่าจะกรณีใดๆทั้งสิ้น อีกทั้งห้ามมิให้ดัดแปลงเนื้อหา และต้องอ้างอิงถึงเจ้าของเอกสารทุกครั้งที่มีการนำไปใช้

จากภาพที่ 10 สามารถนำมาเขียนเป็นสมการอัตราขยายกระแสได้เป็น [ภาคผนวก ข]

$$A_i = \frac{I_o}{I_{in}} = \left\{ 1 + \frac{2}{g_m + \frac{2}{r_\pi}} (c_\pi - c_{\mu 3}) s - \frac{c_{\mu 3}}{g_m \left(g_m + \frac{2}{r_\pi} \right)} (3c_\pi + 2\mu_2) s^2 \right\} / \left\{ 1 + \frac{2}{g_m + \frac{2}{r_\pi}} (c_\pi c_{\mu 2} c_{\mu 3}) s + \frac{I}{g_m \left(g_m + \frac{2}{r_\pi} \right)} [c_\pi (2c_\pi + 2c_{\mu 2} + 3c_{\mu 3}) + c_{\mu 2} c_{\mu 3}] s^2 \right\} \quad (3.2)$$

โดยที่

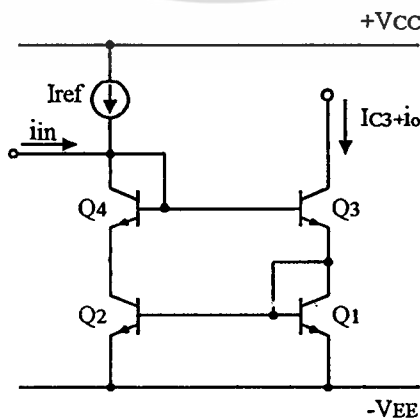
$$R_1 = r_{\pi 1} // \frac{1}{g_{m1}} // r_{o1} // r_{\pi 2}$$

$$C_1 = c_{\pi 1} + c_{\pi 2}$$

วงจรสะท้อนกระแสแบบทรานซิสเตอร์ 4 ตัว

จากภาพที่ 11 วงจรสะท้อนกระแสแบบทรานซิสเตอร์ 4 ตัว ได้ทำการปรับปรุงจากวงจรสะท้อนกระแสแบบ Wilson เพื่อช่วยลดผลของ base width modulation ที่มีผลต่อวงจรสะท้อนกระแสแบบทรานซิสเตอร์ 3 ตัว โดยการเพิ่ม Q₄ เข้าไปในวงจร

ภาพที่ 11



แสดงวงจรสะท้อนกระแสแบบทรานซิสเตอร์ 4 ตัว

เอกสารนี้เป็นเอกสารที่สงวนไว้สำหรับการใช้งานเพื่อการศึกษาเท่านั้น ไม่อนุญาตให้นำไปใช้ประโยชน์ด้านการค้า ไม่ว่าจะกรณีใดๆทั้งสิ้น อีกทั้งห้ามมิให้ดัดแปลงเนื้อหา และต้องอ้างอิงถึงเจ้าของเอกสารทุกครั้งที่มีการนำไปใช้

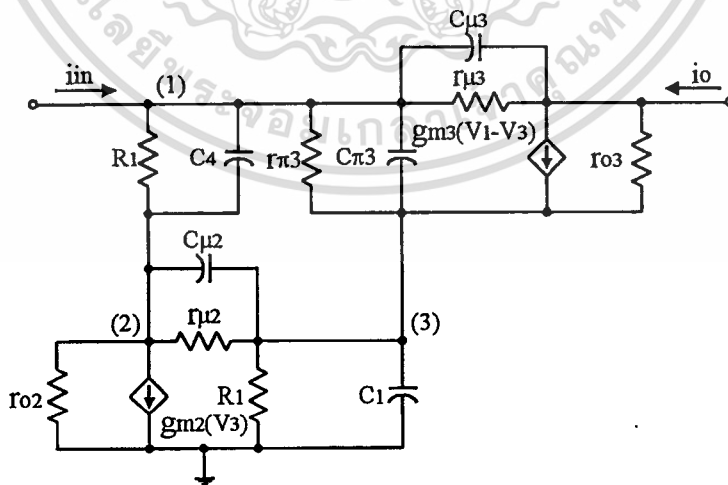
คุณสมบัติทางกระแสไฟตรง

วงจรสะท้อนกระแสแบบทรานซิสเตอร์ 4 ตัว สร้างได้โดยการเพิ่มทรานซิสเตอร์ Q_4 เข้าไประหว่างขาคอลเลกเตอร์ของทรานซิสเตอร์ Q_2 กับขาเบสของทรานซิสเตอร์ Q_3 ในวงจรสะท้อนกระแสแบบ Wilson ซึ่งยังผลให้แรงดันตกคร่อมขาคอลเลกเตอร์กับเบส (V_{CB}) ของทรานซิสเตอร์ Q_1 กับทรานซิสเตอร์ Q_2 มีค่าใกล้เคียงกันมากขึ้น และทรานซิสเตอร์ที่เพิ่มเข้ามายังไม่มีผลต่อสมการของกระแสตรงอีกด้วย ซึ่งจะได้สมการของการขยายกระแสเป็น [ภาคผนวก ค]

$$I_{c3} = I_{ref} \left[1 - \frac{2}{\beta_F^2 + 2\beta_F + 2} \right] \quad (3.3)$$

คุณสมบัติทางกระแสไฟสลับ

ภาพที่ 12



แสดงวงจรเสมือนของวงจรสะท้อนกระแสแบบทรานซิสเตอร์ 4 ตัว

อัตราขยายกระแสไฟสลับของวงจรสัญญาณขนาดเล็ก เป็นดังนี้ [ภาคผนวก ก]

$$A_i = \frac{i_o}{i_{in}} = \left\{ I + \frac{I}{g_m \left(g_m + \frac{3}{r_\pi} \right)} \left[c_\pi (2c_{\mu 2} + 2c_\pi - 5c_{\mu 3}) - 4c_{\mu 3} c_{\mu 2} \right] s^2 + \frac{I}{g_m 3r_\pi} \right. \\ \left. \left(2c_{\mu 2} - 2c_{\mu 3} + 3c_\pi \right) s + c_\pi \frac{c_{\mu 3}}{g_m^2 \left(g_m + \frac{3}{r_\pi} \right)} \left(4c_{\mu 2} + 3c_\pi \right) s^3 \right\} / \\ \left\{ I + \frac{I}{g_m \left(g_m + \frac{3}{r_\pi} \right)} \left[c_\pi (4c_\pi + 6c_{\mu 2} + 5c_{\mu 3}) s^2 + 4c_{\mu 3} c_{\mu 2} \right] + \frac{I}{\left(g_m + \frac{3}{r_\pi} \right)} (3c_\pi + \right. \\ \left. 2c_{\mu 3} + 2c_{\mu 2}) s + \frac{c_\pi}{g_m^2 \left(g_m + \frac{3}{r_\pi} \right)} \left[c_\pi (2c_\pi + 3c_{\mu 3} + 4c_{\mu 2}) + 4c_{\mu 3} c_{\mu 2} \right] s^3 \right\} \quad (3.4)$$

โดยที่

$$R_1 = r_{\pi 1} // \frac{1}{g_{m1}} // r_{o1} // r_{\pi 2}$$

$$C_1 = c_{\pi 1} + c_{\pi 2}$$

$$R_4 = r_{\pi 4} // \frac{1}{g_{m4}} // r_{o4}$$

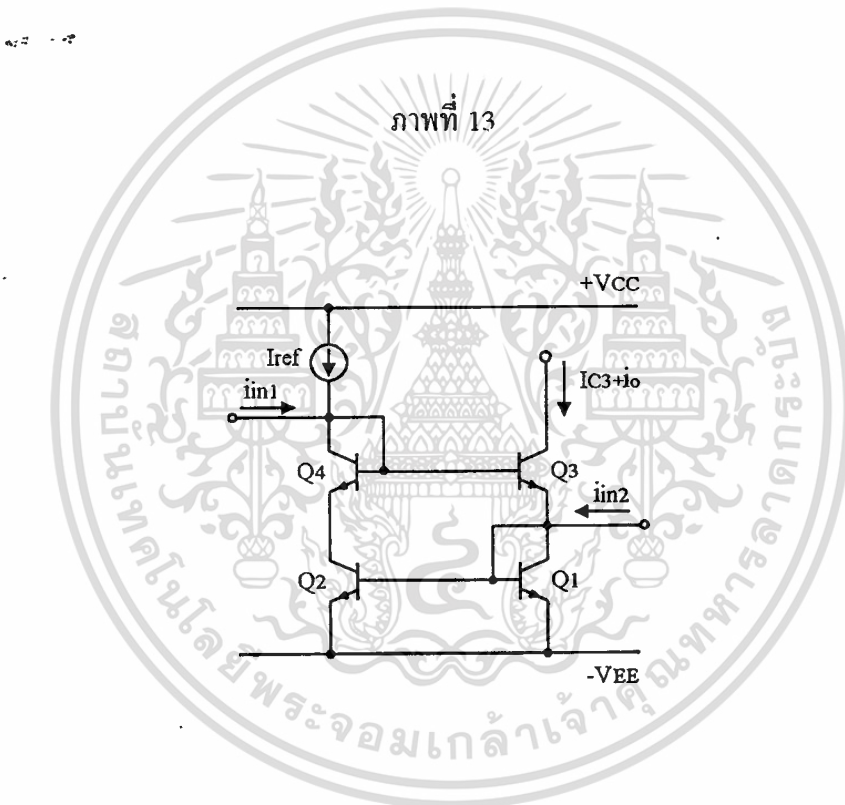
$$C_1 = c_{\pi 4}$$

เอกสารนี้เป็นเอกสารที่สงวนไว้สำหรับการใช้งานเพื่อการศึกษาเท่านั้น ไม่อนุญาตให้นำไปใช้ประโยชน์ด้านการค้า
ไม่ว่ากรณีใดๆทั้งสิ้น อีกทั้งห้ามมิให้ดัดแปลงเนื้อหา และต้องอ้างอิงถึงเจ้าของเอกสารทุกครั้งที่มีการนำไปใช้

วงจรสะท้อนกระแสความแตกต่างสองสัญญาณเข้าแบบทรานซิสเตอร์ 4 ตัว

(Differential Current Mirror)

วงจรจะประกอบด้วยทรานซิสเตอร์ 4 ตัว คู่กันเป็นวงจรสะท้อนกระแสแบบทรานซิสเตอร์ 4 ตัว แต่เพิ่มจุดสัญญาณเข้าที่สอง ที่จุดสัญญาณเข้าของวงจรสะท้อนกระแสแบบทรานซิสเตอร์ 2 ตัว (Q_1, Q_2) ดังภาพที่ 13



แสดงวงจรสะท้อนกระแสความแตกต่างสองสัญญาณเข้าแบบทรานซิสเตอร์ 4 ตัว

คุณสมบัติทางกระแสไฟตรง

คุณสมบัติของวงจรจะเหมือนกับวงจรสะท้อนกระแสแบบทรานซิสเตอร์ 4 ตัว เพียงแต่ จะไม่มีกระแสไฟตรงจากภายนอกเข้าที่จุดสัญญาณเข้าที่สอง และสมการกระแสไฟตรงจะเป็น

[ภาคผนวก ง]

เอกสารนี้เป็นเอกสารที่สงวนไว้สำหรับการใช้งานเพื่อการศึกษาเท่านั้น ไม่อนุญาตให้นำไปใช้ประโยชน์ด้านการค้า ไม่ว่าจะกรณีใดๆทั้งสิ้น อีกทั้งห้ามมิให้ดัดแปลงเนื้อหา และต้องอ้างอิงถึงเจ้าของเอกสารทุกครั้งที่มีการนำไปใช้

$$\begin{aligned}
 A_{i2} = \frac{i_o}{i_{in2}} = & - \left\{ g_m^3 + g_m^2 + g_m \left(g_m c_\pi + \frac{c_{\mu 3}}{r_\pi} \right) s + \left[g_m c_{\mu 3} (2c_{\mu 2} + c_\pi) + \right. \right. \\
 & \left. \left. \frac{2c_{\mu 3}}{r_\pi} (c_{\mu 2} + c_\pi) \right] s^2 + c_\pi c_{\mu 3} (2c_{\mu 2} + c_\pi) s^3 \right\} / \\
 & \left\{ g_m^3 + \frac{3g_m^2}{r_\pi} + \frac{2}{g_m} (2c_{\mu 2} + 2c_{\mu 3} + 3c_\pi) s + g_m [c_\pi (6c_\mu + 5c_{\mu 3} + 4c_\pi) s^2 + \right. \\
 & \left. 4c_{\mu 2} c_{\mu 3}] + c_\pi [c_\pi (4c_{\pi 2} + 3c_{\mu 3} + 2c_\pi) + 4c_{\mu 2} c_{\mu 3}] s^3 \right\}
 \end{aligned} \tag{3.6}$$

เมื่อพิจารณาอัตราขยายกระแสที่ความถี่ต่ำจากสมการที่ (3.6) จะได้

$$\begin{aligned}
 A_{i2} & = - \left(\frac{g_m + \frac{1}{r_\pi}}{g_m + \frac{3}{r_\pi}} \right) \\
 & = - \left(1 - \frac{2}{g_m r_\pi + 3} \right)
 \end{aligned} \tag{3.7}$$

และถ้าให้ $r_\pi = \frac{\beta}{g_m}$, $i_o = A_{i1} i_{in1} + A_{i2} i_{in2}$ และจากสมการที่ (3.4) เมื่อพิจารณาอัตราขยายกระแสที่ความถี่ต่ำเป็น

$$i_o = i_{in1} - i_{in2} + \frac{2}{\beta + 3} i_{in2} \tag{3.8}$$

และกำหนดให้ $\beta \geq 200$ จะได้

$$i_o = i_{in1} - i_{in2} \tag{3.9}$$

สรุป

จากสมการที่หาได้จากการวิเคราะห์ข้างต้น พอที่จะสรุปคุณสมบัติของอัตราขยายกระแสได้ว่า วงจรสะท้อนกระแสแบบ Wilson (ภาพที่ 9) และแบบทรานซิสเตอร์ 4 ตัว (ภาพที่ 10) มีคุณสมบัติใกล้เคียงกันมาก เพียงแต่อัตราขยายกระแสของวงจรสะท้อนกระแสแบบทรานซิสเตอร์ 4 ตัว มีค่าใกล้เคียงหนึ่งมากกว่าแบบ Wilson สำหรับวงจรสะท้อนกระแสความแตกต่างสองสัญญาณเข้าแบบทรานซิสเตอร์ 4 ตัว (ภาพที่ 14) จะมีอัตราขยายกระแสไฟตรงเหมือนกับวงจรสะท้อนกระแสแบบทรานซิสเตอร์ 4 ตัว และอัตราขยายกระแสทางด้านไฟสลับของกระแสออกต่อกระแสเข้าที่จุดสัญญาณเข้าที่สอง มีค่าประมาณ -0.99 ความคลาดเคลื่อนจากหนึ่งประมาณ 1% ดังนั้น ถ้ายอมรับค่าคลาดเคลื่อน 1% จะได้กระแสออก $i_o = i_{in1} - i_{in2}$ เมื่อ i_{in1} และ i_{in2} คือกระแสเข้าที่จุดสัญญาณเข้าที่หนึ่งและสอง ตามลำดับ

บทที่ 4

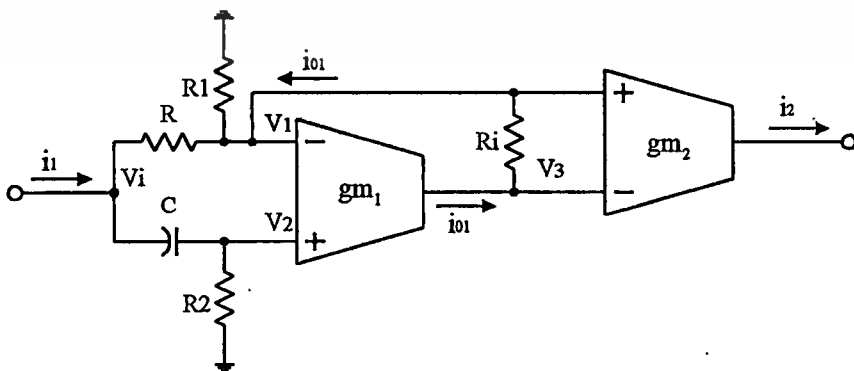
วงจรถ่ายโอนเฟสโดยใช้กระแสชนิดความถี่ผ่านตลอด

บทนำ

จากบทที่ 2 จะเห็นว่าวงจรถ่ายโอนเฟสความถี่ผ่านตลอดจะทำงานในลักษณะของแรงดัน ซึ่งผลตอบสนองทางด้านความถี่ของวงจรค่อนข้างจะจำกัด ในบทนี้จะแสดงถึงวงจรถ่ายโอนเฟสโดยใช้กระแสชนิดความถี่ผ่านตลอดโดยใช้โอทีเอ (OTA) 2 ตัว และอุปกรณ์พาสซีฟอีก 4 ตัว ซึ่งประกอบด้วย ความต้านทาน 2 ตัว และตัวเก็บประจุ 2 ตัว รวมทั้งอิมพีแดนซ์ทางเอาต์พุตของวงจรยังมีค่าสูงอีกด้วย นอกจากนี้วงจรยังสามารถทำงานได้ที่ความถี่สูงกว่าแบบเก่า จากผลของการทดลองจะพบว่า วงจรสามารถเปลี่ยนเฟสได้จาก 0° ถึง -180° หรือ 180° ถึง 0° และอัตราขยายของวงจรจะมีค่าเป็นหนึ่งตลอดย่านการเปลี่ยนเฟสอีกด้วย

บทวิเคราะห์วงจรถ่ายโอนเฟสโดยใช้กระแสชนิดความถี่ผ่านตลอด

ภาพที่ 15



แสดงวงจรถ่ายโอนเฟสโดยใช้กระแสชนิดความถี่ผ่านตลอดและความแตกต่างของสัญญาณ

เอาต์พุตต่ออินพุต จะเปลี่ยนแปลงจาก 0° ถึง -180°

เอกสารนี้เป็นเอกสารที่สงวนไว้สำหรับการใช้งานเพื่อการศึกษาเท่านั้น ไม่นิยมนำไปใช้ประโยชน์ด้านการค้า ไม่ว่าจะกรณีใดๆทั้งสิ้น อีกทั้งห้ามมิให้ดัดแปลงเนื้อหา และต้องอ้างอิงถึงเจ้าของเอกสารทุกครั้งที่มีการนำไปใช้

จากภาพที่ 15 จะกำหนดให้อินพุทอิมพีแดนซ์ของโอทีเอมีค่าเป็นอินฟินิตี้ (Infinity) โดยวงจรประกอบด้วยตัวต้านทาน R และตัวเก็บประจุ C ซึ่งเป็นอุปกรณ์ที่กำหนดค่าการเลื่อนเฟส นอกจากนี้ยังประกอบด้วยตัวต้านทาน R_1 , R_2 , R_i และโอทีเออีกจำนวน 2 ตัว โดยกำหนดให้ i_1 คือกระแสที่ไหลเข้าวงจร i_{o1} คือกระแสที่ไหลออกจากเอาต์พุทของโอทีเอ g_{m1} และ i_2 คือกระแสที่ไหลออกจากวงจร ในการพิจารณาวิเคราะห์ห้วงจร จะเริ่มจาก i_2 ดังนี้

$$i_2 = g_{m2}V_{i2} \quad (4.1)$$

$$i_2 = g_{m2}(V_1 - V_3) \quad (4.2)$$

$$i_2 = -g_{m2}i_{o1}R_i \quad (4.3)$$

$$\frac{i_2}{i_{o1}} = -g_{m2}R_i \quad (4.4)$$

จากนั้นจะทำการหาทรานเฟอร์ฟังก์ชันของกระแส i_2/i_1 โดยวิธีของ node voltage ที่ส่วนหน้าของวงจร

node ② ;

$$\frac{CsV_i}{I + R_2Cs} + \frac{V_1 - V_1}{R} = -i_1 \quad (4.5)$$

node ① ;

$$\frac{V_1 - V_1}{R} + \frac{V_1}{R_i} = i_{o1} \quad (4.6)$$

จากสมการที่ (4.4) ถ้ากำหนดให้ $g_{m2}R_i = 1$ แล้ว จะได้ว่า

$$i_2 = -i_{o1} \quad (4.7)$$

นำสมการที่ (4.7) แทนลงในสมการที่ (4.6) ได้เป็น

$$\frac{V_1 - V_1}{R} + \frac{V_1}{R_i} = i_2 \quad (4.8)$$

นำสมการที่ (4.5) และสมการที่ (4.8) มาจัดรูปใหม่ได้เป็น

$$\left(\frac{Cs}{I+R_2Cs} + \frac{I}{R}\right)V_1 - \frac{V_1}{R} = -i_1 \quad (4.9)$$

$$-\frac{V_1}{R} + \left(\frac{I}{R} + \frac{I}{R}\right)V_1 = i_2 \quad (4.10)$$

แก้สมการที่ (4.9) และสมการที่ (4.10) โดยใช้วิธีเด็ทเทอร์มิแนนท์ จะได้

$$\Delta = \left(\frac{Cs}{I+R_2Cs} + \frac{I}{R}\right)\left(\frac{I}{R} + \frac{I}{R}\right) - \frac{I}{R^2} \quad (4.11)$$

$$V_1 = \frac{\left(\frac{I}{R} + \frac{I}{R}\right)i_1 + \frac{i_2}{R}}{\Delta} \quad (4.12)$$

$$V_1 = \frac{\left(\frac{Csi_2}{I+R_2Cs} - \frac{i_1}{R}\right)}{\Delta} \quad (4.13)$$

จากภาพที่ 15

$$i_{o1} = \frac{V_3 - V_1}{R_1} \quad (4.14)$$

$$i_{o1} = gm_1(V_2 - V_1) \quad (4.15)$$

จากสมการที่ (4.7) แทนค่าลงในสมการที่ (4.2) จะได้เป็น

$$\begin{aligned} -i_{o1} &= gm_2(V_1 - V_3) \\ i_{o1} &= -gm_2(V_1 - V_3) \end{aligned} \quad (4.16)$$

เอกสารนี้เป็นเอกสารที่สงวนไว้สำหรับการใช้งานเพื่อการศึกษาเท่านั้น ไม่อนุญาตให้นำไปใช้ประโยชน์ด้านการค้า
ไม่ว่ากรณีใดๆทั้งสิ้น อีกทั้งห้ามมิให้ตัดแปลงเนื้อหา และต้องอ้างอิงถึงเจ้าของเอกสารทุกครั้งที่มีการนำไปใช้

นำสมการที่ (4.15) เท่ากับสมการที่ (4.16) เป็น

$$\begin{aligned} -gm_2(V_1 - V_3) &= gm_1(V_2 - V_1) \\ gm_2V_3 - gm_2V_1 &= gm_1V_2 - gm_1V_1 \\ V_3 &= \frac{(gm_2 - gm_1)V_1 + gm_1V_2}{gm_2} \end{aligned} \quad (4.17)$$

จากสมการที่ (4.17) ให้ $gm_1 = gm_2$ แล้ว

$$V_3 = V_2 \quad (4.18)$$

นำสมการที่ (4.18) แทนในสมการที่ (4.14) เป็น

$$i_{o1} = \frac{V_2 - V_1}{R_i} \quad (4.19)$$

นำสมการที่ (4.19) เท่ากับสมการที่ (4.15) จะได้

$$\begin{aligned} \frac{(V_2 - V_1)}{R_i} &= gm_1(V_2 - V_1) \\ V_2 - V_1 &= gm_1R_iV_2 - gm_1R_iV_1 \\ (1 - gm_1R_i)V_2 &= (1 - gm_1R_i)V_1 \\ V_2 &= V_1 \end{aligned} \quad (4.20)$$

จากสมการที่ (4.12) สามารถหา V_2 ได้เป็น

$$V_2 = \frac{\left[\frac{R_2Cs}{R_2Cs + 1} \right] \cdot \left[\left(\frac{1}{R} + \frac{1}{R_i} \right) - i_1 + \frac{i_2}{R} \right]}{\Delta} \quad (4.21)$$

จากสมการที่ (4.20) นำสมการที่ (4.13) และสมการที่ (4.21) มาแทนค่าจะได้

$$\left(\frac{1}{R} - \frac{R_2}{R_1} Cs \right) i_1 = \frac{RCs + 1}{R} i_2$$

$$\frac{i_2}{i_1} = \frac{1 - RCs\beta}{1 + RCs} \quad ; \quad \beta = \frac{R_2}{R_1}$$

กำหนดให้ $R_1 = R_2$ หรือ $\beta = 1$ จะได้ว่า

$$\frac{i_2}{i_1} = \frac{1 - RCs}{1 + RCs} \quad (4.22)$$

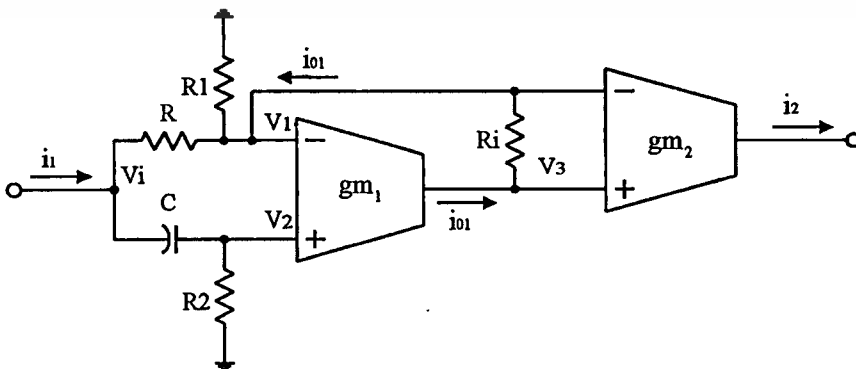
และถ้าให้ $S = j\omega$ และ $T = RC$ จะเป็น

$$\frac{i_2}{i_1} = \frac{1 - j\omega T}{1 + j\omega T} \quad (4.23)$$

จากสมการที่ (4.23) จะสามารถหามุมของการเลื่อนเฟส (θ) ได้เป็น

$$\theta = -2 \tan^{-1} \omega T \quad (4.24)$$

ภาพที่ 16



แสดงวงจรเลื่อนเฟสโดยใช้กระแสชนิดความถี่ผ่านตลอดจาก 180° ถึง 0°

เอกสารนี้เป็นเอกสารที่สงวนไว้สำหรับการใช้งานเพื่อการศึกษาเท่านั้น ไม่อนุญาตให้นำไปใช้ประโยชน์ด้านการค้า
ไม่ว่ากรณีใดๆทั้งสิ้น อีกทั้งห้ามมิให้ดัดแปลงเนื้อหา และต้องอ้างอิงถึงเจ้าของเอกสารทุกครั้งที่มีการนำไปใช้

จากภาพที่ 16 สามารถหาค่าของทรานเฟอร์ฟังก์ชัน ได้ดังต่อไปนี้

$$\begin{aligned} i_2 &= gm_2 R_i i_{o1} \\ \frac{i_2}{i_{o1}} &= gm_2 R_i \end{aligned} \quad (4.25)$$

ให้พิจารณาที่ node ❶ และ node ❷ เพื่อแก้สมการและหาดีเทอร์มิแนนท์ก็จะสามารถหาสมการได้เป็น

$$\frac{i_2}{i_1} = \frac{RCs - \beta}{RCs + 1} ; \beta = \frac{R_2}{R_1} \quad (4.26)$$

โดยที่ $R_1 = R_2$ จะได้ว่า

$$\frac{i_2}{i_1} = \frac{RCs - 1}{RCs + 1} \quad (4.27)$$

ถ้ากำหนดให้ $S = j\omega$ และ $T = RC$ จะได้เป็น

$$\frac{i_2}{i_1} = \frac{j\omega T - 1}{j\omega T + 1} \quad (4.28)$$

จากสมการที่ (4.28) มุมของการเลื่อนเฟสจะเป็น

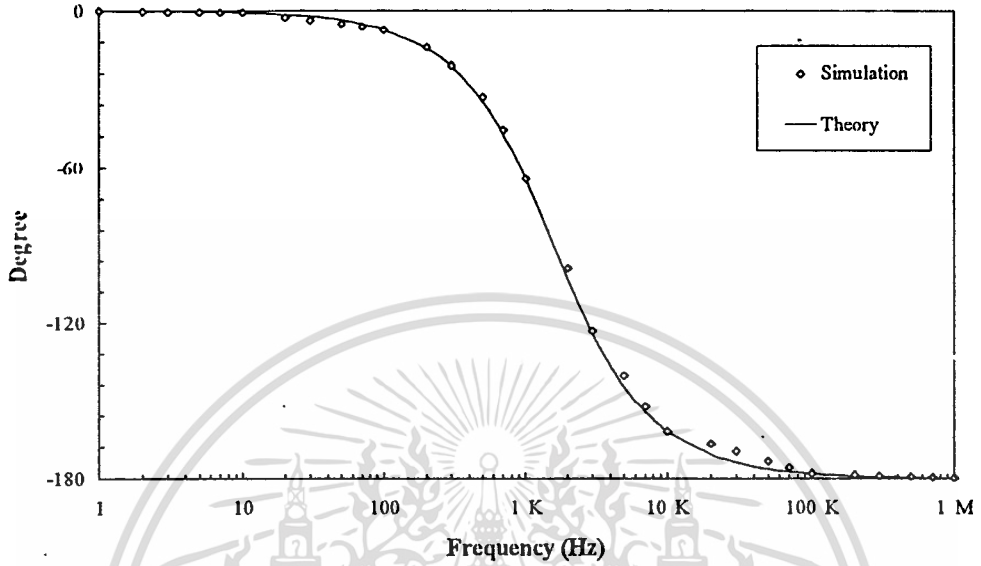
$$\theta = \pi - 2 \tan^{-1} \omega T \quad (4.29)$$

การทดลองและผลการทดลอง

จากภาพที่ 15 จะใช้การเลียนแบบวงจรด้วยโปรแกรม PSpice ซึ่งเลียนแบบวงจรของ โอทีเอเบอร์ LM13600 และกำหนดให้ $R_1=R_2 = 8 \text{ k}\Omega$ $R = 20 \text{ k}\Omega$ $C = 0.005 \mu\text{f}$ และ $R_i = 52 \Omega$ ที่ต้องกำหนดให้ R_i มีค่าเท่ากับ 52Ω เพราะค่าความไม่เป็นเชิงเส้นในวงจรส่วนหน้าของโอทีเอ gm_2 ซึ่งเป็นวงจรขยายความแตกต่างและมีช่วงความเป็นเชิงเส้นที่แคบมาก เพื่อลดผลอันนี้จะต้องกำหนดให้การเปลี่ยนแปลงของศักดาที่ตกคร่อม R_i มีค่าน้อยอยู่ในช่วงเชิงเส้นของโอทีเอ gm_2 ซึ่งสามารถทำได้โดยการลดค่า R_i ให้มีค่าน้อย รวมทั้งให้สอดคล้องกับสมการที่ (4.7) ในที่นี้จะกำหนดให้กระแสไบอัสโอทีเอ 2 (gm_2) มีค่าเป็น $1000 \mu\text{A}$ เนื่องจากถูกกำหนดโดยสมการที่ (4.4) ส่วนโอทีเอ 1 (gm_1) จะกำหนดกระแสไบอัสเป็น $1000 \mu\text{A}$ เช่นกัน ในภาพที่ 16 ก็จะใช้การเลียนแบบวงจร โดยโปรแกรม PSpice และค่าของอุปกรณ์ต่างๆจะเหมือนกับอุปกรณ์ที่ใช้ในวงจรภาพที่ 15

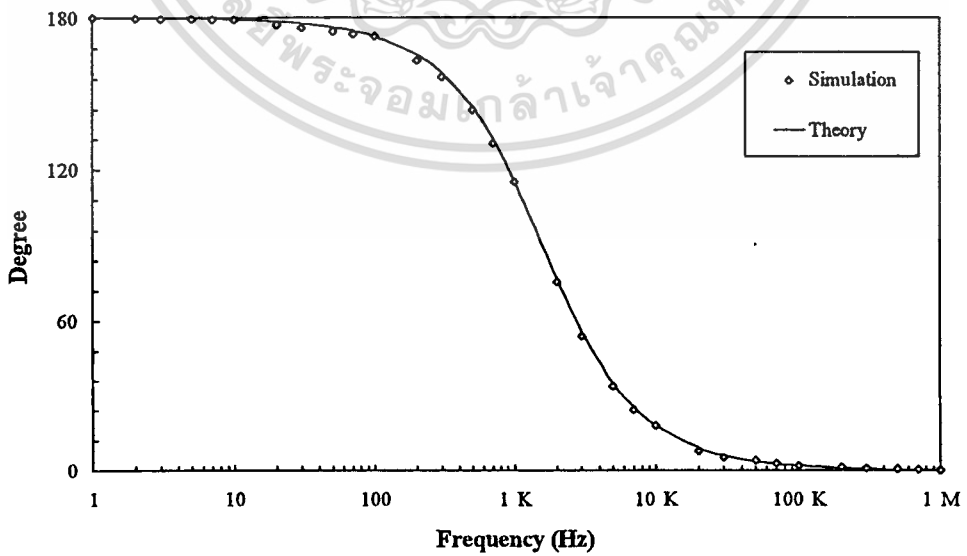
ผลการทดลองของวงจรภาพที่ 15 จะพบว่าเมื่อป้อนสัญญาณเข้าไปในวงจรแล้ววัดมุมต่างเฟสของสัญญาณด้านเอาต์พุต (i_2) ปรากฏว่ามีการเลื่อนเฟสจาก 0° ถึง -180° ขณะที่แอมพลิจูดของสัญญาณทางด้านอินพุตเท่ากับทางด้านเอาต์พุตตลอดย่านความถี่ และเมื่อนำไปเปรียบเทียบกับทางทฤษฎีแล้วจะพบว่ามีค่าตรงกัน ส่วนผลการทดลองของวงจรภาพที่ 16 วงจรสามารถเลื่อนเฟสได้เช่นกัน แต่ความแตกต่างของเฟสของสัญญาณทางด้านเอาต์พุตกับทางด้านอินพุตจะเป็นการเปลี่ยนแปลงจาก 180° ถึง 0° รวมทั้งขนาดของแอมพลิจูดของสัญญาณด้านอินพุตมีค่าเท่ากับด้านเอาต์พุตตลอดย่านความถี่ และวงจรยังสามารถทำงานได้ที่ย่านความถี่สูงกว่าวงจรแบบเก่า ซึ่งผลการทดลองได้แสดงไว้ในภาพที่ 17 และ 18 ตามลำดับ

ภาพที่ 17



แสดงผลการทดลองของวงจรเลื่อนเฟสจาก 0° ถึง -180°

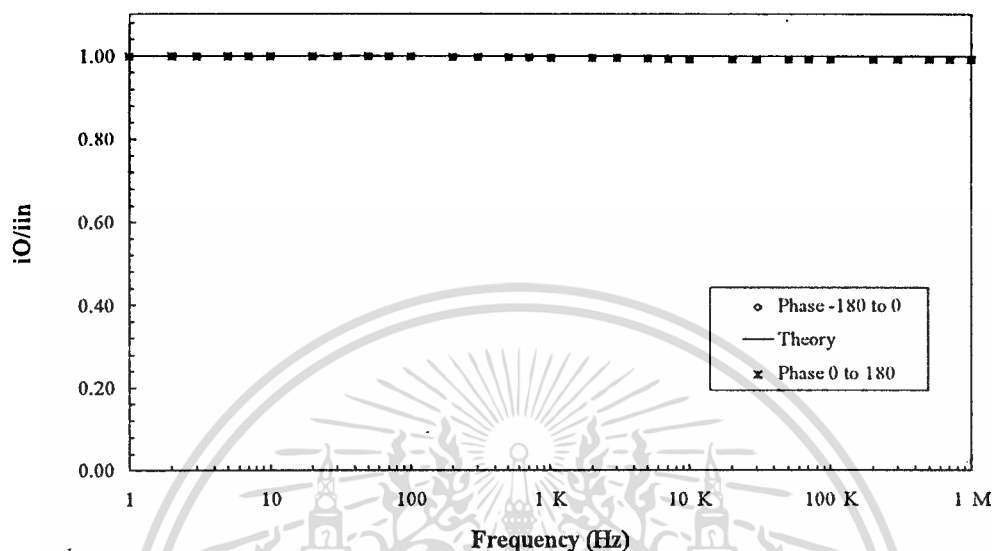
ภาพที่ 18



แสดงผลการทดลองของวงจรเลื่อนเฟสจาก 180° ถึง 0°

เอกสารนี้เป็นเอกสารที่สงวนลิขสิทธิ์หรือการเข้าถึงเพื่อการศึกษา โดยผู้ดูแลให้หันไปใช้ประโยชน์ด้านการค้า
ไม่ว่ากรณีใดๆทั้งสิ้น อีกทั้งห้ามมิให้ตัดแปลงเนื้อหา และต้องอ้างอิงถึงเจ้าของเอกสารทุกครั้งที่มีการนำไปใช้

ภาพที่ 19



แสดงผลของการเปลี่ยนแปลงขนาดของสัญญาณทางด้านเอาต์พุตต่อด้านอินพุต

บทสรุป

วงจรเลื่อนเฟสโดยใช้กระแสชนิดความถี่ผ่านตลอด ในวิทยานิพนธ์เล่มนี้ ได้แสดงถึงวิธีการวิเคราะห์หาสมการคุณสมบัติของวงจร และผลการทดลองได้ยืนยันถึงความถูกต้องเมื่อเทียบกับผลทางทฤษฎี ซึ่งมุมของการเลื่อนเฟสที่วงจรทำงานได้ สามารถกำหนดได้โดยตัวต้านทาน R และตัวเก็บประจุ C นอกจากนี้ยังสามารถนำมาประยุกต์ใช้งานเป็นวงจรออสซิลเลเตอร์ได้โดยนำมาต่อคาสเดทกัน 2 ช่วง และต่อเข้ากับวงจรขยายกระแสที่มีอัตราขยายกระแสที่เหมาะสม หรืออาจจะใช้ตัวต้านทานปรับค่าได้ด้วยวิธีอิเล็กทรอนิกส์แทนที่ตัวต้านทาน R วงจรก็สามารถทำงานได้ และใช้กระแสในการปรับค่าการเลื่อนเฟส และคุณสมบัติของวงจรอีกข้อหนึ่งคือ อัตราขยายกระแสอินพุตต่อเอาต์พุตมีค่า ≈ 1 ตลอดย่านการเลื่อนเฟส รวมทั้งอิมพีแดนซ์ของวงจรทางด้านเอาต์พุตมีสูง จากคุณสมบัติดังกล่าวนี้ ทำให้อุปกรณ์เหมาะสมที่จะนำไปใช้งานในทางปฏิบัติต่อไป

บทที่ 5

วงจรกำเนิดสัญญาณชายนแบบใหม่

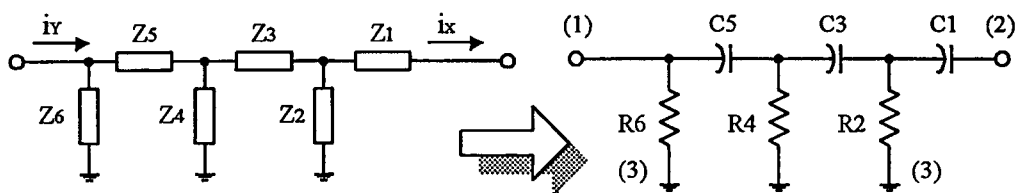
บทนำ

จากบทที่ 2 จะพบว่า วงจรกำเนิดสัญญาณรูปชายนแบบเก่านั้นจะทำงานในลักษณะของแรงดันโดยวงจรจะประกอบด้วยอาร์-ซีเป็นเน็ทเวิร์คย้อนกลับและโอเพอร์เรชันแนลแอมพลิไฟเออร์ ทำหน้าที่เป็นวงจรขยายและกลับเฟส ทำให้อัตราการขยายภายในลูปมีค่าเป็นหนึ่งและเฟสของสัญญาณรวมกันมีค่าเป็นศูนย์ วงจรจึงสามารถให้กำเนิดสัญญาณรูปชายนีได้

ในบทนี้จะแสดงถึงวงจรกำเนิดสัญญาณรูปชายนแบบใหม่ ซึ่งจะอาศัยหลักการของการเลื่อนเฟสในลักษณะของกระแส โดยจะใช้อาร์-ซีเน็ทเวิร์ค และอาศัยวงจรสะท้อนกระแสสะท้อนกระแสความแตกต่างเป็นวงจรขยายและกลับเฟส เพื่อให้อัตราการขยายภายในลูปมีค่าเป็นหนึ่งและเฟสของสัญญาณรวมกันมีค่าเป็นศูนย์ วงจรจึงสามารถกำเนิดสัญญาณชายนีได้ ซึ่งความถี่ในการออสซิลเลทสูงกว่าแบบเก่าและค่าเซ็นซิวิตีของวงจรมีค่าต่ำอีกด้วย

บทวิเคราะห์วงจรเน็ทเวิร์ค

ภาพที่ 20



แสดงวงจรทาสซีฟเน็ทเวิร์ค $B(s)$

เอกสารนี้เป็นเอกสารที่สงวนไว้สำหรับการใช้งานเพื่อการศึกษาเท่านั้น ไม่อนุญาตให้นำไปใช้ประโยชน์ด้านการค้า ไม่ว่าจะกรณีใดๆทั้งสิ้น อีกทั้งห้ามมิให้ดัดแปลงเนื้อหา และต้องอ้างอิงถึงเจ้าของเอกสารทุกครั้งที่มีการนำไปใช้

จากภาพที่ 20 เป็นวงจรพาสซีฟเน็ตเวิร์ค โดยจะพิจารณาทรานเฟอร์ฟังก์ชันในรูปอัตราส่วนของกระแส ซึ่งจะได้ว่า [ภาคผนวก จ]

$$\frac{i_y}{i_x} = 1 + \frac{Z_1}{Z_2} + \frac{Z_3}{Z_4} + \frac{Z_1}{Z_4} + \frac{Z_1}{Z_6} + \frac{Z_5}{Z_6} + \frac{Z_3}{Z_6} + \frac{Z_1 Z_3}{Z_2 Z_4} + \frac{Z_3 Z_5}{Z_2 Z_6} + \frac{Z_1 Z_5}{Z_4 Z_6} + \frac{Z_1 Z_5}{Z_2 Z_4} + \frac{Z_1 Z_3}{Z_2 Z_6} + \frac{Z_1 Z_3 Z_5}{Z_2 Z_4 Z_6} \quad (5.1)$$

จากสมการที่ (5.1) ถ้ากำหนดให้ $Z_1 = \frac{1}{C_1 s}$, $Z_2 = R_2$, $Z_3 = \frac{1}{C_3 s}$, $Z_4 = R_4$, $Z_5 = \frac{1}{C_5 s}$, $Z_6 = R_6$

ฉะนั้นจะได้สมการของทรานเฟอร์ฟังก์ชันเป็น

$$\frac{i_y}{i_x} = 1 + \frac{1}{R_2 C_1 s} + \frac{1}{R_4 C_3 s} + \frac{1}{R_4 C_1 s} + \frac{1}{R_6 C_1 s} + \frac{1}{R_6 C_5 s} + \frac{1}{R_6 C_3 s} + \frac{1}{R_2 R_4 C_1 C_5 s^2} + \frac{1}{R_2 R_4 C_1 C_3 s^2} + \frac{1}{R_2 R_6 C_3 C_5 s^2} + \frac{1}{R_4 R_6 C_1 C_5 s^2} + \frac{1}{R_2 R_6 C_1 C_3 s^2} + \frac{1}{R_2 R_4 R_6 C_1 C_3 C_5 s^3} \quad (5.2)$$

และจากสมการของการออสซิลเลท [1]

$$AB(s) = 1 \quad (5.3)$$

โดยที่ $B(s) = \frac{i_y}{i_x}$

นำสมการที่ (5.2) แทนลงในสมการที่ (5.3) จะได้ว่า

$$\begin{aligned} & A \{ R_2 R_4 R_6 C_1 C_3 C_5 s^3 + R_4 R_6 C_3 C_5 s^2 + R_2 R_6 C_1 C_5 s^2 + R_2 R_6 C_3 C_5 s^2 + R_2 R_4 C_3 C_5 s^2 + \\ & R_2 R_4 C_1 C_3 s^2 + R_2 R_4 C_1 C_5 s^2 + R_6 C_3 s + R_6 C_5 s + R_4 C_1 s + R_2 C_3 s + R_4 C_5 s + 1 \} \\ & = R_2 R_4 R_6 C_1 C_3 C_5 s^3 \quad (5.4) \end{aligned}$$

เอกสารนี้เป็นเอกสารที่สงวนไว้สำหรับการใช้งานเพื่อการศึกษาเท่านั้น ไม่อนุญาตให้นำไปใช้ประโยชน์ด้านการค้า ไม่ว่าจะกรณีใดๆทั้งสิ้น อีกทั้งห้ามมิให้ดัดแปลงเนื้อหา และต้องอ้างอิงถึงเจ้าของเอกสารทุกครั้งที่มีการนำไปใช้

$$(A - I)R_2R_4R_6C_1C_3C_5s^3 + A(R_4R_6C_3C_5s^2 + R_2R_6C_1C_5s^2 + R_2R_6C_3C_5s^2 + R_2R_4C_3C_5s^2 + R_2R_4C_1C_3s^2 + R_2R_4C_1C_5s^2 + R_6C_3s + R_6C_5s + R_4C_1s + R_2C_3s + R_4C_5s + I) = 0 \quad (5.5)$$

จากสมการที่ (5.5) สามารถแยกส่วนของ real part และส่วนของ imaginary part ได้เป็นส่วนหนึ่งของ real part

$$AR_4R_6C_3C_5s^2 + AR_2R_6C_1C_5s^2 + AR_2R_6C_3C_5s^2 + AR_2R_4C_3C_5s^2 + AR_2R_4C_1C_3s^2 + AR_2R_4C_1C_5s = -A$$

$$s^2 = -\frac{1}{R_4R_6C_3C_5 + R_2R_6C_1C_5 + R_2R_6C_3C_5 + R_2R_4C_3C_5 + R_2R_4C_1C_3 + R_2R_4C_1C_5}$$

$$w^2(R_4R_6C_3C_5 + R_2R_6C_1C_5 + R_2R_6C_3C_5 + R_2R_4C_3C_5 + R_2R_4C_1C_3) = 1$$

$$f = \frac{1}{2\pi\sqrt{C_3C_5R_4R_6 + C_1C_5R_2R_6 + C_3C_5R_2R_6 + C_3C_5R_2R_4 + C_1C_3R_2R_4 + C_1C_5R_2R_4}} \quad (5.6)$$

จากสมการที่ (5.6) เป็นสมการที่กำหนดความถี่ในการออกสซิชเลท

ต่อมาพิจารณาในส่วนของ imaginary part

$$R_2R_4R_6^3C_1C_3C_5(1 - A) = As(R_6C_3 + R_6C_5 + R_4C_1 + R_2C_3 + R_4C_5)$$

$$1 - A = A \left(\frac{1}{R_2R_4C_1C_5s^2} + \frac{1}{R_2R_4C_1C_3s^2} + \frac{1}{R_2R_6C_3C_5s^2} + \frac{1}{R_4R_6C_1C_5s^2} + \frac{1}{R_2R_6C_1C_3s^2} \right)$$

$$1 - A = A \left(\frac{R_6C_3 + R_6C_5 + R_4C_1 + R_2C_3 + R_4C_5}{R_2R_4R_6C_1C_3C_5s^2} \right)$$

เอกสารนี้เป็นเอกสารที่สงวนไว้สำหรับการใช้งานเพื่อการศึกษาเท่านั้น ไม่อนุญาตให้นำไปใช้ประโยชน์ด้านการค้า ไม่ว่าจะกรณีใดๆทั้งสิ้น อีกทั้งห้ามมิให้ดัดแปลงเนื้อหา และต้องอ้างอิงถึงเจ้าของเอกสารทุกครั้งที่มีการนำไปใช้

$$I = A \left[\frac{\left(\begin{array}{l} (R_6 C_3 + R_6 C_5 + R_4 C_1 +) \\ (R_2 C_3 + R_4 C_5) \end{array} \right) - \left(\begin{array}{l} (R_4 R_6 C_3 C_5 + R_2 R_6 C_1 C_5 + R_2 R_6 C_3 C_5 +) \\ (R_2 R_4 C_3 C_5 + R_2 R_4 C_1 C_3 + R_2 R_4 C_1 C_5) \end{array} \right)}{R_2 R_4 R_6 C_1 C_3 C_5} \right] + A$$

$$\begin{aligned} -\frac{I}{A} &= \frac{R_6 C_3}{R_2 C_1} + \frac{R_6 C_5}{R_2 C_1} + \frac{R_4}{R_2} + \frac{C_3}{C_1} + \frac{R_4 C_5}{R_2 C_1} + \frac{R_6}{R_4} + \frac{R_6 C_5}{R_4 C_3} + \frac{C_1}{C_3} + \frac{R_2}{R_6} + \frac{C_5}{C_3} + \frac{R_6 C_3}{R_4 C_1} + \\ &\frac{R_6 C_5}{R_4 C_1} + \frac{R_2 C_3}{R_4 C_1} + \frac{C_5}{C_1} + \frac{C_3}{C_5} + \frac{R_4 C_1}{R_6 C_5} + \frac{R_4 C_5}{R_6 C_3} + \frac{R_4}{R_6} + \frac{R_4 C_1}{R_6 C} + \frac{R_2}{R_6} + \frac{R_4 C_3}{R_6 C_3} + \frac{C_3}{C_1} + \\ &\frac{C_5}{C_1} + \frac{R_4}{R_6} + \frac{R_2 C_3}{R_6 C_1} + \frac{R_4 C_5}{R_6 C_1} + I \end{aligned} \quad (5.7)$$

จากสมการที่ (5.7) เป็นสมการที่กำหนดอัตราขยายของวงจรในการออกสขิลเลท

$$\text{ถ้ากำหนดให้ } \frac{I}{C_1 s} = \frac{I}{C_3 s} = \frac{I}{C_5 s} = \frac{I}{C s} \quad \text{และ } R_2 = R_4 = R_6 = R \quad (5.8)$$

นำสมการที่ (5.8) ไปแทนลงในสมการที่ (5.6) และ สมการที่ (5.7) จะได้เป็น

$$f = \frac{I}{2\pi\sqrt{6}RC} \quad (5.9)$$

$$A = \frac{-I}{29} \quad (5.10)$$

จากผลของ A ที่ได้จากสมการที่ (5.10) จะกำหนดค่าอัตราขยายของวงจรออกสขิลเลเตอร์และสมการที่ (5.9) จะกำหนดความถี่ของวงจรที่เกิดการออกสขิลเลท ต่อมาจะพิจารณาดังค่าของเซ็นซิวิตีของความถี่เมื่อเทียบกับอัตราการเปลี่ยนแปลงของอุปกรณ์ในวงจรพาสซีฟเน็ตเวิร์ค [B(s)] ซึ่งหาได้จากความสัมพันธ์ดังนี้

เอกสารนี้เป็นเอกสารที่สงวนไว้สำหรับการใช้งานเพื่อการศึกษาเท่านั้น ไม่อนุญาตให้นำไปใช้ประโยชน์ด้านการค้า
ไม่ว่ากรณีใดๆทั้งสิ้น อีกทั้งห้ามมิให้ดัดแปลงเนื้อหา และต้องอ้างอิงถึงเจ้าของเอกสารทุกครั้งที่มีการนำไปใช้

$$S_x^\infty = \left(x/\omega \right) \cdot \frac{\partial \omega}{\partial x} \quad (5.11)$$

จากสมการที่ (5.11) จะได้ว่า [ภาคผนวก จ]

$$S_{C1}^\infty = -\frac{1}{2} \left(\frac{1}{1 + \frac{R_4 R_6 C_3 C_5 + R_2 R_6 C_1 C_5 + R^2 R_4 C_3 C_5}{R_2 R_6 C_1 C_5 + R_2 R_4 C_1 C_3 + R_2 R_4 C_1 C_5}} \right) \quad (5.12)$$

$$S_{R2}^\infty = -\frac{1}{2} \left(\frac{1}{1 + \frac{R_4 R_6 C_3 C_5}{R_2 R_6 C_1 C_5 + R_2 R_6 C_3 C_5 + R_2 R_4 C_3 C_5 + R_2 R_4 C_1 C_3 + R_2 R_4 C_1 C_5}} \right) \quad (5.13)$$

$$S_{C3}^\infty = -\frac{1}{2} \left(\frac{1}{1 + \frac{R_2 R_6 C_1 C_5 + R_2 R_4 C_1 C_3}{R_4 R_6 C_3 C_5 + R_2 R_6 C_3 C_5 + R_2 R_4 C_3 C_5 + R_2 R_4 C_1 C_3}} \right) \quad (5.14)$$

$$S_{R4}^\infty = -\frac{1}{2} \left(\frac{1}{1 + \frac{R_2 R_6 C_1 C_5 + R_2 R_6 C_3 C_5}{R_4 R_6 C_3 C_5 + R_2 R_4 C_3 C_5 + R_2 R_4 C_1 C_3 + R_2 R_4 C_1 C_5}} \right) \quad (5.15)$$

$$S_{C5}^\infty = -\frac{1}{2} \left(\frac{1}{1 + \frac{R_2 R_4 C_1 C_3}{R_4 R_6 C_3 C_5 + R_2 R_6 C_1 C_5 + R_2 R_6 C_3 C_5 + R_2 R_4 C_3 C_5 + R_2 R_4 C_1 C_5}} \right) \quad (5.16)$$

เอกสารนี้เป็นเอกสารที่สงวนไว้สำหรับการใช้งานเพื่อการศึกษาเท่านั้น ไม่อนุญาตให้นำไปใช้ประโยชน์ด้านการค้า
ไม่ว่ากรณีใดๆทั้งสิ้น อีกทั้งห้ามมิให้ตัดแปลงเนื้อหา และต้องอ้างอิงถึงเจ้าของเอกสารทุกครั้งที่มีการนำไปใช้

$$S_{R6}^{\omega} = -\frac{1}{2} \left(\frac{1}{1 + \frac{R_2 R_4 C_3 C_5 + R_2 R_4 C_1 C_3 + R_2 R_4 C_1 C_5}{R_4 R_6 C_3 C_5 + R_2 R_6 C_1 C_5 + R_2 R_6 C_3 C_5}} \right) \quad (5.17)$$

ถ้ากำหนดให้ $C_1=C_3=C_5=C$ และ $R_2=R_4=R_6=R$ แทนลงในสมการที่ (5.12) ถึงสมการที่ (5.17) จะได้ว่า

$$S_{C1}^{\omega} = -\frac{1}{4} \quad (5.18)$$

$$S_{R2}^{\omega} = -\frac{5}{12} \quad (5.19)$$

$$S_{C3}^{\omega} = -\frac{1}{3} \quad (5.20)$$

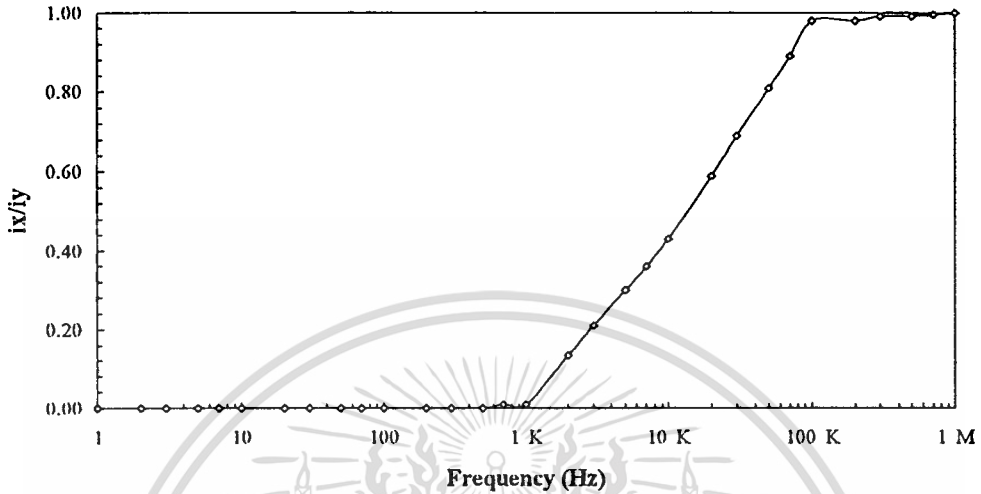
$$S_{R4}^{\omega} = -\frac{1}{3} \quad (5.21)$$

$$S_{C5}^{\omega} = -\frac{5}{12} \quad (5.22)$$

$$S_{R6}^{\omega} = -\frac{1}{4} \quad (5.23)$$

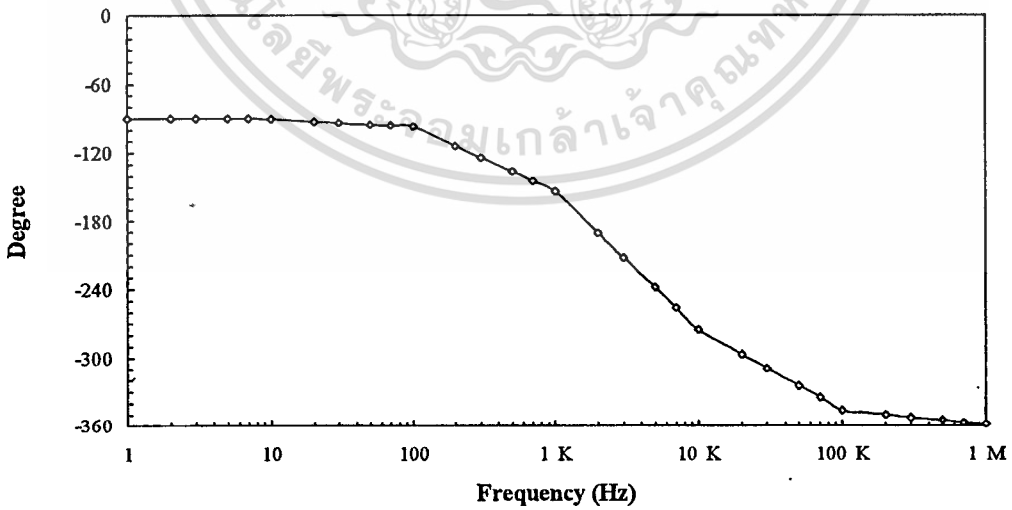
จากเน็ทเวิร์ค B(s) ที่ทำการวิเคราะห์ ทำให้เราสามารถหาค่าความถี่ในการออกสซิโลทได้ และหาค่าของอัตราขยายของวงจรได้ ต่อไปจะเป็นการหาคุณสมบัติของเน็ทเวิร์คจากภาพที่ 20 จะทำการป้อนกระแสรูปไซน์เข้าที่โหนด (1) และโหนด (3) แล้ววัดสัญญาณกระแสที่โหนด (2) และโหนด (3) ซึ่งสามารถนำมาเขียนกราฟความสัมพันธ์ได้ดังภาพที่ 21 โดยได้แสดงถึงขนาดของกระแส $\frac{i_y}{i_x}$ และภาพที่ 22 แสดงถึงสัญญาณด้านขาออก ซึ่งจะต่างกันจากสัญญาณด้านขาเข้าเป็น 180° ณ ความถี่ $f = \frac{1}{2\pi\sqrt{6}RC}$ โดยที่ $R = 1k\Omega$, $C = 0.01 \mu f$

ภาพที่ 21



แสดงอัตราส่วนของกระแส $\frac{i_y}{i_x}$

ภาพที่ 22



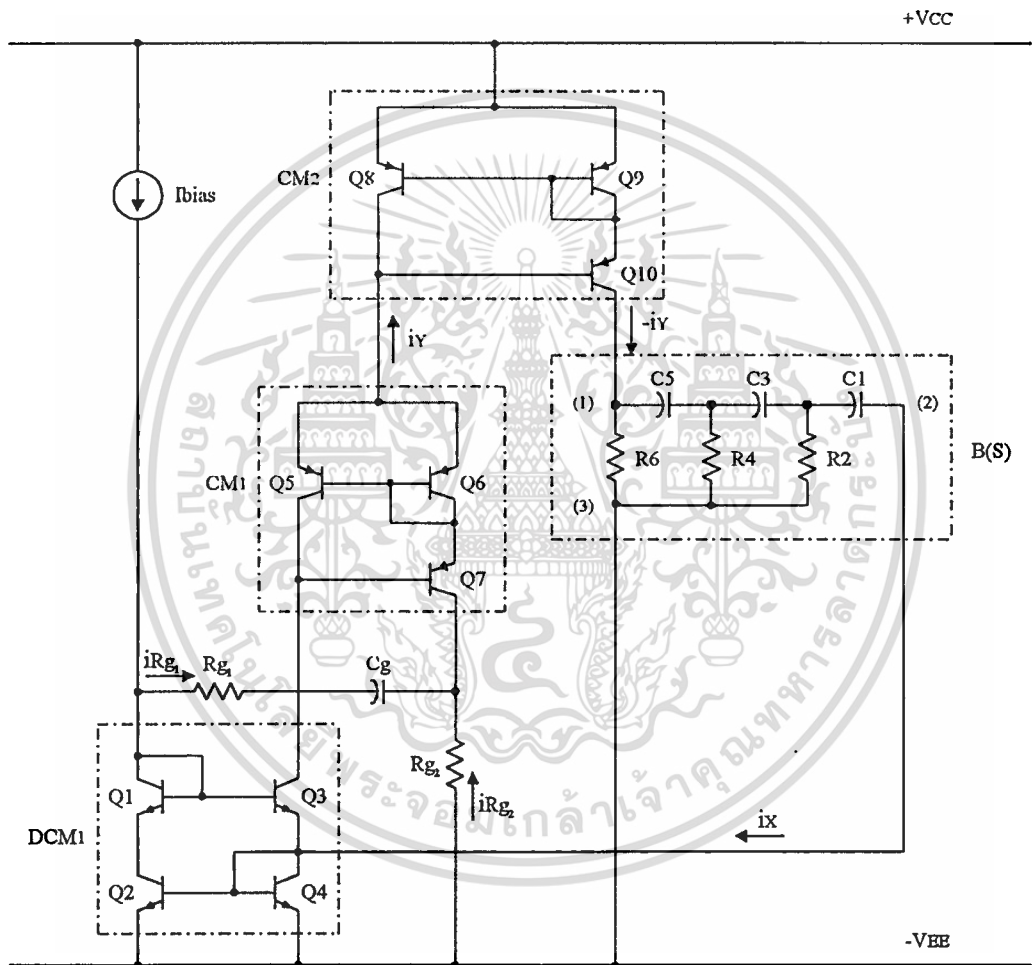
แสดงความแตกต่างของสัญญาณด้านขาเข้าและขาออก ณ ความถี่ $f = \frac{1}{2\pi\sqrt{6}RC}$

เอกสารนี้เป็นเอกสารที่สงวนไว้สำหรับการใช้งานเพื่อการศึกษาเท่านั้น ไม่อนุญาตให้นำไปเผยแพร่บนสื่อออนไลน์ การนำเอกสารนี้ไปใช้โดยไม่ผ่านการอนุมัติจากเจ้าของลิขสิทธิ์ถือว่าผิดกฎหมาย

บทวิเคราะห์วงจรกำเนิดสัญญาณรูปซายน์

หลังจากที่ทำการวิเคราะห์คุณสมบัติของเน็ตเวิร์คแล้ว สามารถนำมาสร้างวงจรได้ดังภาพที่ 23

ภาพที่ 23



แสดงถึงวงจรกำเนิดสัญญาณรูปซายน์แบบใหม่

เอกสารนี้เป็นเอกสารที่สงวนไว้สำหรับการใช้งานเพื่อการศึกษาเท่านั้น ไม่อนุญาตให้นำไปใช้ประโยชน์ด้านการค้า
ไม่ว่ากรณีใดๆทั้งสิ้น อีกทั้งห้ามมิให้ตัดแปลงเนื้อหา และต้องอ้างอิงถึงเจ้าของเอกสารทุกครั้งที่มีการนำไปใช้

วงจรกำเนิดสัญญาณรูปซายน์แบบใหม่จะประกอบด้วย DCM_1 , CM_1 , CM_2 , Rg_1 , Rg_2 , Cg และ $B(s)$ ซึ่ง $B(s)$ จะเป็นเน็ตเวิร์คที่ประกอบด้วยตัวต้านทาน R จำนวน 3 ตัว และตัวเก็บประจุ C อีก 3 ตัว CM_1 และ CM_2 จะเป็นวงจรสะท้อนกระแสแบบวิลสัน [11] ซึ่งมีอัตราขยายกระแสเป็นหนึ่ง DCM_1 จะเป็นวงจรสะท้อนกระแสแบบตามผลต่างกระแส [11] ซึ่งได้นำเสนอไปแล้วในบทที่ 3 ตามลำดับ โดยที่ CM_1 และ CM_2 จะใช้ทรานซิสเตอร์เบอร์ 2N3906 และ DCM_1 จะใช้ทรานซิสเตอร์เบอร์ 2N3904 *Ibias* เป็นตัวกำหนดค่ากระแสไบอัสให้กับวงจร

เมื่อพิจารณา CM_1 , DCM_1 , Rg_1 , Rg_2 , และ Cg จะเป็นการต่อในลักษณะอัตราขยายกระแสทางเอซี [12] และจะพิจารณาไว้ดังต่อไปนี้

$$\frac{i_y}{2} = i_x + iRg_1 \quad (5.24)$$

และจากหลักการของ Current Divider จะได้

$$iRg_1 = \frac{Rg_2}{Rg_1 + Rg_2 + 2r_e + \frac{1}{Cgs}} \cdot \frac{i_y}{2} \quad (5.25)$$

ถ้าให้ $Cg \gg 1$ จะพบว่า $\frac{1}{Cgs} \cong 0$

นำสมการที่ (5.24) แทนค่าลงในสมการที่ (5.25) จะได้เป็น

$$\frac{i_y}{i_x} = 2 \left(1 + \frac{Rg_2}{Rg_1 + 2r_e} \right) \quad (5.26)$$

แต่ทิศทางของ i_y กลับทางกัน ดังนั้น

$$\frac{i_y}{i_x} = -2 \left(1 + \frac{Rg_2}{Rg_1 + 2r_e} \right) \quad (5.27)$$

และในวงจรเราจะใช้ CM_2 เป็นตัวกลับเฟสของสัญญาณให้ครบ 2π

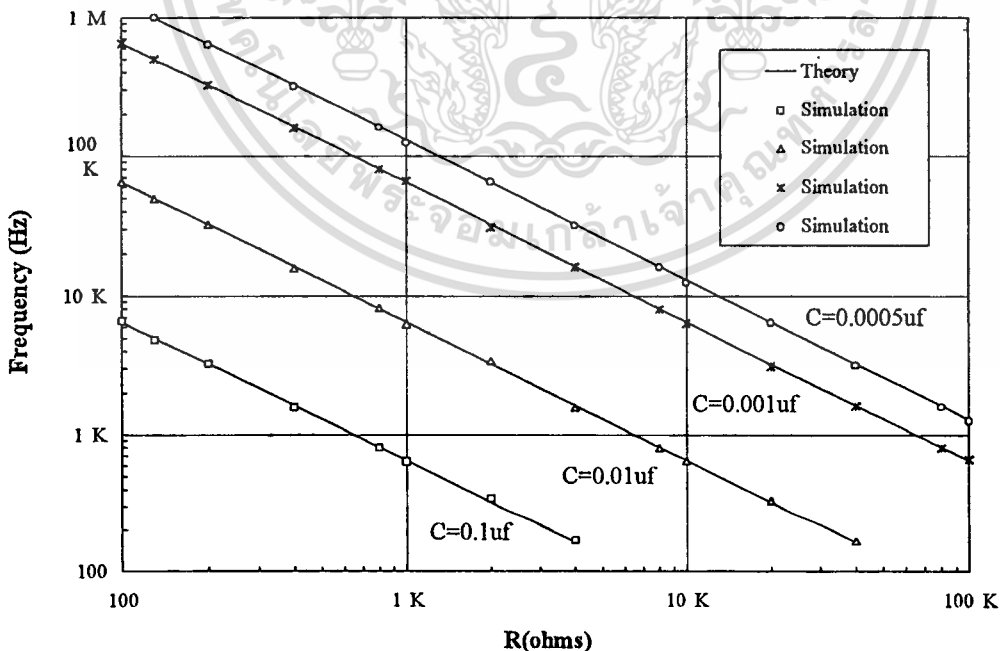
เอกสารนี้เป็นเอกสารที่สวอนไว้สำหรับการใช้งานเพื่อการศึกษาเท่านั้น ไม่อนุญาตให้นำไปใช้ประโยชน์ด้านการค้า
ไม่ว่ากรณีใดๆทั้งสิ้น อีกทั้งห้ามมิให้ตัดแปลงเนื้อหา และต้องอ้างอิงถึงเจ้าของเอกสารทุกครั้งที่มีการนำไปใช้

การทำงานของวงจรและผลการทดลอง

เริ่มจากการพิจารณาการไหลของกระแสในวงจรส่วนของเน็ทเวิร์ค $B(s)$ โดยให้ $-i_y$ ไหลเข้าโหนดที่ (1) และออกจากโหนดที่ (2) เป็น i_x ไหลเข้า DCM_1 ส่วน DCM_1 และ CM_1 ซึ่งต่อกันในลักษณะของวงจรขยายโดยอัตราการขยายกระแสจะกำหนดได้จากสมการที่ (5.10) และสมการที่ (5.27) กระแสที่ไหลออกจาก CM_1 แล้วไหลเข้า CM_2 เป็น i_y และจะไหลออกจาก CM_2 ก็จะครบรูป ซึ่งยังผลให้เฟสของสัญญาณรวมกันเป็นศูนย์พอดี แล้วลูปเกนก็มีค่าเป็นหนึ่ง จึงเกิดการออสซิลเลทสัญญาณรูปไซน์ได้

ข้อสังเกต เมื่อพิจารณาส่วนของเน็ทเวิร์ค $B(s)$ จะเห็นได้ว่า กระแสสลับ (AC current) จะสามารถไหลผ่านจากโหนด (1) มาโหนด (2) ได้ ส่วนกระแสตรง (DC current) สามารถแยกกระแสดีซีที่ทางออกและทางเข้าของวงจรโดยเด็ดขาด ในสภาวะนี้เองทำให้เกิดสภาวะการแฉกบึงของกระแสสลับซึ่งเป็นการเริ่มต้นของการออสซิลเลทนั่นเอง

ภาพที่ 24

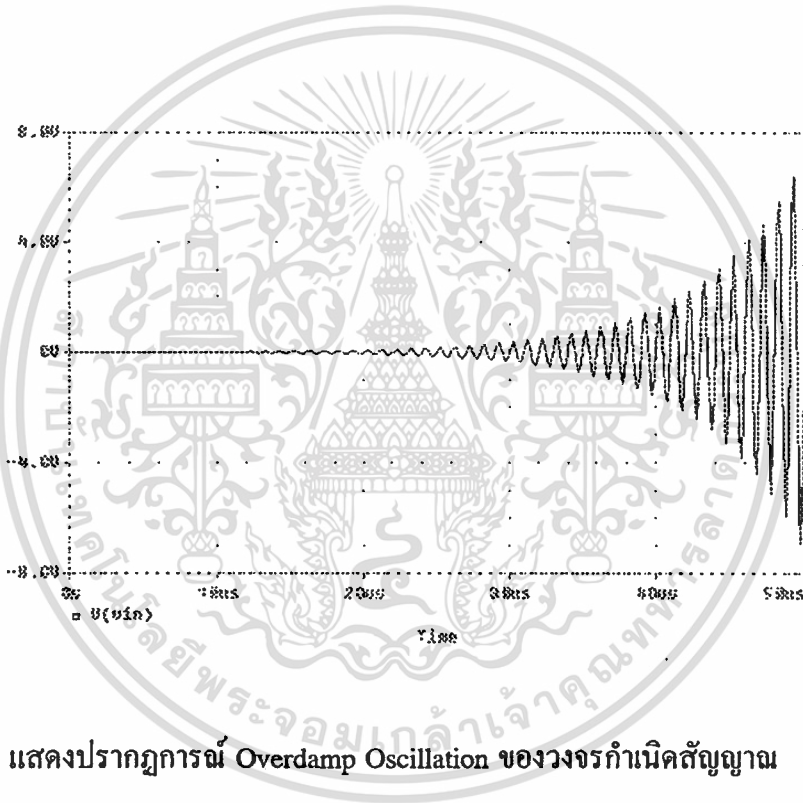


แสดงผลการทดลอง

เอกสารนี้เป็นเอกสารที่สงวนไว้สำหรับการใช้งานเพื่อการศึกษาเท่านั้น ไม่อนุญาตให้นำไปใช้ประโยชน์ด้านการค้า ไม่ว่าจะกรณีใดๆทั้งสิ้น อีกทั้งห้ามมิให้ดัดแปลงเนื้อหา และต้องอ้างอิงถึงเจ้าของเอกสารทุกครั้งที่มีการนำไปใช้

จากภาพที่ 24 แสดงถึงผลการทดลองที่ได้จากการคำนวณค่าความถี่ในการออสซิลเลทเทียบกับผลการขิมมูลเลขจะพบว่า ได้ผลตรงกับที่คาดหมายไว้ และวงจรยังสามารถทำงานได้จนถึงความถี่ประมาณ 1MHz โดยมีความถี่ในการออสซิลเลทเป็น $f = \frac{1}{2\pi\sqrt{6RC}}$ ซึ่งทำให้สูงกว่าแบบเก่าที่มีการต่อเน็ทเวิร์คแบบเดียวกัน

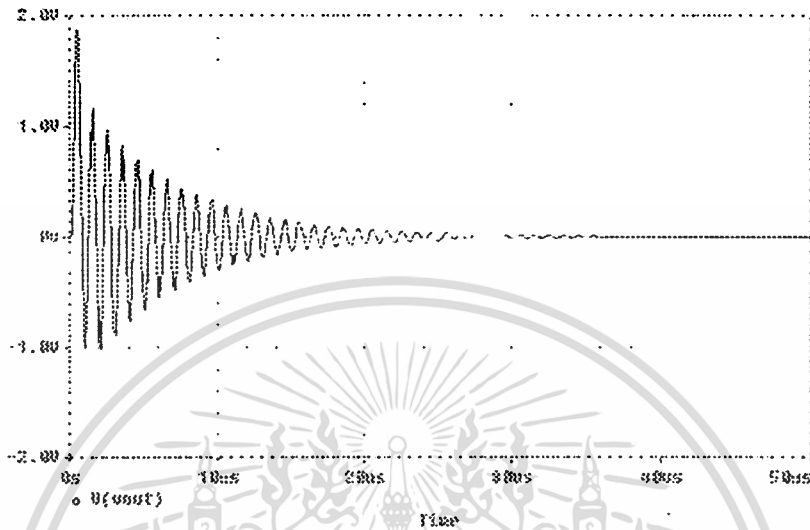
ภาพที่ 25



แสดงปรากฏการณ์ Overdamp Oscillation ของวงจรกำเนิดสัญญาณ

จากภาพที่ 25 จะสังเกตได้ว่า วงจรกำเนิดสัญญาณรูปชานน์ เกิดสถานะของ Overdamp Oscillation ซึ่งปรากฏการณ์ดังกล่าวจะเกิดขึ้นได้ก็ต่อเมื่อ $AB(s) > 1$ หรือรูปเกนการขยายของวงจรมีค่ามากกว่าหนึ่งนั่นเอง ซึ่งก็จะเป็นจุดเริ่มให้วงจรเกิดการออสซิลเลท

ภาพที่ 26



แสดงปรากฏการณ์ของ Underdamp Oscillation ของวงจรกำเนิดสัญญาณ

จากภาพที่ 26 จะสังเกตได้ว่า วงจรกำเนิดสัญญาณรูปชานน์ เกิดสถานะของ Underdamp Oscillation ซึ่งปรากฏการณ์ดังกล่าวจะเกิดขึ้นก็ต่อเมื่อ $AB(s) < 1$ หรือลูบเลนการขยายของวงจรมีค่าน้อยกว่าหนึ่ง และสุดท้ายจะยังผลให้วงจรถูกหยุดการอสซิชัน

บทสรุป

วงจรกำเนิดสัญญาณรูปชานน์แบบใหม่ ที่ใช้อุปกรณ์แอกทิฟเป็นวงจรถะท้อนกระแสและวงจรถะท้อนกระแสแบบตามผลต่างกระแส ซึ่งสามารถกำเนิดสัญญาณรูปชานน์ได้ความถี่สูงกว่าแบบเก่า โดยอาศัยหลักการเลื่อนเฟสของเน็ทเวิร์คเหมือนวงจรถะท้อนกระแสแบบเก่า รวมทั้งเซ็นซิวิตีของวงจรมีค่าต่ำทำให้เสถียรภาพของวงจรถะดี เหมาะที่จะนำมาใช้งานในทางปฏิบัติได้ เพราะเสถียรภาพด้านความถี่ของวงจรมิขึ้นอยู่กับการขยายกระแสของอุปกรณ์แอกทิฟ แต่ขึ้นอยู่กับค่าผิดพลาดของอุปกรณ์พาสซีฟ ในวงจรกำเนิดสัญญาณรูปชานน์แบบใหม่นี้ สามารถนำไปใช้งานได้ง่ายและยังสามารถใช้เป็นหลักการในการพัฒนาต่อไปอีก

บทที่ 6

สรุปผลการวิจัยและข้อเสนอแนะ

บทสรุปผลการวิจัย

วงจรมอเตอร์ฟีดแบ็ค 2 วงจร ที่ได้เสนอขึ้นในวิทยานิพนธ์นี้เป็นวงจรมอเตอร์ฟีดแบ็ค วงจรใหม่ที่ได้ทำการวิจัยและพัฒนาขึ้น การออกแบบวงจรจะใช้หลักการของวงจรรวมและการทำงานของวงจรมอเตอร์ฟีดแบ็คทั้ง 2 วงจรอยู่ในรูปของกระแส ความเที่ยงตรงและความแม่นยำของวงจรสามารถที่จะยืนยันได้ด้วยผลการวิเคราะห์ ผลการเลียนแบบการทำงานด้วยโปรแกรมคอมพิวเตอร์ PSpice วงจรออสซิลเลเตอร์แบบใหม่ใช้ไบโพลาร์ทรานซิสเตอร์เป็นองค์ประกอบสำคัญในวงจร ซึ่งจะต่อกันเป็นวงจรสะท้อนกระแส ส่วนวงจรความถี่ผ่านตลอดโดยใช้โอทีเอ 2 ตัว เป็นอุปกรณ์แอกทีฟ ซึ่งเมื่อพิจารณาภายในของวงจร โอทีเอจะพบว่าประกอบด้วยทรานซิสเตอร์ล้วนๆ ซึ่งในอนาคตสามารถนำไปสร้างเป็นวงจรรวมได้ และวงจรมีความง่ายในการทำงานที่กว้างกว่าวงจรแบบเก่าอีกด้วย

บทที่ 2 แสดงคุณสมบัติของวงจรแบบเก่า ที่ได้จากการสร้างเลียนแบบวงจรด้วย PSpice และสมการที่ได้จากการวิเคราะห์โหนด รวมทั้งผลของการ Simulation ซึ่งจะพบว่ามีความผิดพลาดค่อนข้างมากเมื่อทำงานที่ความถี่สูง

บทที่ 3 แสดงคุณสมบัติของวงจรสะท้อนกระแสแบบต่างๆที่ได้จากสมการการวิเคราะห์โหนด (node analysis)

บทที่ 4 วงจรเลื่อนเฟสโดยใช้กระแสชนิดความถี่ผ่านตลอดในลักษณะของกระแสโดยใช้โอทีเอ 2 ตัว แสดงการนำเอาโอทีเอมาทำเป็นวงจรความถี่ผ่านตลอด โดยค่าของการเลื่อนสามารถกำหนดได้จากตัวต้านทาน R และตัวเก็บประจุ C และวงจรมีความถี่ผ่านตลอดจาก 0° ถึง -180° และจาก 180° ถึง 0° โดยเพียงแค่สลับขาอินพุทของสัญญาณของ g_{m2} เพียงตัวเดียวเท่านั้น รวมทั้งแอมพลิจูดของสัญญาณทางด้านเอาต์พุท มีค่าคงที่ตลอดย่านความถี่

เอกสารนี้เป็นเอกสารที่สงวนไว้สำหรับการใช้งานเพื่อการศึกษาเท่านั้น ไม่อนุญาตให้นำไปใช้ประโยชน์ด้านการค้า ไม่ว่าจะกรณีใดๆทั้งสิ้น อีกทั้งห้ามมิให้ตัดแปลงเนื้อหา และต้องอ้างอิงถึงเจ้าของเอกสารทุกครั้งที่มีการนำไปใช้

บทที่ 5 แสดงการใช้วงจรสะท้อนกระแสเป็นตัวขยายสัญญาณของวงจรกำเนิดสัญญาณรูปไซน์ โดยมีตัวต้านทาน R ตัวเก็บประจุ C เป็นตัวเลื่อนเฟส และกำหนดความถี่ของการกำเนิดสัญญาณ โดยวงจรสามารถให้กำเนิดสัญญาณได้ที่มีความถี่สูงกว่าแบบเก่า โดยอาศัยวงจรสะท้อนกระแสและวงจรสะท้อนกระแสแบบผลต่างกระแสเป็นอุปกรณ์พาสซีฟในวงจร และเช่นชีวิตวิถีของวงจรมีค่าต่ำ

ปัญหาที่เกิดขึ้นและข้อเสนอแนะ

ในวงจรเลื่อนเฟสโดยใช้กระแสชนิดความถี่ผ่านตลอดในลักษณะของกระแส นั้น จะอาศัยโอทีเอเป็นอุปกรณ์หลักในการทำงานของวงจร ซึ่งเป็นโอทีเอชนิดที่ใช้ทรานซิสเตอร์แบบไบโพล่า เป็นหลักซึ่งยังมีข้อที่ควรจะต้องปรับปรุงอีกสองส่วน คือในส่วนแรกโดยปกติการแปรค่าอัตราขยายของโอทีเอจะมีผลทำให้เกิดกระแสออฟเซ็ทขึ้นที่จุดออกของโอทีเอ หรืออีกนัยหนึ่งก็คือศักดาออฟเซ็ทที่เกิดขึ้นระหว่างจุดขาเข้า (+) และจุดขาเข้า (-) ของโอทีเออาจไม่เท่ากันตามอุดมคติอันเนื่องมาจากความแตกต่างของกระแสที่ไหลผ่านคู่ทรานซิสเตอร์ที่ทำหน้าที่เป็นวงจรขยายความแตกต่างในตัวโอทีเอและส่วนที่สองจะเห็นค่าอัตราขยาย g_m ของโอทีเอที่มีค่าขึ้นอยู่กับศักดาความร้อน V_T ซึ่งจะให้อัตราขยาย g_m แปรตามอุณหภูมิ ในส่วนของการออกแบบตัววงจรโอทีเอเพื่อลดผลของศักดาออฟเซ็ทและผลของศักดาความร้อน V_T จึงเป็นแนวทางที่จะทำการวิจัยต่อไป

ในวงจรกำเนิดสัญญาณไซน์แบบใหม่ จะอาศัยวงจรสะท้อนกระแสเป็นอุปกรณ์ที่สำคัญในวงจร แต่จะพบปัญหาว่า วงจรสะท้อนกระแสจะมีกระแสที่ไหลออกจากทางด้านเอาต์พุทของวงจรมีค่าคลาดเคลื่อนจากอินพุทเล็กน้อย เนื่องจากทรานซิสเตอร์ไม่สมพจน์กัน แต่สามารถแก้ไขได้โดยการเลือกทรานซิสเตอร์ให้สมพจน์กันและเพิ่มทรานซิสเตอร์เข้าไปในส่วนของวงจรสะท้อนกระแส

บรรณานุกรม

กนก สมุทรรัตน์. การประยุกต์ใช้งานวงจรสะท้อนกระแส. วิทยานิพนธ์ปริญญาวิศวกรรมศาสตรมหาบัณฑิต. กรุงเทพฯ: บัณฑิตวิทยาลัย สถาบันเทคโนโลยีพระจอมเกล้าเจ้าคุณทหารลาดกระบัง. 2534.

กอบชัย เดชหาญ. วงจรที่เปลี่ยนแปลงคุณสมบัติได้โดยกระแส. วิทยานิพนธ์ปริญญาวิศวกรรมศาสตรมหาบัณฑิต. กรุงเทพฯ: บัณฑิตวิทยาลัย สถาบันเทคโนโลยีพระจอมเกล้าเจ้าคุณทหารลาดกระบัง. 2522.

สิงห์ทอง พัฒนเศรษฐานนท์, ศิริวัฒน์ ลิ้มไพบูลย์ และ พินัย จุลประภา. “วงจรวินทืออสซิลเลเตอร์แบบใหม่.” กวรวประชุมวิชาการวิศวกรรมไฟฟ้า ครั้งที่ 13. เชียงใหม่. หน้า 3-11, 8-9 พฤศจิกายน 2533.

A. Budak. “Passive and active network analysis and synthesis.” Houghton Mifflin, 1974.

A. Fabre and P. Rochegude. “Current processing circuits with translinear operational current amplifiers.” *Int. J. Electron.*, vol.63 (1987) pp 9-28.

A. Sedra and K.C. Smith. “A second generation current conveyor and its application.” *IEEE Trans. Circuits Syst.*, vol.17 (August 1968) pp. 1368-1369.

A. Sedra, K.C. Smith and G. Roberts. *Spice for microelectronic circuits*. Saunders College Publishing, 1992.

B. Wilson. “Differential current-follower and conveyor using new mirror formulation.” *Electron. Lett.*, vol.22 (June 1986) pp. 708-710.

B. Wilson. “Current-mirrors, amplifiers and dampers.” *Wireless World*, vol.78 (1981) pp. 47-50.

C. Tomuzou, F.J. Lidgley and C.A. Makris. “Extending voltage-mode op-amps to current-mode performance.” *Proc. IEE.*, vol. 137 (April 1990) pp. 166-180.

G.S. Moschytz and A. Caulesens. “A classification of current-mode Single-amplifier biquads based on a voltage-to-current transformation.” *IEEE Tran. Circuits Syst.*, vol.41 (February 1994) pp. 151-156.

J.E. Solomon. “The monolithic Op-amps : A tutorial study.” *IEEE J. Solid-State Circuit*, vol.SC-9, no.6, December 1974.

- K.C. Smith and A. Sedra. "The current conveyor-a new circuit building block." *Proc. IEEE (letters)*, vol.56 (1968) pp. 1368-1369.
- M. Higashimura and Y. Fukui. "Realization of current mode all-pass networks using a current conveyor." *IEEE Trans. Circuit Syst.*, vol.CAS-37 (may 1990) pp. 660-661.
- N.A. Shah and S.N. Ahmad. "Electronically tunable OTA based all-pass circuit." *Int. J. Electron.*, vol.68 (1990) pp. 963-966.
- P.R. Gray and R.G. Meyer. *Analysis and design of analog integrated circuits*. Wiley, New York, 1984.
- P.V. Mohan. "Generation of OTA-C filter structures from active RC filter structures." *IEEE Trans. Circuits Syst.*, vol.37 (may 1990) pp. 656-659.
- R.A. Gayakwad. "Op-Amps and Linear Integrated Circuit." Prentice Hall, Inc., 1988.
- R. Geiger, P. Allen and N. Strader. *VLSI Design techniques for analog and digital circuits*, McGRAW-HILL, 1990.
- R. Senani. "Novel circuit implemetation of current conveyors using on OA and OTA." *Elect. Letts.*, vol.16 (1980) pp 2-3.
- S. Pookaiyudom, K. Dejhan and C. Watanachaiprateep. "An integrable electronically variable phase shifter." *Proc. of IEEE*, vol.67, no.1 (january 1979) pp. 183-185.
- S. Pookaiyudom and K. Samootrut. "A differential-current electronically-variable current-mirror phase-shifter." *Int. J. Electron.*, vol.65 (1988) pp. 59-65.
- S. Pookaiyudom, K. Samootrut and W. Kurutach. "Current-mirros RC oscillators." *Int. J. Electron.*, vol.62 (1987) pp. 803-808.
- S. Pookaiyudom, P. Apichonbaucha and others. "Muple diode constant current sources." *IEEE J. Solid-State Circuit.*, vol.SC-12 (october 1977) pp. 587-588.
- S. Pookaiyudom, W. Surakamponorn and T. Kuhanont. "Integrable Electronically variable general-resistance converter-A versatile active circuit element." *IEEE Tran.Circuits Syst.*, vol.CAS-25, no.6 (june 1978) pp. 344-353.
- W. Surakamponorn, S. Jutaviriya and V. Riewruja. "OTA-based electronically tunable voltage-controlled resistance converter." *Int. J. Electron.*, vol.67 (1989) pp. 81-85.

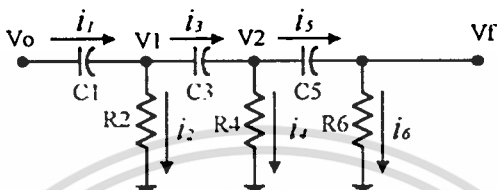


เอกสารนี้เป็นเอกสารที่สงวนไว้สำหรับการใช้งานเพื่อการศึกษาเท่านั้น ไม่อนุญาตให้นำไปใช้ประโยชน์ด้านการค้า
ไม่ว่ากรณีใดๆทั้งสิ้น อีกทั้งห้ามมิให้ดัดแปลงเนื้อหา และต้องอ้างอิงถึงเจ้าของเอกสารทุกครั้งที่มีการนำไปใช้

ภาคผนวก ก

บทวิเคราะห์เน็ทเวิร์คของวงจรกำเนิดสัญญาณรูปซายน์ด้วยวิธีเลื่อนเฟสในลักษณะแรงดัน

ภาพที่ 27



แสดงเน็ทเวิร์คของวงจรกำเนิดสัญญาณรูปซายน์ด้วยวิธีเลื่อนเฟส

เพื่อให้ง่ายต่อการหาสมการฟังก์ชันถ่ายโอน จะกำหนดให้

$$R_2=R_4=R_6=R \text{ และ } \frac{I}{C_1s} = \frac{I}{C_3s} = \frac{I}{C_5s} = \frac{I}{Cs}$$

จากกฎของเคอร์ชอฟ ที่ node V_1 เราจะได้

$$i_1 = i_2 + i_3$$

$$\frac{V_0 - V_1}{I/Cs} = \frac{V_1}{R} + \frac{V_1 - V_2}{I/Cs} \tag{ก.1}$$

$$V_1 = \frac{(V_0 + V_2)RCs}{2RCs + I} \tag{ก.2}$$

จากกฎของเคอร์ชอฟที่ node V_2 เราจะได้

$$i_3 = i_4 + i_5$$

$$\frac{V_1 - V_2}{I/Cs} = \frac{V_2}{R} + \frac{V_2 - V_3}{I/Cs} \tag{ก.3}$$

เอกสารนี้เป็นเอกสารที่สงวนไว้สำหรับการใช้งานเพื่อการศึกษาเท่านั้น ไม่อนุญาตให้นำไปใช้ประโยชน์ด้านการค้า
ไม่ว่ากรณีใดๆทั้งสิ้น อีกทั้งห้ามมิให้ตัดแปลงเนื้อหา และต้องอ้างอิงถึงเจ้าของเอกสารทุกครั้งที่มีการนำไปใช้

หาค่า V_1

$$V_1 = \frac{(2RCs+1)V_2}{RCs} - V_f \quad (ก.4)$$

จากกฎของ Voltage divider จะได้ว่า

$$V_f = \frac{R}{R+1/Cs} V_2 \quad (ก.5)$$

หรือ

$$V_2 = \frac{(RCs-1)V_f}{RCs} \quad (ก.6)$$

แทนค่า V_2 ลงในสมการที่ (ก.2)

$$V_1 = \frac{RCsV_0}{2RCs+1} + \frac{(RCs+1)V_f}{2RCs+1} \quad (ก.7)$$

แทนค่า V_2 ลงในสมการที่ (ก.4)

$$V_1 = \frac{(2RCs+1)(RCs+1)}{(RCs)(RCs)} V_f - V_f \quad (ก.8)$$

สมการที่ (ก.7) และสมการที่ (ก.8) มีค่าเท่ากันจะได้

$$\frac{RCsV_0 + (RCs+1)V_f}{2RCs+1} = \frac{(2RCs+1)(RCs+1)V_f - R^2C^2s^2V_f}{R^2C^2s^2}$$

$$V_0R^3C^3s^3 = (R^3C^3s^3 + 6R^2C^2s^2 + 5RCs + 1)V_f$$

$$\frac{V_0}{V_f} = \frac{R^3C^3s^3}{R^3C^3s^3 + 6R^2C^2s^2 + 5RCs + 1} \quad (ก.9)$$

จากสมการของการออสซิลเลท

$$AB(s) = 1 \quad (ก.10)$$

เอกสารนี้เป็นเอกสารที่สงวนไว้สำหรับการใช้งานเพื่อการศึกษาเท่านั้น ไม่อนุญาตให้นำไปใช้ประโยชน์ด้านการค้า
ไม่ว่ากรณีใดๆทั้งสิ้น อีกทั้งห้ามมิให้ตัดแปลงเนื้อหา และต้องอ้างอิงถึงเจ้าของเอกสารทุกครั้งที่มีการนำไปใช้

นำสมการที่ (ก.9) แทนค่าลงในสมการที่ (ก.10)

$$\frac{AR^3C^3s^3}{R^3C^3s^3 + 6R^2C^2s^2 + 5RCs + 1} = 1$$

$$R^3C^3s^3(A-1) + 5RCs = 6R^2C^2s^2 + 1 \quad (\text{ก.11})$$

จากสมการที่ (ก.11) สามารถแยกส่วนของ imaginary และ real ได้

$$6R^2C^2s^2 + 1 = 0 \quad (\text{ก.12})$$

$$s^2 = \frac{-1}{6R^2C^2} \quad (\text{ก.13})$$

$$\omega^2 = \frac{1}{6R^2C^2}$$

$$f = \frac{1}{2\pi\sqrt{6RC}} \quad (\text{ก.14})$$

$$R^3C^3s^3(A-1) - 5RCs = 0 \quad (\text{ก.15})$$

$$R^3C^3s^3(A-1) = 5RCs$$

$$R^2C^2s^2(A-1) = 5 \quad (\text{ก.16})$$

จากสมการที่ (ก.16) นำสมการที่ (ก.13) ไปแทนค่า

$$-\frac{R^2C^2(A-1)}{6R^2C^2} = 5$$

$$A = -29 \quad (\text{ก.17})$$

เอกสารนี้เป็นเอกสารที่สงวนไว้สำหรับการใช้งานเพื่อการศึกษาเท่านั้น ไม่อนุญาตให้นำไปใช้ประโยชน์ด้านการค้า
ไม่ว่ากรณีใดๆทั้งสิ้น อีกทั้งห้ามมิให้ตัดแปลงเนื้อหา และต้องอ้างอิงถึงเจ้าของเอกสารทุกครั้งที่มีการนำไปใช้

จากสมการที่ (ก.14) และสมการที่ (ก.17)

$$\text{ความถี่ในการออสซิลเลท } f = \frac{1}{2\pi\sqrt{6}RC}$$

เงื่อนไขในการออสซิลเลท $A = -29$



เอกสารนี้เป็นเอกสารที่สงวนไว้สำหรับการใช้งานเพื่อการศึกษาเท่านั้น ไม่อนุญาตให้นำไปใช้ประโยชน์ด้านการค้า
ไม่ว่ากรณีใดๆทั้งสิ้น อีกทั้งห้ามมิให้ตัดแปลงเนื้อหา และต้องอ้างอิงถึงเจ้าของเอกสารทุกครั้งที่มีการนำไปใช้

ภาคผนวก ข

บทวิเคราะห์วงจรสะท้อนกระแสแบบทรานซิสเตอร์ 3 ตัว

จากภาพที่ 9 เป็นวงจรสะท้อนกระแสแบบทรานซิสเตอร์ 3 ตัว ซึ่งสามารถหาค่าคุณสมบัติได้ดังนี้

คุณสมบัติทางกระแสไฟตรง

กำหนดให้ทรานซิสเตอร์ทุกตัวมีคุณสมบัติเหมือนกัน จากภาพที่ 9 หากกระแส I_{E3} ออกจากขาอิมิตเตอร์ของ Q_3 คือ

$$I_{E3} = I_{C1} + I_{B1} + I_{B2} = I_{C1} \left(1 + \frac{2}{\beta_F} \right) \quad (\text{ข.1})$$

ดังนั้น กระแสคอลเลกเตอร์ของ Q_3 คือ

$$I_{C3} = \left(\frac{\beta_F}{\beta_F + 1} \right) I_{E3} = I_{C1} \left(1 + \frac{2}{\beta_F} \right) \left(\frac{\beta_F}{\beta_F + 1} \right) \quad (\text{ข.2})$$

จัดสมการที่ (ข.2) ใหม่เป็น

$$I_{C1} = I_{C3} \left[\frac{1}{\left(1 + \frac{2}{\beta_F} \right) \left(\frac{\beta_F}{\beta_F + 1} \right)} \right] \quad (\text{ข.3})$$

กิตกระแสไฟตรงที่เบสของ Q_3

$$I_{C2} = I_{ref} - \frac{I_{C3}}{\beta_F} \quad (\text{ข.4})$$

เอกสารนี้เป็นเอกสารที่สงวนไว้สำหรับการใช้งานเพื่อการศึกษาเท่านั้น ไม่อนุญาตให้นำไปใช้ประโยชน์ด้านการค้า ไม่ว่าจะกรณีใดๆทั้งสิ้น อีกทั้งห้ามมิให้ตัดแปลงเนื้อหา และต้องอ้างอิงถึงเจ้าของเอกสารทุกครั้งที่มีการนำไปใช้

แต่ $I_{C1} = I_{C2}$ ดังนั้นสมการที่ (ข.3) เท่ากับสมการที่ (ข.4) และแก้สมการได้เป็น

$$I_{C2} = I_{ref} \left[1 - \frac{2}{\beta_F^2 + 2\beta_F + 2} \right] \quad (\text{ข.5})$$

คุณสมบัติทางกระแสไฟสถับ

จากภาพที่ 10 แสดงวงจรเสมือนของวงจรสะท้อนกระแสแบบทรานซิสเตอร์ 3 ตัว ซึ่งถ้าต่อจุดสัญญาณออกลงกราวด์เพื่อใช้อัตราขยายกระแสได้ดังนี้

ใช้วิธีวิเคราะห์โหนด (node analysis) สร้างสมการได้

$$\begin{bmatrix} \frac{I}{r_{\pi 3}} + \frac{I}{r_{o2}} + \frac{I}{r_{\mu 2}} + \frac{I}{r_{\mu 3}} + (c_{\pi 3} + c_{\mu 2} + c_{\mu 3})s & -\left(\frac{I}{r_{\pi 3}} + \frac{I}{r_{\mu 2}} + c_{\pi 3}s + c_{\mu 2}s\right) \\ -\left(\frac{I}{r_{\pi 3}} + \frac{I}{r_{\mu 2}} + c_{\pi 3}s + c_{\mu 2}s\right) & \frac{I}{R_1} + \frac{I}{r_{\pi 3}} + \frac{I}{r_{o3}} + \frac{I}{r_{\mu 2}} + (C_1 + c_{\pi 3} + c_{\mu 2})s \end{bmatrix}$$

$$\begin{bmatrix} V_{(1)} \\ V_{(2)} \end{bmatrix} = \begin{bmatrix} i_{in} - g_{m2}V_{(2)} \\ g_{m3}(V_{(1)} - V_{(2)}) \end{bmatrix}$$

ตัดเทอมที่มีผลต่อสมการน้อย และย้ายเทอมทางขวามือที่ขึ้นกับแรงดันโหนดต่างๆมาทางซ้ายได้

$$\begin{bmatrix} \frac{1}{r_{\pi 3}} + c_{\pi 3} s + c_{\mu 2} s + c_{\mu 3} s & -\left(-g_{m 2} + \frac{1}{r_{\pi 3}} + \frac{1}{r_{\mu 2}} + c_{\pi 3} s + c_{\mu 2} s\right) \\ -\left(g_{m 3} + \frac{1}{r_{\pi 3}} + c_{\pi 3} s + c_{\mu 2} s\right) & g_{m 3} + \frac{1}{R_1} + \frac{1}{r_{\pi 3}} + c_1 s + c_{\pi 3} s + c_{\mu 2} s \end{bmatrix}$$

$$\begin{bmatrix} V_{(1)} \\ V_{(2)} \end{bmatrix} = \begin{bmatrix} i_{in} \\ 0 \end{bmatrix}$$

(๗.6)

$$\begin{aligned} \Delta &= \left(\frac{1}{r_{\pi 3}} + c_{\pi 3} s + c_{\mu 2} s + c_{\mu 3} s\right) \left(g_{m 3} + \frac{1}{R_1} + \frac{1}{r_{\pi 3}} + c_1 s + c_{\pi 3} s + c_{\mu 2} s\right) \\ &\quad - \left(g_{m 3} + \frac{1}{r_{\pi 3}} + c_{\pi 3} s + c_{\mu 2} s\right) \left(-g_{m 2} + \frac{1}{r_{\pi 3}} + c_{\pi 3} s + c_{\mu 2} s\right) \\ \Delta &= \left(\frac{1}{r_{\pi 3}} + c_{\pi 3} s + c_{\mu 2} s + c_{\mu 3} s\right) g_{m 3} + \left(\frac{1}{r_{\pi 3}} + c_{\pi 3} s + c_{\mu 2} s + c_{\mu 3} s\right) \left(\frac{1}{R_1}\right) \\ &\quad + \left(\frac{1}{r_{\pi 3}} + c_{\pi 3} s + c_{\mu 2} s + c_{\mu 3} s\right) \left(\frac{1}{r_{\pi 3}}\right) + \left(\frac{1}{r_{\pi 3}} + c_{\pi 3} s + c_{\mu 2} s + c_{\mu 3} s\right) c_1 s \\ &\quad + \left(\frac{1}{r_{\pi 3}} + c_{\pi 3} s + c_{\mu 2} s + c_{\mu 3} s\right) c_{\pi 3} s + \left(\frac{1}{r_{\pi 3}} + c_{\pi 3} s + c_{\mu 2} s + c_{\mu 3} s\right) c_{\mu 2} s \\ &\quad + \left(g_{m 3} + \frac{1}{r_{\pi 3}} + c_{\pi 3} s + c_{\mu 2} s\right) g_{m 2} - \left(g_{m 3} + \frac{1}{r_{\pi 3}} + c_{\pi 3} s + c_{\mu 2} s\right) \left(\frac{1}{r_{\pi 3}}\right) \\ &\quad - \left(g_{m 3} + \frac{1}{r_{\pi 3}} + c_{\pi 3} s + c_{\mu 2} s\right) c_{\pi 3} s - \left(g_{m 3} + \frac{1}{r_{\pi 3}} + c_{\pi 3} s + c_{\mu 2} s\right) c_{\mu 2} s \end{aligned}$$

$$\begin{aligned} \Delta &= g_{m 2} g_{m 3} + \frac{1}{R_1 r_{\pi 3}} + \frac{g_{m 2}}{r_{\pi 3}} \\ &\quad + \left[g_{m 3} c_{\mu 3} + \frac{1}{R_1} (c_{\pi 3} + c_{\mu 2} + c_{\mu 3}) + \frac{1}{r_{\pi 3}} (c_1 + c_{\mu 3}) + g_{m 2} (c_{\pi 3} + c_{\mu 2}) \right] s \\ &\quad + [c_1 (c_{\pi 3} + c_{\mu 2} + c_{\mu 3}) + c_{\pi 3} c_{\mu 3} + c_{\mu 2} c_{\mu 3}] s^2 \end{aligned} \quad (๗.7)$$

เอกสารนี้เป็นเอกสารที่สงวนไว้สำหรับการใช้งานเพื่อการศึกษาเท่านั้น ไม่อนุญาตให้นำไปใช้ประโยชน์ด้านการค้า
ไม่ว่ากรณีใดๆทั้งสิ้น อีกทั้งห้ามมิให้ตัดแปลงเนื้อหา และต้องอ้างอิงถึงเจ้าของเอกสารทุกครั้งที่มีการนำไปใช้

จากภาพที่ 10 แทนค่า $\frac{I}{R_l} = g_{m1} + \frac{I}{r_{\pi 1}} + \frac{I}{r_{\pi 2}}$ และ $C_l = c_{\pi 3} + c_{\pi 2}$ ลงในสมการที่ (ข.7) ได้

$$\begin{aligned} \Delta = & g_{m2}g_{m3} + \frac{I}{r_{\pi 3}}(g_{m1} + g_{m2}) + \frac{I}{r_{\pi 3}}\left(\frac{I}{r_{\pi 1}} + \frac{I}{r_{\pi 2}}\right) + [g_{m3}c_{\mu 3} + g_{m1}(c_{\pi 3} + c_{\mu 2} + c_{\mu 3}) \\ & + \left(\frac{I}{r_{\pi 1}} + \frac{I}{r_{\pi 2}}\right)(c_{\pi 3} + c_{\mu 2} + c_{\mu 3}) + \frac{I}{r_{\pi 3}}(c_{\pi 1} + c_{\pi 2} + c_{\mu 3}) + g_{m2}(c_{\pi 3} + c_{\mu 2})]s + \\ & [(c_{\pi 1} + c_{\pi 2})(c_{\pi 3} + c_{\mu 2} + c_{\mu 3}) + c_{\pi 3}c_{\mu 3} + c_{\mu 2}c_{\mu 3}]s^2 \end{aligned} \quad (\text{ข.8})$$

เพื่อให้สมการดูง่ายขึ้นจะหาค่าประมาณของ Δ จากสมการที่ (ข.8) เนื่องจาก I_C ของทรานซิสเตอร์แต่ละตัวมีค่าใกล้เคียงกันมาก ดังนั้นคิดว่า g_m , r_{π} และ c_{π} ของทรานซิสเตอร์แต่ละตัวมีค่าเท่ากัน คือ

$$\begin{aligned} g_{m1} & \approx g_{m2} \approx g_{m3} = g_m \\ r_{\pi 1} & \approx r_{\pi 2} \approx r_{\pi 3} = r_{\pi} \\ c_{\pi 1} & \approx c_{\pi 2} \approx c_{\pi 3} = c_{\pi} \end{aligned} \quad (\text{ข.9})$$

ดังนั้น จากสมการที่ (ข.8) ได้

$$\begin{aligned} \Delta = & g_m^2 + 2\frac{g_m}{r_{\pi}} + \frac{2}{r_{\pi}^2} \\ & + \left[2g_m(c_{\pi} + c_{\mu 2} + c_{\mu 3}) + \frac{I}{r_{\pi}}(4c_{\pi} + 2c_{\mu 2} + 3c_{\mu 3}) \right]s \\ & + [c_{\pi}(2c_{\pi} + 2c_{\mu 2} + 3c_{\mu 3}) + c_{\mu 2}c_{\mu 3}]s^2 \end{aligned}$$

ตัดเทอมที่มีผลต่อสมการน้อยได้

$$\begin{aligned} \Delta \approx & g_m^2 + 2\frac{g_m}{r_{\pi}} + 2g_m(c_{\pi} + c_{\mu 2} + c_{\mu 3})s \\ & + [c_{\pi}(2c_{\pi} + 2c_{\mu 2} + 3c_{\mu 3}) + c_{\mu 2}c_{\mu 3}]s^2 \end{aligned} \quad (\text{ข.10})$$

เอกสารนี้เป็นเอกสารที่สงวนไว้สำหรับการใช้งานเพื่อการศึกษาเท่านั้น ไม่อนุญาตให้นำไปใช้ประโยชน์ด้านการค้า
ไม่ว่ากรณีใดๆทั้งสิ้น อีกทั้งห้ามมิให้ตัดแปลงเนื้อหา และต้องอ้างอิงถึงเจ้าของเอกสารทุกครั้งที่มีการนำไปใช้

จากสมการที่ (ข.6) หาแรงดันที่โหนด 1 และ โหนด 2 ด้วยวิธี Cramer's rule

$$(1) = \left\{ g_{m3} + \frac{1}{R_1} + \frac{1}{r_{\pi 3}} + C_1 s + c_{\pi 3} s + c_{\mu 2} s \right\} \left\{ \frac{i_{in}}{\Delta} \right\} \quad (\text{ข.11})$$

$$(2) = \left\{ g_{m3} + \frac{1}{r_{\pi 3}} + c_{\pi 3} s + c_{\mu 2} s \right\} \left\{ \frac{i_{in}}{\Delta} \right\} \quad (\text{ข.12})$$

จากภาพที่ 9 กระแสออก (i_o) คือ

$$\begin{aligned} i_o &= g_{m3}(V_{(1)} - V_{(2)}) - \left(\frac{1}{r_{\pi 3}} + c_{\mu 3} s \right) V_{(1)} - \left(\frac{1}{r_{o3}} \right) V_{(2)} \\ &\approx (g_{m3} - c_{\mu 3} s) V_{(1)} - g_{m3} V_{(2)} \end{aligned} \quad (\text{ข.13})$$

แทนค่า $V_{(1)}$ จากสมการที่ (ข.11) และ $V_{(2)}$ จากสมการที่ (ข.12) ลงในสมการที่ (ข.13) ได้

$$\begin{aligned} i_o &= \left\{ (g_{m3} - c_{\mu 3} s) \left(g_{m3} + \frac{1}{R_1} + \frac{1}{r_{\pi 3}} + C_1 s + c_{\pi 3} s + c_{\mu 2} s \right) \right. \\ &\quad \left. - g_{m3} \left(g_{m3} + \frac{1}{r_{\pi 3}} + c_{\pi 3} s + c_{\mu 2} s \right) \right\} \left\{ \frac{i_{in}}{\Delta} \right\} \\ i_o &= \left\{ \frac{g_{m3}}{R_1} + \left[g_{m3} C_1 - c_{\mu 3} \left(g_{m3} + \frac{1}{R_1} + \frac{1}{r_{\pi 3}} \right) \right] s - c_{\mu 3} (C_1 + c_{\pi 3} + c_{\mu 3}) s^2 \right\} \left\{ \frac{i_{in}}{\Delta} \right\} \end{aligned} \quad (\text{ข.14})$$

แทนค่า $\frac{1}{R_1} = g_{m1} + \frac{1}{r_{\pi 1}} + \frac{1}{r_{\pi 2}}$ และ $C_1 = c_{\pi 1} + c_{\pi 2}$ ลงในสมการที่ (ข.14)

$$\begin{aligned} i_o &= \left\{ g_{m1} g_{m3} + g_{m3} \left(\frac{1}{r_{\pi 1}} + \frac{1}{r_{\pi 2}} \right) + \left[g_{m3} (c_{\pi 1} + c_{\pi 2}) - c_{\mu 3} \left(g_{m3} + g_{m1} + \frac{1}{r_{\pi 1}} + \frac{1}{r_{\pi 2}} + \frac{1}{r_{\pi 3}} \right) \right] s \right. \\ &\quad \left. c_{\mu 3} (c_{\pi 1} + c_{\pi 2} + c_{\pi 3} + c_{\mu 2}) s \right\} \left\{ \frac{i_{in}}{\Delta} \right\} \end{aligned} \quad (\text{ข.15})$$

ใช้ค่าประมาณจากสมการที่ (ข.9) และ Δ จากสมการที่ (ข.10) แทนลงในสมการที่ (ข.15) และตัดเทอมที่มีผลต่อสมการน้อยได้

$$\frac{i_o}{i_{in}} = \left\{ g_m^2 + 2\frac{g_m}{r_\pi} + 2g_m(c_\pi - c_{\mu 3})s - c_{\mu 3}(3c_\pi + c_{\mu 2})s^2 \right\} / \left\{ g_m^2 + 2\frac{g_m}{r_\pi} + 2g_m(c_\pi + c_{\mu 2} + c_{\mu 3})s + [c_\pi(2c_\pi + 2c_{\mu 2} + 3c_{\mu 3}) + c_{\mu 2}c_{\mu 3}]s^2 \right\}$$

ดังนั้น ได้อัตราขยายกระแส (A_i) คือ

$$A_i = \frac{i_o}{i_{in}} = \left\{ 1 + \frac{2s}{g_m + \frac{2}{r_\pi}}(c_\pi - c_{\mu 3}) - \frac{c_{\mu 3}}{g_m \left(g_m + \frac{2}{r_\pi} \right)}(3c_\pi + c_{\mu 2})s^2 \right\} / \left\{ 1 + \frac{2s}{g_m + \frac{2}{r_\pi}}(c_\pi + c_{\mu 2} + c_{\mu 3}) + \frac{1}{g_m \left(g_m + \frac{2}{r_\pi} \right)}[c_\pi(2c_\pi + 2c_{\mu 2} + 3c_{\mu 3}) + c_{\mu 2}c_{\mu 3}]s^2 \right\} \quad (\text{ข.16})$$

เอกสารนี้เป็นเอกสารที่สงวนไว้สำหรับการใช้งานเพื่อการศึกษาเท่านั้น ไม่อนุญาตให้นำไปใช้ประโยชน์ด้านการค้า
ไม่ว่ากรณีใดๆทั้งสิ้น อีกทั้งห้ามมิให้ดัดแปลงเนื้อหา และต้องอ้างอิงถึงเจ้าของเอกสารทุกครั้งที่มีการนำไปใช้

ภาคผนวก ค

บทวิเคราะห์วงจรสะท้อนกระแสแบบทรานซิสเตอร์ 4 ตัว

จากภาพที่ 11 เป็นวงจรสะท้อนกระแสแบบทรานซิสเตอร์ 4 ตัว ซึ่งสามารถหาคคุณสมบัติได้ดังนี้

คุณสมบัติทางกระแสไฟตรง

กำหนดให้ทรานซิสเตอร์ทุกตัวมีคุณสมบัติเหมือนกัน จากภาพที่ 11 หากกระแส I_{E1} และ I_{E2} ออกจากขาอิมิตเตอร์ของ Q_1 และ Q_2 คือ

$$I_{E1} = I_{E2} \quad (ก.1)$$

$$I_{B1} + I_{C1} = I_{B2} + I_{C2} \quad (ก.2)$$

$$I_{E1} = I_{C1} + I_{B1} + I_{B2} \quad (ก.3)$$

เปลี่ยน I_{C1} ให้อยู่ในเทอมของ I_{C3} จะได้

$$I_{E1} = I_{C2} \left(1 + \frac{2}{\beta_F} \right) \quad (ก.4)$$

เมื่อ I_{C2} เท่ากับ I_{E4} ดังนั้น

$$\begin{aligned} I_{E3} &= I_{E4} \left(1 + \frac{2}{\beta_F} \right) \\ I_{C3} + I_{B3} &= (I_{C4} + I_{B4}) \left(1 + \frac{2}{\beta_F} \right) \end{aligned} \quad (ก.5)$$

เปลี่ยน I_{C4} ให้อยู่ในเทอมของ I_{ref} ได้

$$I_{C3} + I_{B3} = (I_{ref} - I_{B3}) \left(1 + \frac{2}{\beta_F} \right) \quad (ก.6)$$

เอกสารนี้เป็นเอกสารที่สงวนไว้สำหรับการใช้งานเพื่อการศึกษาเท่านั้น ไม่อนุญาตให้นำไปใช้ประโยชน์ด้านการค้า
ไม่ว่ากรณีใดๆทั้งสิ้น อีกทั้งห้ามมิให้ตัดแปลงเนื้อหา และต้องอ้างอิงถึงเจ้าของเอกสารทุกครั้งที่มีการนำไปใช้

จัดรูปสมการใหม่ได้เป็น

$$\begin{aligned}
 I_{C3} + I_{B3} + I_{B3} \left(1 + \frac{2}{\beta_F} \right) &= I_{ref} \left(1 + \frac{2}{\beta_F} \right) \\
 I_{C3} (\beta_F^2 + 2\beta_F + 2) &= I_{ref} (\beta_F^2 + 2\beta_F) \\
 I_{C3} &= I_{ref} \left(1 - \frac{2}{\beta_F^2 + 2\beta_F + 2} \right) \quad (ก.7)
 \end{aligned}$$

คุณสมบัติทางกระแสไฟสถับ

จากภาพที่ 12 แสดงวงจรเสมือนของวงจรสะท้อนกระแสแบบทรานซิสเตอร์ 4 ตัว ซึ่งถ้าต่อจุดสัญญาณออกกลางกราวด์เพื่อใช้หาอัตราขยายกระแสได้ดังนี้

ใช้วิธีวิเคราะห์โหนด (node analysis) สร้างสมการได้

$$\begin{bmatrix}
 \frac{1}{R_4} + \frac{1}{r_{p3}} + \frac{1}{r_{m3}} + (C_4 + C_{p3} + C_{m3})s & -\left(\frac{1}{R_4} + C_4\right)s & -\left(\frac{1}{r_{p3}} + C_{p3}\right)s \\
 -\left(\frac{1}{R_4} + C_4\right)s & \frac{1}{R_4} + \frac{1}{r_{o2}} + \frac{1}{r_{m2}} + (C_4 + C_{m2})s & -\left(\frac{1}{r_{m2}} + C_{m2}\right)s \\
 -\left(\frac{1}{r_{p3}} + C_{p3}\right)s & -\left(\frac{1}{r_{m2}} + C_{m2}\right)s & \frac{1}{R_1} + \frac{1}{r_{m2}} + \frac{1}{r_{o3}} + \frac{1}{r_{p3}} + (C_1 + C_{p3} + C_{m2})s
 \end{bmatrix}$$

$$\begin{bmatrix}
 V_{(1)} \\
 V_{(2)} \\
 V_{(3)}
 \end{bmatrix}
 =
 \begin{bmatrix}
 i_{in} \\
 g_{m2}V_{(3)} \\
 g_{m3}(V_{(1)} - V_{(3)})
 \end{bmatrix} \quad (ก.8)$$

แทนค่า R_1, R_4, C_1, C_4 และตัดเทอมที่มีผลต่อสมการน้อย แล้วย้ายเทอมที่ขึ้นกับแรงดันโหนดมาทางซ้ายของสมการได้

เอกสารนี้เป็นเอกสารที่สงวนไว้สำหรับการใช้งานเพื่อการศึกษาเท่านั้น ไม่อนุญาตให้นำไปใช้ประโยชน์ด้านการค้า ไม่ว่าจะกรณีใดๆทั้งสิ้น อีกทั้งห้ามมิให้ตัดแปลงเนื้อหา และต้องอ้างอิงถึงเจ้าของเอกสารทุกครั้งที่มีการนำไปใช้

$$\begin{bmatrix} g_m + \frac{2}{r_\pi} + (2c_\pi + c_{\mu 3})s & -\left(g_m + \frac{1}{r_\pi} + c_\pi s\right) & -\left(\frac{1}{r_\pi} + c_\pi s\right) \\ -\left(g_m + \frac{1}{r_\pi} + c_\pi s\right) & g_m + \frac{1}{r_\pi} + (c_\pi + c_{\mu 2})s & -(-g_m + c_{\mu 2}s) \\ -\left(g_m + \frac{1}{r_\pi} + c_\pi s\right) & -\left(\frac{1}{r_\pi} + c_{\mu 2}s\right) & 2g_m + \frac{3}{r_\pi} + (3c_\pi + c_{\mu 2})s \end{bmatrix}$$

$$\begin{bmatrix} V_{(1)} \\ V_{(2)} \\ V_{(3)} \end{bmatrix} = \begin{bmatrix} i_{in} \\ 0 \\ 0 \end{bmatrix} \quad (ก.9)$$

หาดีเทอร์มิแนนต์ (Δ) ได้

$$\begin{aligned} \Delta = & g_m^3 + 3\frac{g_m^2}{r_\pi} + 4\frac{g_m}{r_\pi^2} + \frac{2}{r_\pi^3} + \frac{g_m}{r_\pi r_{\mu 2}} + \frac{g_m^2}{r_{\mu 2}} - \frac{1}{r_\pi^2 r_{\mu 2}} + \left\{ g_m^2(3c_\pi + 2c_{\mu 2} + 2c_{\mu 3}) \right. \\ & + g_m \left[\frac{1}{r_\pi}(8c_\pi + 6c_{\mu 2} + 5c_{\mu 3}) + \frac{1}{r_{\mu 2}}(c_\pi - c_{\mu 2} + c_{\mu 3}) \right] + \frac{1}{r_\pi^2}(6c_\pi + 4c_{\mu 2} + 3c_{\mu 3}) \\ & \left. - \frac{2}{r_\pi r_{\mu 2}}(c_\pi + c_{\mu 2}) \right\} s \\ & + \left\{ g_m(4c_\pi^2 + 6c_\pi c_{\mu 2} + 5c_\pi c_{\mu 3} + 4c_\pi c_{\mu 3}) + \frac{1}{r_\pi}(3c_\pi^2 + 4c_\pi c_{\mu 2} + 6c_\pi c_{\mu 3} \right. \\ & \left. + 4c_{\mu 2} c_{\mu 3} - c_{\mu 2}^2) - \frac{1}{r_{\mu 2}}(c_\pi^2 + 2c_\pi c_{\mu 2} + c_\pi c_{\mu 3}) \right\} s^2 \\ & + (2c_\pi^3 + 4c_\pi^2 c_{\mu 2} + 3c_\pi^2 c_{\mu 3} + 4c_\pi c_{\mu 2} c_{\mu 3}) s^3 \end{aligned} \quad (ก.10)$$

เอกสารนี้เป็นเอกสารที่สงวนไว้สำหรับการใช้งานเพื่อการศึกษาเท่านั้น ไม่อนุญาตให้นำไปใช้ประโยชน์ด้านการค้า
ไม่ว่ากรณีใดๆทั้งสิ้น อีกทั้งห้ามมิให้ตัดแปลงเนื้อหา และต้องอ้างอิงถึงเจ้าของเอกสารทุกครั้งที่มีการนำไปใช้

จากสมการที่ (ค.10) เมื่อตัดเทอมที่มีผลต่อสมการน้อยได้

$$\begin{aligned} \Delta \approx & g_m^3 + 3\frac{g_m^2}{r_\pi} + g_m^2(3c_\pi + 2c_{\mu 2} + 2c_{\mu 3})s \\ & + g_m[c_\pi(4c_\pi + 6c_{\mu 2} + 5c_{\mu 3}) + 4c_{\mu 2}c_{\mu 3}]s^2 \\ & c_\pi[c_\pi(2c_\pi + 4c_{\mu 2} + 3c_{\mu 3}) + 4c_{\mu 2}c_{\mu 3}]s^3 \end{aligned} \quad (\text{ค.11})$$

จากภาพที่ 11 และสมการที่ (ค.9) หาแรงดันที่โหนด 1 ได้

$$\begin{aligned} (1) = & \left\{ \left[g_m + \frac{1}{r_\pi} + (c_\pi + c_{\mu 2})s \right] \left[2g_m + \frac{3}{r_\pi} + (3c_\pi + c_{\mu 2})s \right] \right. \\ & \left. - \left(\frac{1}{r_{\mu 2}} + c_{\mu 2}s \right) (-g_m + c_{\mu 2}s) \right\} \left\{ \frac{i_{in}}{\Delta} \right\} \end{aligned} \quad (\text{ค.12})$$

กระจายเทอมในสมการที่ (ค.12) ออกได้เป็น

$$\begin{aligned} (1) = & \left\{ 2g_m^2 + 5\frac{g_m}{r_\pi} + \frac{3}{r_\pi^2} + \frac{g_m}{r_{\mu 2}} + \left[g_m(5c_\pi + 4c_{\mu 2}) + \frac{1}{r_\pi}(6c_\pi + 4c_{\mu 2}) \right. \right. \\ & \left. \left. - \frac{c_{\mu 2}}{r_{\mu 2}} \right] s + c_\pi(3c_\pi + 4c_{\mu 2})s^2 \right\} \left\{ \frac{i_{in}}{\Delta} \right\} \end{aligned} \quad (\text{ค.13})$$

จากสมการที่ (ค.13) ตัดเทอมที่มีผลต่อสมการน้อยได้

$$(1) \approx \left\{ 2g_m^2 + 5\frac{g_m}{r_\pi} + g_m(5c_\pi + 4c_{\mu 2})s + c_\pi(3c_\pi + 4c_{\mu 2})s^2 \right\} \left\{ \frac{i_{in}}{\Delta} \right\} \quad (\text{ค.14})$$

จากภาพที่ 11 และสมการที่ (ค. 9) หาแรงดันที่โหนด 3 ได้

$$\begin{aligned} (3) = & \left\{ \left[g_m + \frac{1}{r_\pi} + c_\pi s \right] \left[\frac{1}{r_{\mu 2}} + c_{\mu 2}s \right] + \left[g_m + \frac{1}{r_\pi} + c_\pi s \right] \right. \\ & \left. g_m + \frac{1}{r_\pi} + (c_\pi + c_{\mu 2})s \right\} \left\{ \frac{i_{in}}{\Delta} \right\} \end{aligned} \quad (\text{ค.15})$$

เอกสารนี้เป็นเอกสารที่สงวนไว้สำหรับการใช้งานเพื่อการศึกษาเท่านั้น ไม่อนุญาตให้นำไปใช้ประโยชน์ด้านการค้า
ไม่ว่ากรณีใดๆทั้งสิ้น อีกทั้งห้ามมิให้ตัดแปลงเนื้อหา และต้องอ้างอิงถึงเจ้าของเอกสารทุกครั้งที่มีการนำไปใช้

กระจายเทอมในสมการที่ (ค.15) ออกได้เป็น

$$(3) = \left\{ g_m^2 + 2\frac{g_m}{r_\pi} + \frac{1}{r_\pi^2} + \frac{g_m}{r_{\mu 2}} + \frac{1}{r_\pi r_{\mu 2}} + \left[2g_m(c_\pi + c_{\mu 2}) + \frac{2}{r_\pi}(c_\pi + c_{\mu 2}) + \frac{c_\pi}{r_{\mu 2}} \right] s + c_\pi(c_\pi + 2c_{\mu 2})s^2 \right\} \left\{ \frac{i_{in}}{\Delta} \right\} \quad (ค.16)$$

จากสมการที่ (ค.16) ตัดเทอมที่มีผลต่อสมการน้อยได้

$$(3) \approx \left\{ g_m^2 + 2\frac{g_m}{r_\pi} + 2g_m(c_\pi + c_{\mu 2})s + c_\pi(c_\pi + 2c_{\mu 2})s^2 \right\} \left\{ \frac{i_{in}}{\Delta} \right\} \quad (ค.17)$$

จากภาพที่ 11 กระแสออก (i_o) คือ

$$i_o = g_m(V_{(1)} - V_{(3)}) - \left(\frac{1}{r_{\mu 3}} + c_{\mu 3}s \right) V_{(1)} - \left(\frac{1}{r_{o3}} \right) V_{(3)} \\ \approx (g_m - c_{\mu 3}s)V_{(1)} - g_m V_{(3)} \quad (ค.18)$$

แทนค่า (1) จากสมการที่ (ค.14) และ (3) จากสมการที่ (ค.17) ในสมการที่ (ค.18) ได้

$$i_o = \left\{ g_m^3 + 3\frac{g_m^2}{r_\pi} + \left[g_m^2(3c_\pi + 2c_{\mu 2} - 2c_{\mu 3}) - 5g_m \frac{c_{\mu 3}}{r_\pi} \right] s + g_m \left[c_\pi(2c_\pi + 2c_{\mu 2} - 5c_{\mu 3}) - 4c_{\mu 2}c_{\mu 3} \right] s^2 - c_\pi c_{\mu 3}(3c_\pi + 4c_{\mu 2})s^3 \right\} \left\{ \frac{i_{in}}{\Delta} \right\} \quad (ค.19)$$

หาค่าโดยประมาณของสมการที่ (ค.19) และแทน Δ จากสมการที่ (ค.11) ได้อัตราขยายกระแส (A) คือ

เอกสารนี้เป็นเอกสารที่สงวนไว้สำหรับการใช้งานเพื่อการศึกษาเท่านั้น ไม่อนุญาตให้นำไปใช้ประโยชน์ด้านการค้า ไม่ว่าจะกรณีใดๆ ทั้งสิ้น อีกทั้งห้ามมิให้ตัดแปลงเนื้อหา และต้องอ้างอิงถึงเจ้าของเอกสารทุกครั้งที่มีการนำไปใช้

$$\begin{aligned}
 A_i = \frac{i_o}{i_{in}} = & \left\{ g_m^3 + 3 \frac{g_m^2}{r_\pi} + g_m^2 (3c_\pi + 2c_{\mu 2} - 2c_{\mu 3}) s \right. \\
 & + g_m [c_\pi (2c_\pi + 2c_{\mu 2} - 5c_{\mu 3}) - 4c_{\mu 2} c_{\mu 3}] s^2 \\
 & \left. - c_\pi c_{\mu 3} (3c_\pi + 4c_{\mu 2}) s^3 \right\} / \\
 & \left\{ g_m^3 + 3 \frac{g_m^2}{r_\pi} + g_m^2 (3c_\pi + 2c_{\mu 2} - 2c_{\mu 3}) s \right. \\
 & + g_m [c_\pi (4c_\pi + 6c_{\mu 2} - 5c_{\mu 3}) + 4c_{\mu 2} c_{\mu 3}] s^2 \\
 & \left. + c_\pi [c_\pi (2c_\pi + 4c_{\mu 2} - 3c_{\mu 3}) + 4c_{\mu 2} c_{\mu 3}] s^3 \right\} \quad (ท.20)
 \end{aligned}$$

$$\begin{aligned}
 A_i = & \left\{ I + \frac{I}{2} \frac{3c_\pi + 2c_{\mu 2} - 2c_{\mu 3}}{g_m + \frac{1}{r_\pi}} s \right. \\
 & + \frac{I}{g_m \left(g_m + \frac{3}{r_\pi} \right)} [c_\pi (2c_\pi + 2c_{\mu 2} - 5c_{\mu 3}) - 4c_{\mu 2} c_{\mu 3}] s^2 \\
 & \left. - \frac{c_\pi c_{\mu 3}}{g_m^2 \left(g_m + \frac{3}{r_\pi} \right)} (4c_\pi + 4c_{\mu 2}) s^3 \right\} / \\
 & \left\{ I + \frac{I}{2} \frac{3c_\pi + 2c_{\mu 2} + 2c_{\mu 3}}{g_m + \frac{1}{r_\pi}} s \right. \\
 & + \frac{I}{g_m \left(g_m + \frac{3}{r_\pi} \right)} [c_\pi (4c_\pi + 6c_{\mu 2} + 5c_{\mu 3}) + 4c_{\mu 2} c_{\mu 3}] s^2 \\
 & \left. + \frac{c_\pi}{g_m^2 \left(g_m + \frac{3}{r_\pi} \right)} [c_\pi (2c_\pi + 4c_{\mu 2} + 3c_{\mu 3}) + 4c_{\mu 2} c_{\mu 3}] s^3 \right\} \quad (ท.21)
 \end{aligned}$$

เอกสารนี้เป็นเอกสารที่สงวนไว้สำหรับการใช้งานเพื่อการศึกษาเท่านั้น ไม่อนุญาตให้นำไปใช้ประโยชน์ด้านการค้า
ไม่ว่ากรณีใดๆทั้งสิ้น อีกทั้งห้ามมิให้ตัดแปลงเนื้อหา และต้องอ้างอิงถึงเจ้าของเอกสารทุกครั้งที่มีการนำไปใช้

ภาคผนวก ง

บทวิเคราะห์วงจรสะท้อนกระแสความแตกต่างสองสัญญาณเข้า

จากภาพที่ 13 เป็นวงจรสะท้อนกระแสความแตกต่างสองสัญญาณเข้า ซึ่งสามารถหาคุณสมบัติได้ดังนี้

คุณสมบัติทางกระแสไฟตรง

เนื่องจากวงจรสะท้อนกระแสความแตกต่างสองสัญญาณเข้า ประกอบด้วยทรานซิสเตอร์ 4 ตัว และที่จุดสัญญาณเข้าทั้งสอง กำหนดไว้ว่าจะให้กระแสสลับไหลเข้าได้อย่างเดียว ดังนั้นจึงไม่มีผลต่อคุณสมบัติทางกระแสไฟตรง ซึ่งทำให้วงจรมีลักษณะเหมือนกับวงจรสะท้อนกระแสแบบทรานซิสเตอร์ 4 ตัว ยังผลให้สมการของอัตราขยายกระแสทางไฟตรงเป็น [ภาคผนวก ก]

$$I_{C3} = I_{ref} \left(1 - \frac{2}{\beta_F^2 + 2\beta_F + 2} \right) \quad (ง.1)$$

ซึ่งเหมือนกับแบบของวงจรสะท้อนกระแสแบบทรานซิสเตอร์ 4 ตัว

คุณสมบัติทางกระแสไฟสลับ

จากภาพที่ 14 แสดงวงจรเสมือนของวงจรสะท้อนกระแสแบบความแตกต่างสองสัญญาณเข้า เนื่องจากวงจรเป็นวงจรเดียวกับใน ภาคผนวก ค เพียงแต่เพิ่มกระแสเข้า i_{in2} ที่โหนด 3 ดังนั้นอัตราขยายกระแส i_o ต่อ i_{in1} ได้หาไว้แล้วในภาคผนวก ค พิจารณาอัตราขยายกระแสของ i_o ต่อ i_{in2} สร้างสมการได้

$$\begin{bmatrix} g_{m2} + \frac{2}{r_\pi} + (2c_\pi + c_{\mu3})s & -\left(g_m + \frac{I}{r_\pi} + c_\pi s\right) & -\left(\frac{I}{r_\pi} + c_\pi s\right) \\ -\left(g_m + \frac{I}{r_\pi} + c_\pi s\right) & g_m + \frac{I}{r_\pi} + (c_\pi + c_{\mu2})s & -(-g_m + c_{\mu2}s) \\ -\left(g_m + \frac{I}{r_\pi} + c_\pi s\right) & -\left(\frac{I}{r_{\mu2}} + c_{\mu2}s\right) & 2g_m + \frac{3}{r_\pi} + (3c_\pi + c_{\mu2})s \end{bmatrix}$$

$$\begin{bmatrix} V_{(1)} \\ V_{(2)} \\ V_{(3)} \end{bmatrix} = \begin{bmatrix} 0 \\ 0 \\ i_{in2} \end{bmatrix} \quad (3.2)$$

และดีเทอมิแนนท์ (Δ) เป็นค่าเดียวกับสมการที่ (ค.11) จากสมการที่ (ง.2) หาแรงดันที่โหนด 1 และโหนด 3 ได้เป็นสมการที่ (ง.3) และสมการที่ (ง.4) ตามลำดับ

$$1 = \left\{ -g_m^2 + \frac{I}{r_\pi^2} + \left[g_m c_{\mu2} + \frac{2}{r_\pi} (c_\pi + c_{\mu2}) \right] s + c_\pi (c_\pi + 2c_{\mu2}) s^2 \right\} \left\{ \frac{i_{in2}}{\Delta} \right\} \quad (3.3)$$

$$3 = \left\{ \frac{g_m}{r_\pi} + \frac{I}{r_\pi^2} + \left[g_m (c_\pi + c_{\mu2} + c_{\mu3}) + \frac{I}{r_\pi} (2c_\pi + 2c_{\mu2} + c_{\mu3}) s \right] s \right. \\ \left. + [c_\pi (c_\pi + 2c_{\mu2} + c_{\mu3}) + c_{\mu2} c_{\mu3}] s^2 \right\} \left\{ \frac{i_{in2}}{\Delta} \right\} \quad (3.4)$$

จากภาพที่ 13 จะกำหนดให้กระแส i_o ที่ไหลเข้าโหนดลงกราวด์ ซึ่งสามารถหากระแสออก (i_o) ได้เป็น

$$i_o = g_m (V_{(1)} - V_{(3)}) - \left(\frac{I}{r_{\mu3}} + c_{\mu3} s \right) V_{(1)} - \left(\frac{I}{r_{o3}} \right) V_{(3)} \\ i_o \approx (g_m - c_{\mu3} s) V_{(1)} - g_m V_{(3)} \quad (3.5)$$

เอกสารนี้เป็นเอกสารที่สงวนไว้สำหรับการใช้งานเพื่อการศึกษาเท่านั้น ไม่อนุญาตให้นำไปใช้ประโยชน์ด้านการค้า
ไม่ว่ากรณีใดๆทั้งสิ้น อีกทั้งห้ามมิให้ตัดแปลงเนื้อหา และต้องอ้างอิงถึงเจ้าของเอกสารทุกครั้งที่มีการนำไปใช้

แทนค่า $V_{(1)}$ จากสมการที่ (ง.3) $V_{(3)}$ จากสมการที่ (ง.4) และ Δ จากสมการที่ (ก.11) ลงในสมการที่ (ง.5) หาอัตราขยายกระแสได้

$$\begin{aligned}
 A_{i2} &= \frac{i_o}{i_{in2}} = - \left\{ g_m^3 + \frac{g_m^2}{r_\pi} + g_m \left(g_m c_\pi + \frac{c_{\mu 3}}{r_\pi} \right) s \right. \\
 &\quad + \left[g_m c_{\mu 3} (c_\pi + 2c_{\mu 2}) + 2 \frac{c_{\mu 3}}{r_\pi} (c_\pi + c_{\mu 2}) \right] s^2 \\
 &\quad \left. + c_\pi c_{\mu 3} (c_\pi + 2c_{\mu 2}) s^3 \right\} / \\
 &\quad \left\{ g_m^3 + 3 \frac{g_m^2}{r_\pi} + g_m^2 (3c_\pi + 2c_{\mu 2} + 2c_{\mu 3}) s \right. \\
 &\quad + g_m \left[c_\pi (4c_\pi + 6c_{\mu 2} + 5c_{\mu 3}) + 4c_{\mu 2} c_{\mu 3} \right] s^2 \\
 &\quad \left. + c_\pi \left[c_\pi (2c_\pi + 4c_{\mu 2} + 3c_{\mu 3}) + 4c_{\mu 2} c_{\mu 3} \right] s^3 \right\} \\
 A_{i2} &= - \left\{ \frac{g_m + \frac{1}{r_\pi}}{g_m + \frac{3}{r_\pi}} + \frac{1}{g_m \left(g_m + \frac{3}{r_\pi} \right)} \left(g_m c_\pi + \frac{c_{\mu 3}}{r_\pi} \right) s \right. \\
 &\quad + \frac{1}{g_m^2 \left(g_m + \frac{3}{r_\pi} \right)} \left[g_m c_{\mu 3} (c_\pi + 2c_{\mu 2}) + 2 \frac{c_{\mu 3}}{r_\pi} (c_\pi + c_{\mu 2}) \right] s^2 \\
 &\quad \left. + \frac{c_\pi c_{\mu 3}}{g_m^2 \left(g_m + \frac{3}{r_\pi} \right)} (c_\pi + 2c_{\mu 2}) s^3 \right\} / \\
 &\quad \left\{ 1 + \frac{1}{g_m + \frac{3}{r_\pi}} (3c_\pi + 2c_{\mu 2} + 2c_{\mu 3}) s \right. \\
 &\quad + \frac{1}{g_m \left(g_m + \frac{3}{r_\pi} \right)} \left[c_\pi (4c_\pi + 6c_{\mu 2} + 5c_{\mu 3}) + 4c_{\mu 2} c_{\mu 3} \right] s^2 \\
 &\quad \left. + \frac{c_\pi}{g_m^2 \left(g_m + \frac{3}{r_\pi} \right)} \left[c_\pi (2c_\pi + 4c_{\mu 2} + 3c_{\mu 3}) + 4c_{\mu 2} c_{\mu 3} \right] s^3 \right\} \quad (ง.6)
 \end{aligned}$$

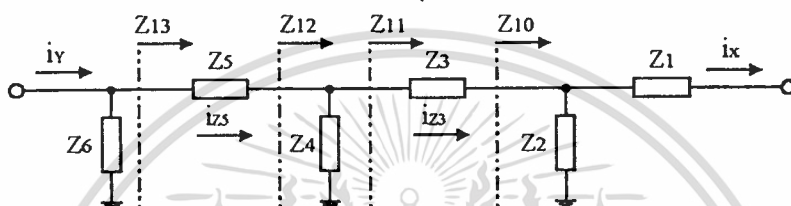
เอกสารนี้เป็นเอกสารที่สงวนไว้สำหรับการใช้งานเพื่อการศึกษาเท่านั้น ไม่อนุญาตให้นำไปใช้ประโยชน์ด้านการค้า
ไม่ว่ากรณีใดๆทั้งสิ้น อีกทั้งห้ามมิให้ตัดแปลงเนื้อหา และต้องอ้างอิงถึงเจ้าของเอกสารทุกครั้งที่มีการนำไปใช้

ภาคผนวก จ

บทวิเคราะห์เน็ทเวิร์คของวงจรกำเนิดสัญญาณรูปขายน้ด้วยวิธีเลื่อนเฟสในลักษณะของกระแส

จากภาพที่ 28 แสดงภาพพาสซีฟเน็ทเวิร์ค ซึ่งสามารถหาฟังก์ชันถ่ายโอนได้ดังนี้

ภาพที่ 28



แสดงวงจรพาสซีฟเน็ทเวิร์ค

จากหลักการของ current divider จะสามารถหาสมการได้เป็น

$$i_x = \frac{Z_2}{Z_1 + Z_2} i_{z3} \quad (จ.1)$$

$$Z_{10} = \frac{Z_1 Z_2}{Z_1 + Z_2} \quad (จ.2)$$

$$Z_{11} = Z_3 + Z_{10} = \frac{Z_1 Z_3 + Z_2 Z_3 + Z_1 Z_2}{Z_1 + Z_2} \quad (จ.3)$$

$$i_{z3} = \frac{Z_4}{Z_4 + Z_{11}} i_{z5} = \frac{Z_1 Z_4 + Z_2 Z_4}{Z_1 Z_4 + Z_2 Z_4 + Z_1 Z_3 + Z_2 Z_3 + Z_1 Z_2} i_{z5} \quad (จ.4)$$

เอกสารนี้เป็นเอกสารที่สงวนไว้สำหรับการใช้งานเพื่อการศึกษาเท่านั้น ไม่อนุญาตให้นำไปใช้ประโยชน์ด้านการค้า
ไม่ว่ากรณีใดๆทั้งสิ้น อีกทั้งห้ามมิให้ตัดแปลงเนื้อหา และต้องอ้างอิงถึงเจ้าของเอกสารทุกครั้งที่มีการนำไปใช้

$$Z_{12} = \frac{Z_4 Z_{11}}{Z_4 + Z_{11}}$$

$$\frac{Z_1 Z_3 Z_4 + Z_2 Z_3 Z_4 + Z_1 Z_2 Z_4}{Z_1 Z_4 + Z_2 Z_4 + Z_1 Z_3 + Z_2 Z_3 + Z_1 Z_2} \quad (จ.5)$$

$$Z_{13} = Z_5 + Z_{12}$$

$$\{Z_1 Z_4 Z_5 + Z_2 Z_4 Z_5 + Z_1 Z_3 Z_5 + Z_2 Z_3 Z_5 + Z_1 Z_2 Z_5 + Z_1 Z_3 Z_4$$

$$+ Z_2 Z_3 Z_4 + Z_1 Z_2 Z_4\}$$

$$\{Z_1 Z_4 + Z_2 Z_4 + Z_1 Z_3 + Z_2 Z_3 + Z_1 Z_2\} \quad (จ.6)$$

$$i_{z5} = \frac{Z_6}{Z_6 + Z_{13}} i_y$$

$$\{Z_1 Z_4 Z_6 + Z_2 Z_4 Z_6 + Z_1 Z_3 Z_6 + Z_2 Z_3 Z_6 + Z_1 Z_2 Z_6\} i_y /$$

$$\{Z_1 Z_4 Z_6 + Z_2 Z_4 Z_6 + Z_1 Z_3 Z_6 + Z_2 Z_3 Z_6 + Z_1 Z_2 Z_6 + Z_1 Z_4 Z_5$$

$$+ Z_2 Z_4 Z_5 + Z_1 Z_3 Z_5 + Z_2 Z_3 Z_5 + Z_1 Z_2 Z_5 + Z_1 Z_3 Z_4 + Z_2 Z_3 Z_4$$

$$+ Z_1 Z_2 Z_4\} \quad (จ.7)$$

$$i_x = \frac{Z_2}{(Z_1 + Z_2)} = \frac{Z_1 Z_4 + Z_2 Z_4}{(Z_1 Z_4 + Z_2 Z_4 + Z_1 Z_3 + Z_2 Z_3 + Z_1 Z_2)} i_{z5} \quad (จ.8)$$

$$\frac{i_x}{i_y} = \{Z_2(Z_1 Z_4 + Z_2 Z_4)(Z_1 Z_4 Z_6 + Z_2 Z_4 Z_6 + Z_1 Z_3 Z_6 + Z_2 Z_3 Z_6 + Z_1 Z_2 Z_6)\} /$$

$$\{(Z_1 + Z_2)(Z_1 Z_4 + Z_2 Z_4 + Z_1 Z_3 + Z_2 Z_3 + Z_1 Z_2)(Z_1 Z_4 Z_6 + Z_2 Z_4 Z_6$$

$$+ Z_1 Z_3 Z_6 + Z_2 Z_3 Z_6 + Z_1 Z_2 Z_6 + Z_1 Z_4 Z_5 + Z_2 Z_4 Z_5 + Z_1 Z_3 Z_5 + Z_2 Z_3 Z_5$$

$$+ Z_1 Z_2 Z_5 + Z_1 Z_3 Z_4 + Z_2 Z_3 Z_4 + Z_1 Z_2 Z_4)\} \quad (จ.9)$$

$$\frac{i_x}{i_y} = \{Z_2 Z_4 Z_6\} /$$

$$\{Z_1 Z_4 Z_6 + Z_2 Z_4 Z_6 + Z_1 Z_3 Z_6 + Z_2 Z_3 Z_6 + Z_1 Z_2 Z_6 + Z_1 Z_4 Z_5 + Z_2 Z_4 Z_5$$

$$+ Z_1 Z_3 Z_5 + Z_2 Z_3 Z_5 + Z_1 Z_2 Z_5 + Z_1 Z_3 Z_4 + Z_2 Z_3 Z_4 + Z_1 Z_2 Z_4\} \quad (จ.10)$$

เอกสารนี้เป็นเอกสารที่สงวนไว้สำหรับการใช้งานเพื่อการศึกษาเท่านั้น ไม่อนุญาตให้นำไปใช้ประโยชน์ด้านการค้า
ไม่ว่ากรณีใดๆทั้งสิ้น อีกทั้งห้ามมิให้ตัดแปลงเนื้อหา และต้องอ้างอิงถึงเจ้าของเอกสารทุกครั้งที่มีการนำไปใช้

$$\frac{i_y}{i_x} = 1 + \frac{Z_1}{Z_2} + \frac{Z_3}{Z_4} + \frac{Z_1}{Z_4} + \frac{Z_1}{Z_6} + \frac{Z_5}{Z_6} + \frac{Z_3}{Z_6} + \frac{Z_1 Z_3}{Z_2 Z_4} + \frac{Z_1 Z_5}{Z_4 Z_6} + \frac{Z_3 Z_5}{Z_4 Z_6} + \frac{Z_1 Z_5}{Z_4 Z_6} + \frac{Z_1 Z_3}{Z_2 Z_6} + \frac{Z_1 Z_3 Z_5}{Z_2 Z_4 Z_6} \quad (จ.11)$$

การพิจารณาเช่นชีวิตวีดีของความถี่เมื่อเทียบกับอัตราการเปลี่ยนแปลงของอุปกรณ์ในวงจรถ่ายสัญญาณ [B(s)] ได้ดังนี้

จากสมการที่ (5.13) ซึ่งเป็นสมการพื้นฐาน นำมาแทนค่าได้เป็น

$$S_{C_1}^{\omega_0} = \frac{C_1}{\omega_0} \cdot \frac{\partial \omega_0}{\partial C_1}; \quad \omega_0 = \frac{I}{\sqrt{X}}$$

โดยที่ $\frac{I}{\sqrt{X}}$ คือ

$$\frac{I}{\sqrt{C_3 C_5 R_4 R_6 + C_1 C_5 R_2 R_6 + C_3 C_5 R_2 R_6 + C_3 C_5 R_2 R_4 + C_1 C_3 R_2 R_4 + C_1 C_5 R_2 R_4}}$$

$$= \frac{C_1}{I} \left(-\frac{I}{2} \right) X^{-3/2} [C_5 R_2 R_6 + C_3 R_2 R_4 + C_5 R_2 R_4]$$

จัดรูปสมการใหม่ ได้เป็น

$$= -\frac{I}{2} \left[\frac{I}{1 + \frac{C_3 C_5 R_4 R_6 + C_3 C_5 R_2 R_6 + C_3 C_5 R_2 R_4}{C_1 C_5 R_2 R_6 + C_1 C_3 R_2 R_4 + C_1 C_5 R_2 R_4}} \right] \quad (จ.12)$$

เอกสารนี้เป็นเอกสารที่สงวนไว้สำหรับการใช้งานเพื่อการศึกษาเท่านั้น ไม่อนุญาตให้นำไปใช้ประโยชน์ด้านการค้า
ไม่ว่ากรณีใดๆทั้งสิ้น อีกทั้งห้ามมิให้ตัดแปลงเนื้อหา และต้องอ้างอิงถึงเจ้าของเอกสารทุกครั้งที่มีการนำไปใช้

$$S_{R_2}^{\omega_0} = \frac{R_2}{\omega_0} \cdot \frac{\partial \omega_0}{\partial R_2} ; \omega_0 = \frac{1}{\sqrt{X}}$$

$$\frac{R_2}{I} \left(-\frac{1}{2} \right) X^{-3/2} [C_1 C_5 R_6 + C_3 C_5 R_6 + C_3 C_5 R_4 + C_1 C_3 R_4 + C_1 C_5 R_4]$$

จัดรูปสมการใหม่ ได้เป็น

$$= -\frac{1}{2} \left[\frac{I}{I + \frac{C_3 C_5 R_4 R_6}{C_1 C_5 R_2 R_6 + C_3 C_5 R_2 R_6 + C_3 C_5 R_2 R_4 + C_1 C_3 R_2 R_4 + C_1 C_5 R_2 R_4}} \right] \quad (จ.13)$$

$$S_{C_3}^{\omega_0} = \frac{C_3}{\omega_0} \cdot \frac{\partial \omega_0}{\partial C_3} ; \omega_0 = \frac{1}{\sqrt{X}}$$

$$\frac{C_3}{I} \left(-\frac{1}{2} \right) X^{-3/2} [C_5 R_4 R_6 + C_5 R_2 R_6 + C_5 R_2 R_4 + C_1 R_2 R_4]$$

จัดรูปสมการใหม่ ได้เป็น

$$= -\frac{1}{2} \left[\frac{I}{I + \frac{C_1 C_5 R_2 R_6 + C_1 C_5 R_2 R_4}{C_3 C_5 R_4 R_6 + C_3 C_5 R_2 R_6 + C_3 C_5 R_2 R_4 + C_1 C_3 R_2 R_4}} \right] \quad (จ.14)$$

$$S_{R_4}^{\omega_0} = \frac{R_4}{\omega_0} \cdot \frac{\partial \omega_0}{\partial R_4} ; \omega_0 = \frac{1}{\sqrt{X}}$$

$$\frac{R_4}{I} \left(-\frac{1}{2} \right) X^{-3/2} [C_3 C_5 R_6 + C_3 C_5 R_2 + C_1 C_3 R_2 + C_1 C_5 R_2]$$

เอกสารนี้เป็นเอกสารที่สงวนไว้สำหรับการใช้งานเพื่อการศึกษาเท่านั้น ไม่อนุญาตให้นำไปใช้ประโยชน์ด้านการค้า
ไม่ว่ากรณีใดๆทั้งสิ้น อีกทั้งห้ามมิให้ดัดแปลงเนื้อหา และต้องอ้างอิงถึงเจ้าของเอกสารทุกครั้งที่มีการนำไปใช้

จัดรูปสมการใหม่ ได้เป็น

$$-\frac{1}{2} \left[\frac{I}{I + \frac{C_1 C_5 R_2 R_6 + C_3 C_5 R_2 R_6}{C_3 C_5 R_4 R_6 + C_3 C_5 R_2 R_4 + C_1 C_3 R_2 R_4 + C_1 C_5 R_2 R_4}} \right] \quad (จ.15)$$

$$S_{C_5}^{\omega_0} = \frac{C_5}{\omega_0} \cdot \frac{\partial \omega_0}{\partial C_5} ; \omega_0 = \frac{1}{\sqrt{X}}$$

$$\frac{C_5}{I} \left(-\frac{1}{2} \right) X^{-3/2} [C_3 R_4 R_6 + C_1 R_2 R_6 + C_3 R_2 R_6 + C_3 R_2 R_4 + C_1 R_2 R_4]$$

จัดรูปสมการใหม่ ได้เป็น

$$-\frac{1}{2} \left[\frac{I}{I + \frac{C_1 C_3 R_2 R_4}{C_3 C_5 R_4 R_6 + C_1 C_5 R_2 R_6 + C_3 C_5 R_2 R_6 + C_3 C_5 R_2 R_4 + C_1 C_5 R_2 R_4}} \right] \quad (จ.16)$$

$$S_{R_6}^{\omega_0} = \frac{R_6}{\omega_0} \cdot \frac{\partial \omega_0}{\partial R_6} ; \omega_0 = \frac{1}{\sqrt{X}}$$

$$\frac{R_6}{I} \left(-\frac{1}{2} \right) X^{-3/2} [C_3 C_5 R_4 + C_1 C_5 R_2 + C_3 C_5 R_2]$$

จัดรูปสมการใหม่ ได้เป็น

$$-\frac{1}{2} \left[\frac{I}{I + \frac{C_3 C_5 R_2 R_4 + C_1 C_3 R_2 R_4 + C_1 C_5 R_2 R_4}{C_3 C_5 R_4 R_6 + C_1 C_5 R_2 R_6 + C_3 C_5 R_2 R_6}} \right] \quad (จ.17)$$

เอกสารนี้เป็นเอกสารที่สงวนไว้สำหรับการใช้งานเพื่อการศึกษาเท่านั้น ไม่นิยนาตให้นำไปใช้ประโยชน์ด้านการค้า
ไม่ว่ากรณีใดๆทั้งสิ้น อีกทั้งห้ามมิให้ดัดแปลงเนื้อหา และต้องอ้างอิงถึงเจ้าของเอกสารทุกครั้งที่มีการนำไปใช้

ภาคผนวก ฉ

ผลงานวิจัยที่ได้รับการตีพิมพ์ในวารสารวิชาการ

K. Dejhan, F. Cheevasuvit and S. Limpaiboon. "A Current mode all-pass variable phase shifter." *Proc. of Int. Conf. ISIC-95*, 6-8 september 1995 : 480-483.

ศิริวัฒน์ ลิ้มไพบูลย์, กอบชัย เดชหาญ และคนอื่นๆ. "วงจรรอสซิมิลเตอร์แบบใหม่." การประชุมวิชาการทางวิศวกรรม ครั้งที่ 18, 22-24 พฤศจิกายน 2538 : 661-666.



ประวัติผู้เขียน

นายศิริวัฒน์ ลิ้มไพบูลย์ เกิดเมื่อวันที่ 5 พฤษภาคม พ.ศ. 2511 ที่จังหวัดราชบุรี สำเร็จการศึกษาปริญญาอุตสาหกรรมศาสตรบัณฑิต สาขาเทคโนโลยีการวัดคุมทางอุตสาหกรรม จากสถาบันเทคโนโลยีพระจอมเกล้าเจ้าคุณทหารลาดกระบัง ปีการศึกษา 2534 และเข้าศึกษาต่อที่บัณฑิตวิทยาลัย คณะวิศวกรรมศาสตร์ สถาบันเทคโนโลยีพระจอมเกล้าเจ้าคุณทหารลาดกระบัง ปีการศึกษา 2534 มีผลงานทางวิชาการที่ได้รับการยอมรับและตีพิมพ์ในวารสารวิชาการในประเทศ 1 เรื่อง ตีพิมพ์ในวารสารวิชาการต่างประเทศ 1 เรื่อง ปัจจุบันทำงานที่บริษัท อุตสาหกรรมปิโตรเคมีกัลไทย จำกัด (มหาชน) ตำแหน่งวิศวกร ฝ่ายวิศวกรรม

